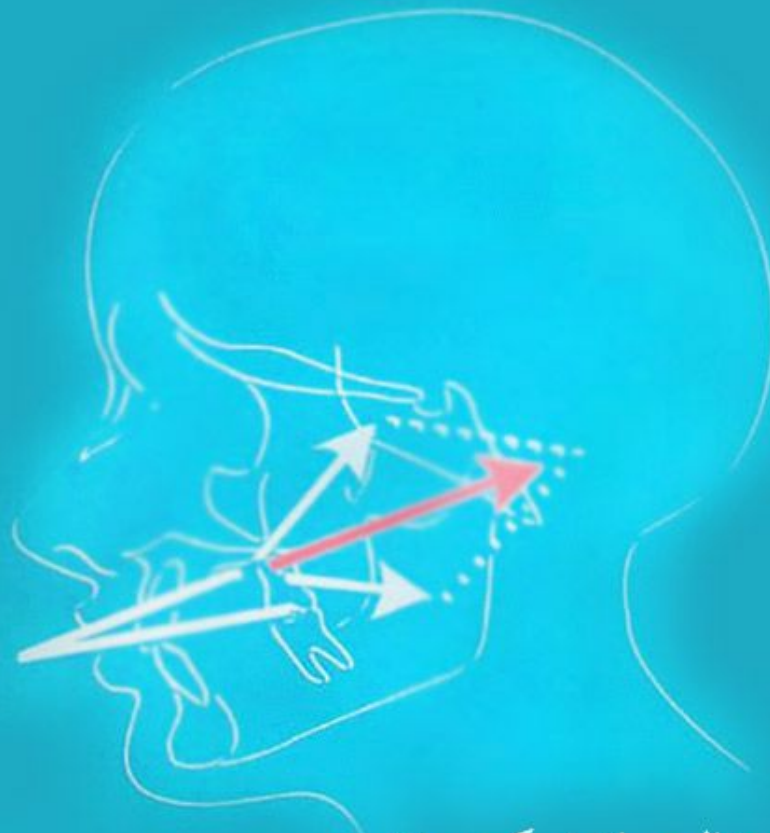


# اصول بایومکانیک ناندادر دستگاه های ارتو دنسی



Dr. A. Jamilian  
Orthodontist  
دکتر جمیلیان  
کلینیک تخصصی ارتو دنسی



فصل ۱۲

ملاحظات بیومکانیکی  
در تکنیک های لغزشی

انتشارات سو گند

دکتر عبدالرحمان شوکت بخش  
دکتر عبدالرضا جمیلیان

## فصل ۱۲

### ملاحظات بیومکانیکی در تکنیکهای لغزشی

#### تعريف

حرکت دندانها در مرحله بستن فضا به دو روش مکانیکی قابل انجام است. روش اول نکنیک قسمتی sectional segmental closing loop است که در وایر کامل یا در قسمتی از وایر ساخته شود. دندانها بر اساس فعل شدن loop با نسبت M/F کنترل شده همراه load - deflection کم، حرکت می‌نمایند. نوع دوم عبارت است از تکنیک لغزشی که حرکت براکت بر روی وایر (شکل ۱۲-۱ A) یا لغزیدن وایر در داخل براکت و تیوب می‌باشد (شکل ۱۲-۱ B). یکی از عمدترین اختلافهای موجود در بین این دو تکنیک وجود اصطکاک می‌باشد. چون تکنیک frictionless بدون اصطکاک است لذا به عنوان تکنیک بدون اصطکاک (friction-free) یا عاری از اصطکاک (- less) نامیده می‌شود. باید در نظر داشت که اصطکاک رل مهمی در بستن فضا با تکنیک لغزشی بازی می‌کند. لذا این تکنیک به نام تکنیک اصطکاکی قلمداد می‌شود (شکل ۱۲-۲)



شکل ۱۲-۱: در این شکل دو نوع تکنیک لغزشی مشاهده می‌شود. در تصویر A حرکت براکتها در امتداد وایر در تصویر B حرکت وایر از میان براکتها ملاحظه می‌گردد.

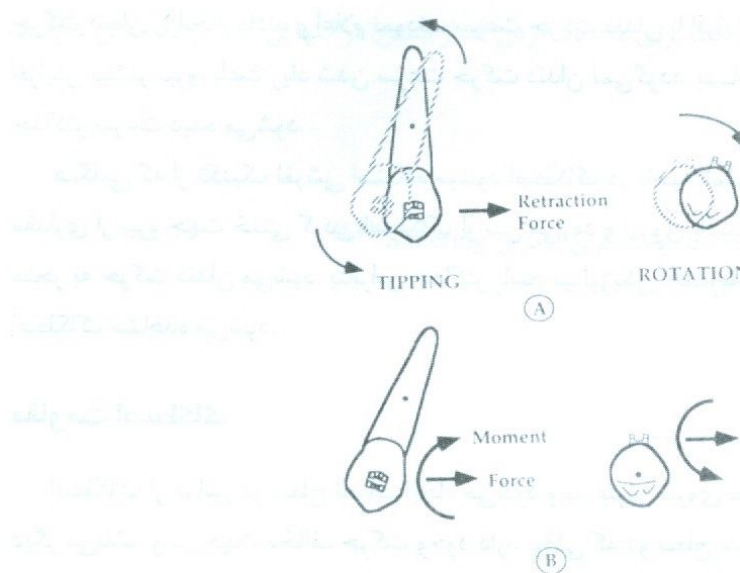


شکل ۱۲-۲: میزان بیرون زدگی وایر از دیستال تیوب مولر شاخصی برای حرکت دندانها، بعلت استفاده بیمار از کش می باشد.

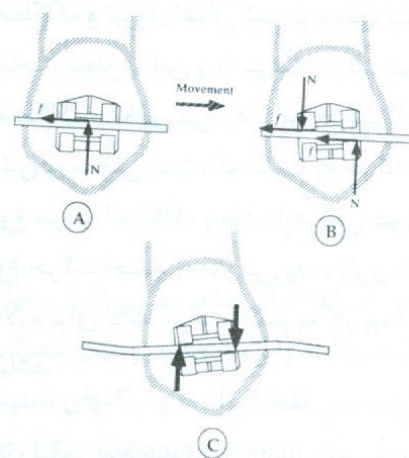
### نیروها و گشتاورها در بستن فضای روش لغزشی

آشنایی با دو فاکتور زیر، در هر نوع حرکت دندانی از اهمیت به سزایی برخوردار است. یکی نوع سیستم نیرو که بتواند مرکز چرخش مورد نیاز را، ایجاد کند و دیگری مقدار نیروی مناسب برای حرکت دندان مورد نظر می باشد. مطالعات روی موقعیت مرکز مقاومت نشان داد<sup>(۱۵,۷)</sup> که محل مرکز مقاومت دندان بر اساس میزان مقاومت بافت‌های نگه دارنده مثل استخوان آلومینیوم<sup>(۷)</sup>، لیگامان پریومنتال و بافت لته<sup>(۸)</sup> تعیین می گردد. همچنین فرم، طول و تعداد ریشه‌ها در تعیین مرکز مقاومت نقش دارند<sup>(۹)</sup>. pryputniewicz و Burstone<sup>(۹)</sup> در رابطه با مرکز مقاومت با استفاده از laser holography گزارش دادند که مرکز مقاومت در دندانهای ثنايا در  $\frac{1}{3}$  طول ریشه، از کرست آلومینیوم تا آپکس قرار دارد. pedersen<sup>(۱۴)</sup> و همکارانش با ایجاد یک مدل آزمایش، نشان دادند که مرکز مقاومت نسبت به طوق دندانهای مولر اول و پره مولر اول فک پایین به ترتیب حدود ۶/۴ میلیمتر (۳۸/۶٪) و ۳/۶ میلیمتر (۲۸/۶٪) اپیکالی تر قرار دارد. yamaguchi و همکارانش با انجام مطالعه‌ای در شرایط آزمایشگاهی برای تعیین مرکز مقاومت نشان دادند که مرکز مقاومت در حدود ۳۵٪ و ۳۲٪ طول ریشه از ناحیه طوق تا انتهای ریشه به ترتیب برای دندانهای کانین بالا و مولر اول پایین می باشد. محل اثر نیرو، قطر سیم روی موقعیت مرکز چرخش دندان اثر قابل توجهی دارد.

همانطور که در فصل اول عنوان شد اگر نیرویی از مرکز مقاومت دندان عبور کند، باعث حرکت انتقالی می گردد. در تمام موارد به علت وجود محدودیتهای آناتومیکی در حفره دهان، بعيد به نظر می رسد که بتوان به طور عملی نیرو را از مرکز مقاومت عبور داد. برای مقابله با این مشکل باید یک سیستم نیرو روی تاج دندان در محل براکت اعمال گردد تا گشتاوری ایجاد شود. این گشتاور با گشتاور نیروی اعمال شده از نظر مقدار مساوی ولی در خلاف جهت می باشد (شکل ۱۲-۳). در تکنیک لغزشی متخصص ارتودنسی احتیاج به اعمال چنین گشتاوری ندارد. تاج دندان کانین بر اثر اعمال نیرو تا زمانی که لبه‌های شیار براکت به طور مورب با سیم خم شده تماس یابد و در سیم خمیدگی ایجاد شود به طرف دیستال حرکت چرخشی انتقالی می یابد. سپس خمیدگی و ایریک زوج نیرو تولید می کند که باعث حرکت ریشه‌ها و up-righting شدن آنها می شود (شکل ۱۲-۴). مقدار گشتاورهای ایجاد شده بستگی به عرض براکت، خصوصیات آلیاژ، قطر و شکل سیم دارد. حرکت چرخشی انتقالی تاج دندان در ادامه up-righting ریشه‌ها، تا بسته شدن تمام فضا ادامه می یابد.



شکل ۱۲-۳ : در تصویر A، حرکت چرخشی انتقالی و گشتاور چرخشی در اثر نیروی خلفی در برآکت کائین مشاهده میگردد. تصویر B. نیروی مخالف tip شدن و گشتاور ضد چرخش برای حرکت انتقالی مشاهده می‌گردد.



شکل ۱۲-۴ : حرکت کائین در خلال عقب بردن آن با تکنیک لغزشی در این شکل مشاهده می‌گردد. تصویر A، مولفه‌های طبیعی نیرو (N) و مقاومت اصطکاک (f) نسبت به حرکت را نشان میدهد. در تصویر B حرکت چرخشی انتقالی دندان به همراه برآکت تا آنجا ادامه می‌باید که سیم با گوشه‌های مخالف برآکت تماس پیدا کند، در تصویر C خم ایجاد شده در سیم باعث ایجاد زوج نیرو به منظور upright کردن ریشه می‌گردد.

### نقش اصطکاک در تکنیک لغزشی

تئوریهای متعددی در مورد رابطه بین نیروهای ارتودنسی و حرکت دندان مطرح شده است (۱۸، ۱۹). Schwartz اظهار نمود که مقدار نیروهای ارتودنسی نباید از مقدار فشار مویرگی در فضای پریودنتال تجاوز نماید هر چند که Smith و Storey (۱۹) تئوری نیروی مناسب را، به عنوان حداقل نیرویی که بتواند در محدوده پاسخ‌های بیولوژیکی حداکثر حرکت دندانی را ایجاد نماید، مطرح نمودند. تشخیص مقدار نیروی مناسب برای حرکت یک دندان معین خیلی مشکل است. Yoshikawa و Quinn (۲۰) یک بررسی جامع از تئوریهای موجود، در رابطه با نیروهای ارتودنسی و

حرکت دندان را انجام دادند و اعلام نمودند، سرعت حرکت دندان با افزایش نیرو تا یک حد مشخص زیاد می‌شود و افزایش بیشتر نیرو، باعث زیاد شدن سرعت حرکت دندان نمی‌گردد. بنابراین محدوده نیروی وجود دارد که در آن حداقل سرعت دیده می‌شود.

هنگامی که از تکنیک لغشی استفاده می‌شود اصطکاک در ناحیه تماس سیم با برآکت ایجاد می‌گردد، بنابراین مقداری از نیرو جهت خنثی کردن اصطکاک از بین می‌رود و نیروی باقیمانده به باقتهای اطراف دندان منتقل شده و منجر به حرکت دندان می‌شود. بنابراین حداقل پاسخ بیولوژیکی بافت، با به کار بردن نیروی کافی برای خنثی کردن اصطکاک مشاهده می‌شود.

### مقاآمت اصطکاک

اصطکاک از تماس دو سطح ناصاف ایجاد می‌شود و به عنوان نیروی مقاوم در حین حرکت یک سطح در روی سطح دیگر می‌باشد و در جهت مخالف حرکت وجود دارد. وقتی که دو سطح مماس روی هم حرکت نمایند دو مولفه نیرو ایجاد می‌شود، یکی از این مولفه‌ها نیروی اصطکاک است که موازی با مسیر حرکت لغشی است و مخالف جهت حرکت می‌باشد (شکل ۴-۱۲). مولفه دیگر به عنوان نیروی عادی می‌باشد که بر روی یک یا دو سطح تماس عمود است. در طی حرکت دندان کائین به طرف عقب رابطه بین سیم و برآکت در مراحل مختلف درمان تغییر می‌کند (شکل ۱۲-۴)، پس مقدار و جهت مولفه‌های اصطکاک و نیروی اعمال شده بر سطح، نسبت به زمان تغییر می‌کند. در شروع حرکت دندان، نیروی اصطکاک به مساحت سطح تماس و یا سرعت حرکت بستگی ندارد.

نیروی اصطکاک بوسیله ضریب اصطکاک مشخص می‌گردد. این ضریب ثابت است و به خصوصیات سطحی مواد بستگی دارد. ضریب اصطکاک مقدار نیروی مقاومی است، که نسبت به حرکت در اثر نیروی عمودی اعمال شده بر روی دو سطح تماس، ایجاد می‌گردد، دو نوع ضریب اصطکاک وجود دارد، یکی ضریب اصطکاک در حال سکون می‌باشد. این ضریب در مورد نیروی لازم برای شروع حرکت اجسام به کار می‌رود. دیگری ضریب اصطکاک در حالت حرکت می‌باشد. این ضریب اصطکاک در مورد نیروی لازم برای ادامه حرکت جسم به کار برده می‌شود. نیروی لازم برای شروع حرکت، بیش از نیروی لازم برای ادامه آن می‌باشد.

### عوامل موثر بر روی اصطکاک در حرکت دندان

عوامل متعددی وجود دارد که به طور مستقیم یا غیر مستقیم بر روی اصطکاک بین واير و برآکت اثر گذارد که شامل موارد زیر است

#### الف- عوامل فیزیکی

۱- واير ارتودونتی

(۳۰-۲۳) a نوع آلیاز

(۲۲-۲۷، ۳۱، ۳۲) b شکل و قطر واير

(۳۳-۳۵) c قوام سطح واير

d سختی واير

۲- نحوه بستن واير به برآکت

(۳۴، ۳۱، ۳۶-۳۸) a بستن با سیم

(۲۴، ۳۱، ۳۶-۳۸) b بستن با الاستیک

c) روش بستن که شامل نحوه گره، طرح برآکت برای محدود کردن فشار بستن، برآکتهایی که نیاز به بستن ندارند، می‌باشد. (۴۱-۳۹)

### -۳- برآکت

(a) آلیاز برآکت (۲۸-۲۳)

(b) روش تولید به صورت ریخته‌گری Casting یا ریخته‌گری پودری Sintering (۴۲)

(c) عرض و عمق برآکت (۲۳، ۲۶، ۲۷، ۲۴، ۲۳)

(d) طرح برآکت به صورت منفرد یا مزدوج

(e) خم وایر از نوع اول (in-out)

(f) خم وایر از نوع دوم (angulation) (۴۳، ۳۲، ۳۱، ۲۷، ۲۴)

(g) خم وایر از نوع سوم (Torque)

### -۴- دستگاه ارتودنسی

(a) فاصله بین برآکتها (۲۴)

(b) سطح شیار برآکت نسبت به شیار برآکتهای مجاور (۴۱)

(c) میزان نیروی لازم برای عقب بردن دندانها (۴۴، ۴۳)

ب- عوامل بیولوژیکی

۱- بzac (۴۵، ۳۱، ۲۹، ۲۸)

### -۲- پلاک

۳- پلیکل اکتسابی

۴- خوردگی (۳۲)

با توجه به عوامل زیادی که میتواند روی اصطکاک اثر نماید. تعیین دقیق مقدار آن در درمانهای ارتودنسی بسیار مشکل است. این عوامل به علت انواع متفاوت برآکت، وایر و انتخاب روش‌های مختلف بستن در طی درمان ارتودنسی بوجود می‌آید. در حال حاضر متخصصین ارتودنسی فقط از وایرها و برآکتهای استینلس استیل استفاده نمی‌کنند، امروزه از وایرها با آلیازهای مختلف مثل کبالت کرومیوم (Cobalt-Chromium) نیکل تایتانیوم (Nickel-Titanium) یا بتا تایتانیوم (B-Titanium) در طی مراحل مختلف با برآکتهای ۰/۰۱۸ و ۰/۰۲۲ استفاده می‌گردد. تمام عوامل بالا با هم در یک مطالعه، مورد توجه قرار نگرفته‌اند. در جدول ۱۲-۱ عوامل که باید در مطالعات روی اصطکاک مورد توجه قرار گیرند، گردآوری شده است. چهار روش برای آزمایش در این مطالعات در مدنظر قرار می‌گیرد.

۱- شبیه سازی حرکت‌های دندانی: در مقالات ارتودنسی، شرایط مختلف بین برآکت و وایر ارتودنسی، به منظور اندازه گیری مقاومت اصطکاک در حین لغزش مشابه‌سازی شده است.

۲- زبری سطوح: مقدار زبری سطوح برآکت و وایر در بعضی از مقالات مشخص شده است. شایع‌ترین روش تخمین زبری توسط روش انعکاس آینه‌ای انجام می‌گیرد. در این روش میزان نوری که از سطح زبر منعکس می‌گردد، محاسبه می‌شود. یک سطح صاف نور بیشتری را، به طور منظم منعکس می‌نماید، در حالیکه یک سطح زبر نور بیشتری را، به صورت متفرق منعکس می‌نماید.

۳- تماس سطوح: ضریب اصطکاک با استفاده از وایر ارتودنسی که بین دو صفحه موازی (تماس سطوح) و از همان موادی که در برآکتهای ارتودنسی مانند استینلس استیل، Polycrystalline alumina یا تفلون به کار می‌رود، ارزیابی

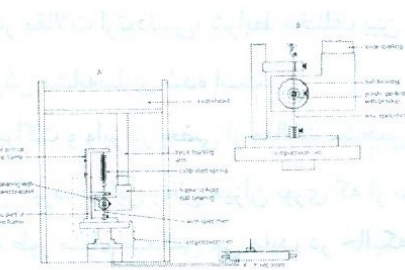
می‌گردد. مقادیر متفاوتی از نیرو بر روی صفحات اعمال می‌گردد و وایر از میان دو صفحه کشیده می‌شود تا میزان نیروی اصطکاک محاسبه شود.

۴- تحقیقات توصیفی: این مطالعات شامل ارزیابی مقاومت اصطکاک بین براکت و وایر بر اساس نتایج درمانهای کلینیکی می‌باشد.

### اثر مواد و طراحی براکت بر روی اصطکاک حرکتی

متخصصین ارتوودنسی در حال حاضر، در رابطه با براکت، دارای قدرت انتخاب می‌باشند. در تکنیک edgewise، اندازه شیار، عرض براکت، تعداد wing‌ها، انواع براکتهای درجه دار، نحوه بستن وایر و آلیاز براکت را باید در مدنظر قرار داد. استینلس استیل به عنوان مناسب‌ترین آلیاز براکت مورد توجه قرار می‌گیرد. ریختگی استینلس استیل به طور متداول (Casting) قابل رقابت با روش ریخته‌گری پودری (Sintering) می‌باشد. تکنولوژی Sintering فرآیند، یک پارچگی اجزاء در اثر فشار و حرارت می‌باشد و براکت به سهولت حالت قالب را می‌گیرد، اجزاء استینلس استیل در زیر فشار فرم صاف و گردی را، به خود می‌گیرند. ولی روش ریخته‌گری (Casting) به تراش و بریدن نیاز دارد که باعث ایجاد زوایای تیز و سطوح زبر می‌گردد. آلیازهای جدیدتر مثل تایتانیوم در رابطه با کمترین اصطکاک و بالاترین استحکام مورد ارزیابی قرار گرفتند. درموردی که بیمار و متخصص ارتوودنسی به زیبایی توجه دارند، براکتهای چینی (سرامیک تک کریستاله monocristalline و یا چند کریستاله polycrystalline) به کار برده می‌شوند. هم چنین براکتهای پلاستیکی با یا بدون شیار تقویت شده با چینی یا فلز مورد استفاده قرار می‌گیرند. برای درک آلیاز براکت روی اصطکاک در تکنیک لغزشی، تحقیقاتی در بخش ارتوودنسی دانشگاه Oklahoma انجام شده است. (۴۲، ۴۱، ۳۸، ۲۶، ۲۳)

براکتهای استینلس استیل با ریخته‌گری متداول (Casting) یا توسط روش ریخته‌گری پودری (Sintering)، براکتهای چینی و پلاستیکی، از نظر اصطکاک با مجموعه متعدد از وايرهای استینلس استیل (SS) کروم کبالت (CoCr)، نیکل تایتانیوم (NiTi)، بتاتایتانیوم (BTi)، با قطرهای مختلف مورد بررسی قرار گرفتند. براکتهای با عرض کم از نوع منفرد (۰/۰۵۰ اینچ)، براکتهای با عرض متوسط از نوع مزدوج (۰/۱۳۰ اینچ) و براکتهای با عرض زیاد از نوع مزدوج (۰/۰۱۸۰ اینچ) در سیستم edgewise بدون درجه خم از نوع سوم و از نوع دوم با هر دو اندازه شیار براکت ۰/۰۱۸ و ۰/۰۲۲ به کار برده شدند. وايرها در معرض استرس مساوی قرار گرفتند و حرکت براکتها در روی واير توسط دستگاه Instron مورد مطالعه قرار داده شد (شکل ۱۲-۵). مقادیر متوسط نیروهای اصطکاک در مورد براکتهایی که توسط روش ریخته‌گری به طریقه متداول، ریخته‌گری پودری و در مورد براکتهای چینی، در جدول ۱۲-۲ در رابطه با شیار براکت ۰/۰۱۸ و در جدول ۱۲-۳ در رابطه با شیار ۰/۰۲۲ گزارش گردیده است.



شکل ۱۲-۵: در تصویر A دستگاه آزمایش، مجموعه وایر براکت و دستگاه اندازه‌گیری نیرو مشاهده می‌شود. در شکل B جزئیات بیشتر ناحیه‌ای که با خطوط نقطه‌چین در تصویر A نمایش داده شده است، مشاهده می‌گردد.

**Table 12-1.** The Variables That Have Been Considered in Major Studies on Friction in Orthodontic Sliding Systems

Author/year	Ligation	Saliva	Slot Size	Bracket Width	Wire Material	Bracket Material	Wire Size/ Shape	Surface Rough	Applied Load	Angulation	Interbrack. Width	Sliding Velocity
Buck et al. 1963 <sup>43</sup>			x	x			x			x		
Andreasen and Quevedo 1970 <sup>31</sup>		x		x			x			x		
Echols 1975 <sup>46</sup>	x						x			x		
Creekmore 1976 <sup>47</sup>							x			x		
Greenberg and Kusy 1979 <sup>48</sup>							x			x		
Feehley et al. 1979 <sup>49</sup>					x		x			x		
Riley et al. 1979 <sup>32</sup>	x					x	x			x		
Frank and Nikolai 1980 <sup>24</sup>	x			x	x		x			x		
Peterson et al. 1982 <sup>27</sup>				x	x		x			x		
Stannard et al. 1986 <sup>29</sup>	x	x		x			x			x		
Garner et al. 1986 <sup>25</sup>				x			x			x		
Baker et al. 1987 <sup>45</sup>	x					x				x		
Kusy and Whitley 1988 <sup>50</sup>						x	x			x		
Kusy et al. 1988 <sup>34</sup>					x	x	x			x		
Drescher et al. 1989 <sup>33</sup>					x	x	x			x		
Kusy and Whitley 1989 <sup>51</sup>					x	x	x			x		
Tidy 1989 <sup>30</sup>				x	x	x	x			x		
Angolkar et al. 1990 <sup>23</sup>				x	x	x	x			x		
Berger 1990 <sup>39</sup>	x					x	x			x		
Kapila et al. 1990 <sup>26</sup>				x	x	x	x			x		
Kusy and Whitley 1990 <sup>52</sup>				x	x	x	x			x		
Kusy and Whitley 1990 <sup>35</sup>				x	x	x	x			x		
Pratten et al. 1990 <sup>28</sup>				x	x	x	x			x		
Bednar et al. 1991 <sup>53</sup>	x				x	x	x			x		
Ireland et al. 1991 <sup>54</sup>	x	x	x	x	x	x	x			x		
Kusy 1991 <sup>55</sup>					x	x	x			x		
Kusy et al. 1991 <sup>56</sup>		x	x		x	x	x			x		
Prososki et al. 1991 <sup>57</sup>				x	x	x	x			x		
Tanne et al. 1991 <sup>58</sup>					x	x	x			x		
Ogata 1991 <sup>41</sup>	x		x	x	x	x	x			x		
Saunders and Kusy 1994 <sup>61</sup>	x	x	x	x	x	x	x			x		
Shivapuja and Berger 1994 <sup>40</sup>	x	x	x	x	x	x	x			x		
Tanne et al. 1994 <sup>62</sup>					x	x	x			x		
Tselepis et al. 1994 <sup>63</sup>					x	x	x			x		
Vaughan et al. 1995 <sup>42</sup>			x	x	x	x	x			x		

جدول ۱۲-۱: متغیرهایی که بر روی اصطکاک در تکنیک لغزشی اثر میگذارند دیده می‌شوند.

## براکتهای استینلس استیل

قبل از شروع حرکت، افزایش سریع نیرو برای مقابله با اصطکاک سکون، در دستگاه Instron دیده می‌شود. به محض اینکه حرکت شروع گردد، جابجایی براکت روی وایر نیاز به نیروی کمتری دارد. در هر دوره حرکت، مقدار نیروی مورد نیاز برای مقابله با اصطکاک ثابت گردید. این تفاوتها در نیرو، بر اثر وجود خم از نوع دوم بسته به نوع آزمایش است که میزان آن، کم می‌باشد، در شرایط داخل دهان فاکتورهایی مثل اکلوژن، جویدن، انعطاف پذیری وایر و حرکت دندان می‌تواند رابطه خم از نوع دوم را، در حالیکه براکت در روی وایر حرکت می‌کند، تغییر دهد. (۲۴)

حد متوسط نیروی اصطکاک در رابطه با ریخته‌گری به روش متداول برای براکتهای استینلس استیل بین ۴۰ تا ۳۳۶ گرم می‌باشد. میزان نیروی اصطکاک در شیار ۱۸/۰ با براکتهای ریخته شده به روش متداول از ۴۹ گرم با وایر ۰/۰۱۶ استینلس استیل در براکت کم عرض از نوع منفرد، تا ۳۳۶ گرم با وایر ۰/۰۲۵ × ۰/۰۱۷ بنا تایتانیوم در براکت با عرض زیاد از نوع مزدوج متغیر می‌باشد. برای براکتهای ۰/۰۲۲ استینلس استیل، نیروی اصطکاک از ۴۰ گرم با وایر ۰/۰۱۸ استینلس استیل در براکتهای کم عرض تا ۲۲۲ گرم با وایر ۰/۰۲۵ × ۰/۰۱۹ از نوع نیکل تایتانیوم در براکتهای با عرض زیاد متغیر است. در تعداد زیادی از مجموعه‌های وایر براکت، از نوع استینلس استیل نیروی اصطکاک، کمتر از ۱۱۰ گرم ایجاد می‌شود. در براکتهای با عرض متوسط از نوع مزدوج با وایرهای ۰/۰۱۶ استینلس استیل و کروم کبالت، و وایر ۰/۰۱۶ × ۰/۰۱۶ کروم کبالت و نیکل تایتانیوم در براکت ۰/۰۱۸ و با وایر ۰/۰۱۶ و با وایر ۰/۰۱۶ × ۰/۰۱۶ استینلس استیل، و ۰/۰۱۶ × ۰/۰۱۶ نیکل تایتانیوم، و ۰/۰۱۷ × ۰/۰۱۷ استینلس استیل، در براکتهای ۰/۰۲۲ مقدار اصطکاک کم است. براکتهای ۰/۰۱۸ با عرض زیاد با وایر استینلس استیل ۰/۰۱۶ و با کروم کبالت ۰/۰۱۶ × ۰/۰۱۶، ۰/۰۲۲ × ۰/۰۱۶، ۰/۰۱۸ و وایر استینلس استیل ۰/۰۱۶، ۰/۰۱۷ × ۰/۰۱۷ اصطکاک کمی ایجاد می‌نماید. تغییر در طراحی براکت می‌تواند باعث کاهش اصطکاک گردد. وجود برآمدگی در دیوارهای کف شیار براکت بعلت کاهش سطح تماس باعث کم شدن اصطکاک بین وایر و براکت می‌گردد. براکتهای Tip-edge طراحی شده‌اند که شیار عمودی براکت ۲۰ درجه با محور طولی دندانها زاویه دارد، این براکتها برای مخصوصی ارتودونسی که با تکنیک Begg کار می‌کنند طراحی شده‌اند. در این تکنیک در مرحله اول، حرکت دندانها بصورت چرخشی انتقالی است سپس توسط فنرهای کمکی (auxiliary spring) به صورت عمودی در می‌آیند. با این نوع براکت، دندان در حین عقب رفتن، حرکت چرخشی انتقالی می‌نماید و خم ایجاد شده وایر، در لبه‌های شیار براکت بسیار کم است، بنابراین مقاومت اصطکاک به میزان زیادی کاهش می‌یابد. اصطکاک ایجاد شده توسط این براکتها با اصطکاک ایجاد شده در سیستم براکتهای قابل مقایسه edgewise نیستند.

## براکتهای استینلس استیل که به روش ریخته‌گری پودری (Sintering) تهیه می‌شوند

نیروی اصطکاک حرکتی برای دو نوع براکت استینلس استیل که به صورت تجاری با روش ریخته‌گری پودری تهیه گردیدند در جدول ۱۲-۲ و ۱۲-۳ مشاهده می‌گردد. (۴۲)

در براکتهای با شیار ۱۸/۰ نیروی اصطکاک بین ۴۵/۸ گرم با وایر ۰/۰۱۶ کروم کبالت تا ۱۵۶/۶ گرم با وایر ۰/۰۱۶ × ۰/۰۱۶ نیکل تایتانیوم متغیر است. گرچه در براکتهای با شیار ۰/۰۲۲ مقدار نیروی اصطکاک بین ۳۰/۱ گرم با وایر استینلس استیل ۰/۰۱۸ و ۱۶۸/۳ گرم با وایر بنا تایتانیوم ۰/۰۲۵ × ۰/۰۱۷ وجود دارد.

با قطرهای مختلف وایر، مقدار اصطکاک در براکتهای استینلس استیل به روش ریخته‌گری پودری نسبت به براکت استینلس استیل به روش ریخته‌گری Casting بسیار کمتر است. اصطکاک در براکتهای استینلس استیل با روش ریخته‌گری پودری با شیار ۱۸/۰ از نوع Mini-Taurus به مقدار ۳۸٪ کمتر از اصطکاک در براکتهای با روش

ریخته‌گری Casting می‌باشد. در حالیکه اصطکاک در برآکتهای استینلس استیل به روش ریخته‌گری پودری از نوع Mini-twin به مقدار ۴۱٪ کمتر از اصطکاک در برآکتهای با روش ریخته‌گری متداول Casting می‌باشد. مقدار اصطکاک در برآکتهای با شیار ۰۰۲۲٪ که از استینلس استیل با روش ریخته‌گری پودری ساخته شده‌اند، تقریباً ۴۴٪ کمتر از اصطکاک در برآکتهای ریخته‌گری متداول Casting می‌باشد. این تفاوت در نیروی اصطکاک بین دو ماده برآکت، ممکن است به علت صاف بودن قوام سطوح برآکتهایی که به روش ریخته‌گری پودری تهیه شده‌اند، نسبت داده شود. تفاوت قابل توجه، در نیروی اصطکاک بین دو کارخانه سازنده برآکت ریخته‌گری پودری بجز در موردی که وایر ۰۰۱۷٪ × ۰۰۱۷٪ اینج در شیار برآکت ۰۰۱۸٪ قرار می‌گیرد، وجود ندارد.

**Table 12-2 . Comparison of Mean Frictional Forces Produced by Conventional Stainless Steel (Ormco Corp.), Sintered Stainless Steel (Mini-Taurus, Rocky Mountain Orthodontics; Miniature Twin, Unitek Corp.), and Ceramic Brackets (Gem, Ormco Corp.) for the 0.018 Inch Bracket Slot**

Wire Size (inch)	Wire Alloy	Frictional Force					Angolkar et al. Ceramic Mean g (SD)
		Kapila et al.		Vaughan et al.		Sintered Mini-Taurus	
		Stainless Steel Mean g (SD)	Sintered Mini-Taurus Mean g (SD)	Sintered Miniature Twin Mean g (SD)	Ceramic Mean g (SD)	Ceramic Mean g (SD)	
0.016	SS	88.8 (33.8)	81.4 (25.0)	60.3 (25.9)	123.0 (32.7)		
	Co-Cr	66.4 (27.4)	54.8 (24.0)	45.8 (25.7)	88.4 (12.0)		
	B-Ti	176.9 (34.0)	87.5 (24.6)	110.6 (42.8)	217.9 (21.2)		
	Ni-Ti	159.0 (19.4)	82.5 (21.5)	74.3 (38.8)	221.9 (29.8)		
	Co-Cr	99.1 (14.5)	63.1 (23.7)	79.0 (26.8)	163.1 (22.7)		
	Ni-Ti	109.2 (23.7)	90.5 (28.0)	156.6 (51.6)	237.7 (29.4)		
0.016 × 0.016	SS	163.0 (35.7)	76.7 (26.0)	74.2 (25.7)	150.0 (20.4)		
	Co-Cr	141.4 (27.6)	102.4 (42.2)	83.0 (27.4)	159.3 (21.3)		
	B-Ti	234.9 (68.0)	138.1 (36.1)	116.6 (52.6)	240.9 (35.9)		
	Ni-Ti	192.1 (42.3)	84.7 (29.2)	82.3 (46.5)	228.8 (23.8)		
	SS	163.4 (34.1)	104.8 (20.8)	50.9 (26.4)	148.0 (20.2)		
	B-Ti	179.3 (38.3)	141.2 (56.0)	117.1 (29.0)	217.9 (38.4)		
0.017 × 0.017	SS	175.4 (38.3)	110.4 (29.4)	82.1 (35.0)	250.3 (50.6)		
	Co-Cr	165.1 (24.8)	123.8 (33.1)	93.0 (40.0)	267.0 (17.5)		
	B-Ti	274.5 (49.7)	133.5 (41.6)	144.9 (41.0)	405.1 (101.1)		
	Ni-Ti	225.2 (41.3)	55.9 (15.1)	57.9 (27.7)	182.1 (19.2)		
	SS	163.4 (34.1)	104.8 (20.8)	50.9 (26.4)	148.0 (20.2)		
	B-Ti	179.3 (38.3)	141.2 (56.0)	117.1 (29.0)	217.9 (38.4)		
0.017 × 0.025	SS	175.4 (38.3)	110.4 (29.4)	82.1 (35.0)	250.3 (50.6)		
	Co-Cr	165.1 (24.8)	123.8 (33.1)	93.0 (40.0)	267.0 (17.5)		
	B-Ti	274.5 (49.7)	133.5 (41.6)	144.9 (41.0)	405.1 (101.1)		
	Ni-Ti	225.2 (41.3)	55.9 (15.1)	57.9 (27.7)	182.1 (19.2)		

جدول ۱۲-۲ : مقایسه مقادیر متوسط نیروهای اصطکاک برآکتهای استینلس استیل با روش ریخته‌گری متداول و برآکتهای استینلس استیل با روش ریخته‌گری پودری (Sintering) و برآکتهای چینی با شیار ۰۰۱۸٪ در این جدول مشاهده می‌گردد.

### برآکتهای چینی

نیروهای اصطکاکی برآکتهای چینی، با شیارهای ۰۰۱۸٪ و ۰۰۲۲٪، نسبت به برآکتهای استینلس استیل بیشتر است (جدولهای ۱۲-۲ و ۱۲-۳). (۲۳) نیروی اصطکاک در شیار ۰۰۱۸٪ و وایر ۰۰۱۶٪ کروم کبالت حدوداً ۸۸/۴ گرم می‌باشد و برای وایر ۰۰۱۷٪ × ۰۰۱۷٪ بتا تایتانیوم در حدود ۴۰۵/۱ گرم است. در برآکتهای با شیار ۰۰۲۲٪ برای وایر ۰۰۲۵٪ می‌باشد و برای وایر ۰۰۲۵٪ بتا تایتانیوم در حدود ۱۱۹ گرم و برای وایر ۰۰۲۵٪ × ۰۰۱۷٪ بتا تایتانیوم ۳۹۹/۴ گرم می‌باشد. این اختلاف در میزان استینلس استیل ۰۰۱۶٪ است. برآکتهای چینی با بزرگنمایی زیاد، ناهمواریهای کوچک متعددی را نشان میدهد، در حالیکه سطوح شیار سطوح شیار برآکتهای چینی با بزرگنمایی تک کریستال (single crystal) از تعداد زیادی تک برآکتهای استینلس استیل صافتر است. برآکتهای چینی تک کریستال (single crystal) از فرایند تراشی (ultrasonic cutting) یا فرایند میکروسکوپی (microtome) یا هر دو روش به کریستالهای آلمینیا به وجود آمده است که توسط دستگاههای ultrasonic cutting یا فرایند میکروسکوپی یا هر دو روش به شکل و ابعاد مناسب ساخته می‌شود (۶۴)، این روش مشکل است و منجر به وجود تضاریس و حفرات در شیار برآکتهای

چینی می‌گردد (۵۹) و در نمای میکروسکوپ الکترونی (SEM) مشاهده می‌گردد. وقتی برآکتهای چند کریستاله در SEM مشاهده می‌شوند، سطوح بسیار زبری را نشان می‌دهند که منجر به ایجاد شیار روی واپر ارتودنسی می‌نماید. دستگاه اتکاس نور لیزری و دستگاه میکروسکوپ الکترونی (SEM) برای نشان دادن ظاهر کلی و مقدار زبری برآکتهای تک و چند کریستالی به کار برده می‌شود. برآکتهای تک کریستال آلومینا صاف‌تر از برآکتهای چند کریستاله می‌باشند اما مقدار اصطکاک در آنها، قابل مقایسه می‌باشد.

**Table 12-3.** Comparison of Mean Frictional Forces Produced by Conventional Stainless Steel (Ormco Corp.), Sintered Stainless Steel (Mini-Taurus, Rocky Mountain Orthodontics; Miniature Twin, Unitek Corp.), and Ceramic Brackets (Gem, Ormco Corp.) for the 0.022 Inch Bracket Slot

Wire Size (inch)	Wire Alloy	Frictional Force					
		Kapila et al.		Vaughan et al.		Angolkar et al.	
		Stainless Steel Mean g	(SD)	Sintered Mini-Taurus Mean g	(SD)	Sintered Miniature Twin Mean g	(SD)
0.016	SS	100.6	(20.1)	54.4	(17.6)	58.5	(33.5)
	Co-Cr	93.8	(26.8)	36.0	(27.9)	38.0	(19.6)
	B-Ti	117.7	(21.0)	78.7	(29.8)	80.4	(25.1)
	Ni-Ti	126.8	(16.7)	61.6	(26.5)	73.1	(17.0)
0.016 × 0.016	Co-Cr	120.5	(19.4)	58.3	(24.6)	104.3	(38.5)
	Ni-Ti	100.7	(13.7)	96.0	(26.5)	40.8	(12.7)
0.016 × 0.022	SS	129.8	(20.6)	94.2	(39.3)	51.5	(18.2)
	Co-Cr	146.8	(15.8)	75.7	(23.2)	68.2	(26.0)
	B-Ti	165.8	(19.2)	108.8	(31.4)	114.0	(44.6)
	Ni-Ti	153.2	(17.8)	68.7	(26.0)	74.3	(25.0)
0.017 × 0.017	SS	99.2	(19.2)	49.2	(7.5)	54.1	(37.6)
	B-Ti	136.5	(34.9)	75.5	(28.5)	95.1	(32.8)
0.017 × 0.025	SS	115.4	(18.7)	68.8	(28.5)	63.6	(18.1)
	Co-Cr	176.3	(23.5)	79.6	(34.7)	57.1	(39.0)
	B-Ti	215.3	(24.2)	112.1	(55.6)	168.3	(44.3)
	Ni-Ti	177.7	(31.7)	85.5	(27.8)	102.3	(43.1)
0.018	SS	84.9	(13.9)	64.4	(36.0)	30.1	(9.4)
	Co-Cr	101.3	(27.0)	55.4	(20.5)	44.1	(17.0)
	B-Ti	112.9	(19.8)	133.5	(38.6)	139.0	(28.8)
	Ni-Ti	162.1	(29.5)	113.7	(33.5)	132.1	(26.7)
0.018 × 0.025	SS	150.1	(35.0)	60.1	(20.2)	64.5	(37.5)
	Co-Cr	194.5	(36.4)	50.4	(16.8)	45.8	(21.9)
	Ni-Ti	138.8	(27.1)	68.1	(27.5)	66.3	(38.3)
	SS	193.3	(28.9)	61.6	(28.1)	71.1	(21.2)
0.019 × 0.025	Co-Cr	192.2	(21.1)	81.1	(36.0)	62.0	(36.8)
	B-Ti	154.8	(33.2)	98.9	(58.9)	95.4	(51.1)
	Ni-Ti	155.7	(18.0)	59.2	(20.2)	117.1	(35.3)

جدول ۱۲-۳ : مقایسه مقدار متوسط نیروهای اصطکاکی برآکتهای استینلس استیل با روش ریخته‌گری به طریقه متداول، ریخته‌گری پودری (Sintering) و برآکتهای چینی با شیار ۰/۰۲۲ در این جدول مشاهده می‌گردد.

ترکیبی از واپرهای فلزی و برآکتهای چینی نیروی اصطکاک زیادی به وجود می‌آورد. بنابراین نیروی بیشتری به منظور حرکت دندانها با برآکت چینی در مقایسه با برآکتهای استینلس استیل در تکنیک لغزشی مورد نیاز است. از آنجاییکه برآکتهای چینی معمولاً بر روی دندانهای قدامی همراه با برآکتهای استینلس استیل بر روی دندانهای خلفی به کار می‌رود، عقب بردن کانین ممکن است باعث از دست دادن تکیه‌گاه خلفی به علت افزایش اصطکاک برآکتهای چینی می‌گردد. محافظت از تکیه‌گاه در چنین مواردی، باید مورد توجه قرار گیرد.

## براکتهاي که از zirconia ساخته شده‌اند

براکتهاي چيني علاوه بر داشتن اصطکاك بالا، داراي مقاومت کمي در مقابل شکستن هستند. به علت شکنندگی آنها، کوچک‌ترین ترک يا شيار، در تمام ماده خيلي سريع پخش می‌شود. براکتهاي zirconia به عنوان جانشيني برای براکتهاي چيني پيشنهاد مي‌گردد زيرا انجام عمليات سخت كاري سطوح، توسيع اكسيد زيرکونيوم باعث افزایش مقاومت نسبت به شکست ميشود. ضريب اصطکاك براکتهاي zirconia بالاتر يا مساوي براکتهاي چند کريستاله آلومينا در هر دو حالت خشك و مرطوب ميباشد. خورده‌های واير و خرابي سطح شيار براکت zirconia بعد از لغزش واير در شيار مشاهده مي‌گردد.

## براکتهاي پلاستيكي

براي دستيابي به براکتهاي مناسب از نظر زيبائي و اصطکاك کمتر و جدا کردن ساده اين براکتها نسبت به براکتهاي چيني، انواعي از براکتهاي پلاستيكي که با چيني تقويت شده، با يا بدون شيار فلزي، معرفی گردیدند. مقدار نيروي اصطکاك در چهار نوع براکت پلاستيكي، تک کريستال چيني، چند کريستال چيني و براکت فلزي با يك واير با قطر و آلياز مشخص، در جدول ۱۲-۴ برای براکتهاي ۰/۰۱۸ و در جدول ۱۲-۵ برای براکتهاي ۰/۰۲۲ نشان داده شده است.<sup>(۳۸)</sup> در اين تحقيق مقدار اصطکاك در براکتهاي پلاستيكي ۰/۰۱۸ نوع Spirit با واير ۰/۰۱۶ استينلس استيل با بسته شدن توسط حلقه لاستيكي از ۴۹/۸۷ گرم تا ۲۲۲/۳۱ گرم با همان براکت و با واير ۰/۰۲۲ × ۰/۰۱۶ بـتا تايتانيوم با بسته شدن توسط Steel-ligature متغير است. به همين ترتيب، مقدار اصطکاك از مقدار ۳۱/۳۵ گرم در براکت ۰/۰۲۲ استينلس استيل و واير استينلس استيل ۰/۰۲۵ × ۰/۰۱۷، که توسط واير بسته مي‌شود تا ۲۷۰/۶ گرم با براکت چند کريستاله چيني با همان شيار و واير ۰/۰۱۸ نيكل تايتانيوم که با سيم بسته شده است، متغير است. اختلاف آماري معني دار در ميزان متوسط نيروي اصطکاك حرکتی، با براکتهاي استينلس استيل، براکت سراميك و انواع براکت پلاستيكي وجود دارد.

براکتهاي ۰/۰۱۸ از نظر نيروي اصطکاكی از حداکثر تا حداقل به ترتيب شامل استينلس استيل، چيني چند کريستاله، چيني تقويت شده با کامپوزيت همراه با شيار فلزي و چيني تقويت شده با کامپوزيت بدون شيار فلزي، است. براکتهاي ۰/۰۲۲ از نظر نيروي اصطکاك می‌تواند از حداکثر به حداقل به ترتيب از چيني چند کريستاله، چيني تک کريستاله، چيني تقويت شده با کامپوزيت بدون شيار فلزي، استينلس استيل، چيني تقويت شده با کامپوزيت همراه با شيار فلزي، طبقه بندی شوند. پوشش فلزي در اين دو براکت تقويت شده به طور قابل توجه باعث کاهش اصطکاك نسبت به براکتهاي پلاستيكي و سراميكي، کمتر است. مطالعات ديگري نشان داده است که نيروي اصطکاك براکتهاي فلزي، نسبت به براکتهاي پلاستيكي و سراميكي، ۰/۰۲۲ (۵۶,۵۸,۵۹,۳۵,۳۲,۲۸) اگر واير توسط سيم به طور محكم به براکت بسته شود، دیواره‌های شيار براکتهاي پلاستيكي، به سوي همديگر مقداری فشرده مي‌شوند، که باعث افزایش اصطکاك مي‌گردد.<sup>(۳۹)</sup>

## اثر عرض براکت بر روی اصطکاك

اثر عرض براکت روی اصطکاك مورد بحث است. بعضی از مطالعات نشان داده است که تعغيير در عرض براکت تفاوتی در ميزان اصطکاك به وجود نمی‌آورد<sup>(۳۱,۲۷)</sup>. در حالیکه بعضی از مطالعات بالا رفتن مقاومت اصطکاك با افزایش عرض براکت را، نشان مي‌دهد<sup>(۴۱,۴۲)</sup>. و در مطالعات ديگر اصطکاك با زياد شدن عرض براکت کاهش

می‌یابد (۳۰، ۳۳، ۵۹). Nikolai Frank (۲۴) اصطکاک بیشتر را، در برآکتهای عریض‌تر به این حقیقت مربوط داشتند.

**Table 12-4.** Comparison of Mean Frictional Forces Generated by One Metal (SS-1, Unitek Miniature Twin), One Polycrystalline Ceramic (PC-1, RMO Signature), and Four Plastic Brackets (SP-1, Ormco Spirit; EL-1, GAC Elan; IM-1, GAC Image; SI-1, American Silicon) for the 0.018 Inch Slot Size

Bracket	Wire											
	Stainless Steel Alloy				$\beta$ -Titanium Alloy				Nickel-Titanium Alloy			
	0.016 inch		0.016 × 0.022 inch		0.016 inch		0.016 × 0.022 inch		0.016 inch		0.016 × 0.022 inch	
	SNK	Mean	SD	SNK	Mean	SD	SNK	Mean	SD	SNK	Mean	SD
<b>A. Elastomeric Ligation</b>												
SS-1	B	74.17	17.61	B	95.17	28.4	A	152.21	47.77	C	136.43	33.53
PC-1	A	75.78	13.32	A	100.9	31.9	B	112.34	19.59	B	149.19	28.51
SP-1	F	49.87	10.18	E	73.85	15	C	107.98	16.52	D	129.44	16.46
EL-1	C	65.53	14.17	D	83.06	14.9	BC	110.93	20.37	E	98.86	15.28
IM-1	E	55.14	10.43	B	97.86	30.9	E	82.25	25.81	F	82.36	17.34
SI-1	D	58.63	10.84	C	87.64	18.5	D	90.02	21.34	A	163.59	66.45
<b>B. Steel Ligation</b>												
SS-1	A	90.8	42.38	B	104.6	46.2	D	100.44	64.08	E	84.52	37.47
PC-1	B	78.03	33.65	C	97.28	70.3	B	185.85	121.1	C	139.37	80.29
SP-1	D	51.3	15.82	D	59.17	31.3	A	199.21	58.76	A	222.31	108.5
EL-1	D	48.81	19.08	D	59.15	26.6	C	138.14	50.1	B	171.56	77.42
IM-1	D	48.81	22.1	D	58.87	24.2	C	133.03	33.87	D	106.72	50.6
SI-1	C	60.23	25.38	A	136.8	71	E	90.3	19.73	C	142.42	46.96
B. Steel Ligation												
SS-1	A	90.8	42.38	B	104.6	46.2	D	100.44	64.08	E	84.52	37.47
PC-1	B	78.03	33.65	C	97.28	70.3	B	185.85	121.1	C	139.37	80.29
SP-1	D	51.3	15.82	D	59.17	31.3	A	199.21	58.76	A	222.31	108.5
EL-1	D	48.81	19.08	D	59.15	26.6	C	138.14	50.1	B	171.56	77.42
IM-1	D	48.81	22.1	D	58.87	24.2	C	133.03	33.87	D	106.72	50.6
SI-1	C	60.23	25.38	A	136.8	71	E	90.3	19.73	C	142.42	46.96

جدول ۱۲-۴: مقایسه مقادیر متوسط نیروی اصطکاک که توسط برآکت استینلس استیل، برآکت چینی چند کریستاله، و چهار نوع برآکت پلاستیکی در شیار ۰/۰۱۸ ایجاد شده است، در این جدول مشاهده می‌گردد.

**Table 12-5.** Comparison of Mean Frictional Forces Generated by One Metal (SS-2, Unitek Miniature Twin), One Monocrystalline Ceramic (MC-2, A-Company Starfire), One Polycrystalline Ceramic (PC-2, RMO Signature), and Three Plastic Brackets (SP-2, Ormco Spirit; IM-2, GAC Image; SI-2, American Silicon) for the 0.022 Inch Slot Size

Bracket	Wire											
	Stainless Steel Alloy				$\beta$ -Titanium Alloy				Nickel-Titanium Alloy			
	0.018 inch		0.017 × 0.025 inch		0.019 × 0.025 inch		0.018 inch		0.017 × 0.025 inch		0.019 × 0.025 inch	
	SNK	Mean	SD	SNK	Mean	SD	SNK	Mean	SD	SNK	Mean	SD
<b>A. Elastomeric Ligation</b>												
SS-2	B	90.85	11.5	D	83.67	17.8	D	97.75	18.5	C	102.12	23
MC-2	B	92.24	16.2	B	101	16.8	A	121.3	30	B	109.7	16
PC-2	A	114.8	24.8	A	143.6	51.9	B	114.1	22.8	A	147.02	30.1
SP-2	D	66.07	14	E	78.37	12.2	F	83.51	11.2	D	90.68	14.8
IM-2	E	52.38	16.2	E	78.49	24.3	E	93.81	24.7	E	71.1	14
SI-2	C	78.77	15.7	C	91.82	21.8	C	110.1	27.3	D	92.5	14
<b>B. Steel Ligation</b>												
SS-2	C	42.01	18.2	F	31.35	20.4	F	38.75	31.5	C	139.42	60.1
MC-2	A	71.13	41	A	139.8	94.7	C	121	61.5	A	187.58	103
PC-2	B	64.46	35.5	C	102.2	43.9	A	138.7	72.8	B	167.55	100
SP-2	C	42.14	9.75	D	74.47	39.7	E	44.53	22.4	D	94.08	43.7
IM-2	A	70.88	26.2	E	51.72	26.7	D	60.43	29.4	E	77.7	41.6
SI-2	A	73.03	25.4	B	108.2	22.3	B	132.3	41	C	144.46	77.6

جدول ۱۲-۵: مقایسه مقادیر متوسط نیروی اصطکاک که توسط برآکت استینلس استیل، برآکت چینی تک کریستاله، برآکت چینی چند کریستاله، و سه نوع برآکت پلاستیکی در شیار ۰/۰۲۲ ایجاد شده است. در این جدول مشاهده می‌گردد.

که اتصال در برآکتهای پهنتر نسبت به برآکتهای باریکتر با درجات کمتری از خم نوع دوم ایجاد می‌شود. بر عکس Drescher (۳۳) و همکارانش، Bender (۵۹) و همکارانش، Omana (۵۳) و همکارانش گزارش نمودند که در برآکتهای کم عرض تر، قبل از اینکه خم در وایر اتفاق بیفتد، دندان به میزان قابل توجه‌ای حرکت چرخشی انتقالی می‌نماید. و به محض اینکه خم در وایر ایجاد شود، مقاومت بیشتری در مقابل لغزش روی وایر ایجاد می‌گردد. Kapila (۲۶) و همکارانش، Ogata (۴۱) و همکارانش نشان دادند که بسته شدن وایر توسط حلقه لاستیکی در برآکت پهن تر نسبت به برآکتهای کم عرض باعث ایجاد نیروی بیشتری از حالت طبیعی روی وایر می‌گردد. Kapila (۲۶) و همکارانش گزارش کردند که برآکتهای مزدوج ۰/۰۱۸ با عرض متوسط، تقریباً ۱/۵ برابر اصطکاک بیشتری نسبت به برآکتهای کم عرض منفرد ایجاد می‌کنند. و برآکتهای با عرض زیاد، از نوع مزدوج دو برابر اصطکاک نسبت به برآکت کم عرض ایجاد می‌نمایند. برآکت با عرض متوسط و عرض زیاد از نوع مزدوج با شیار ۰/۰۲۲ از نظر اصطکاک تفاوت ندارند، گرچه این برآکتها اصطکاک بیشتری از برآکتهای کم عرض منفرد ۰/۰۲۲ دارند.

عرض برآکت مستقیماً با فاصله بین برآکتها رابطه دارد. برآکتهای کم عرض، باعث افزایش طول بیشتری از وایر در بین برآکتها می‌گردد و بنابراین انعطاف پذیری وایر بیشتر می‌شود. بنابراین عرض برآکت اثر غیر مستقیمی بر روی اصطکاک دارد، چون برآکت کم عرض باعث افزایش طول وایر در فاصله بین برآکتها می‌شود و باعث کاهش سختی وایر (Stiffness) می‌گردد که منجر به افزایش بیشتر خم و باعث انعطاف پذیری بیشتری می‌گردد. بعلاوه از معایب برآکتهای کم عرض کنترل کمتر حرکت چرخشی و چرخشی انتقالی به علت درگیری کمتر وایر در داخل شیار برآکت می‌باشد.

## اثر وایر ارتودنسی در اصطکاک حرکتی

### آلیاز وایر

نقش آلیاز در میزان اصطکاک با تکنیک لغزشی به طور قابل توجهی مورد مطالعه قرار گرفته است. جدول ۱۲-۶ اثر آلیاز وایر اصطکاک را، نشان میدهد. از جدول مشخص است که وایر استینلس استیل دارای حداقل اصطکاک و بتاتایتانیوم دارای حداقل اصطکاک است، مقدار و تغییرات نیروی اصطکاک در مورد میزان حرکت برآکت در وایر نیکل تایتانیوم و بتا تایتانیوم نسبت به وایر استینلس استیل یا کروم کبالت بیشتر است. Frank (۲۶) و Nikolai (۲۴) گزارش کردند که وایر استینلس استیل نسبت به نیکل تایتانیوم به علت اینکه زاویه خم از نوع دوم ایجاد نمی‌نماید دارای اصطکاک کمتری است، اما وقتی که خم از نوع دوم افزایش می‌یابد عکس این مطلب صادق است.

مطالعات با استفاده از نور نشان داد که وایر استینلس استیل دارای صاف‌ترین سطح می‌باشد که به دنبال آن، در رابطه با افزایش زبری سطوح کروم کبالت، سپس بتاتایتانیوم و سپس نیکل تایتانیوم قرار دارد. بعلاوه زبری سطوح، وایر بتاتایتانیوم ایجاد چسبندگی کوچک با برآکت استینلس استیل در شرایط خشک را، دارد که منجر به افزایش بیشتر نیروی اصطکاک می‌گردد. Whitley و Kusy (۳۵) رابطه بین زبری سطوح و مقدار اصطکاک در انواع مختلف وایر را، مورد بررسی قرار دادند و متوجه شدند وایر استینلس استیل سطح صاف و حداقل ضریب اصطکاک را، دارد. ولیکن در وایر نیکل تایتانیوم و بتاتایتانیوم رابطه‌ای بین زبری سطح و ضریب اصطکاک وجود ندارد. چون وایر بتاتایتانیوم دارای بیشترین اصطکاک است اما زبری در سطح ندارد. Whitley و Kusy به این نتیجه رسیدند که زبری سطوح را به عنوان یکی از فاکتورهای موثر افزایش اصطکاک در تکنیک لغزشی نمی‌توان به حساب آورد. Prososki و همکارانش با استفاده از Profilometer به منظور ارزیابی زبری سطوح نشان دادند که رابطه‌ای بین زبری سطوح و ضریب اصطکاک

وجود ندارد. وایر استینلس استیل دارای صاف‌ترین سطح است ولی اصطکاک بیشتری نسبت به وایر کروم کبالت دارد. وایر بتا تایتانیوم که سطح صافی دارد، دارای اصطکاک بیشتری است.

راه مقابله با بالا بودن ضریب اصطکاک وایر بتا تایتانیوم و نیکل تایتانیوم تزریق یونی است که در حال حاضر مورد مطالعه می‌باشد. یونهای گازی (مثل نیتروژن و اکسیژن) روی سطح وایر تزریق می‌شود که منجر به سطحی بسیار سخت می‌گردد. تزریق یونی به سطح خارجی وایر ایجاد پوشش نمی‌کند که منجر به پوسته پوسته شدن مثل روش‌های پوششی متداول، گردد. و تغییری در ابعاد وایر به وجود نمی‌آید. farzin-Nia و Burstone در رابطه با تزریق یون در وایر بتا تایتانیوم گزارش کردند که میزان اصطکاک در این وایر معادل وایر استینلس استیل می‌گردد<sup>(۶۵)</sup>.

Berger<sup>(۳۹)</sup> در رابطه با اصطکاک وایر ۰/۱۷۵ و ۰/۰۲۲ (whildcat) در شیار ۰/۰۲۲ متوجه شد که مقدار اصطکاک ۱/۵ برابر نسبت به وایر ۰/۰۱۸ همراه با بستن با حلقه لاستیکی بیشتر است و در حدود ۵ برابر با بستن توسط سیم بیشتر می‌باشد. منحنی اصطکاک در وایر بافتہ شده نا معقول است. تلاشهایی برای کاهش اصطکاک با پوشش تفلون روی وایر انجام شده است، اگرچه این سعی و تلاش با موفقیت کمی روبرو بوده است<sup>(۶۶)</sup>.

**Table 12-6.** Major Studies Investigating the Effect of Wire Alloy on Friction in Orthodontic Sliding Systems. The Alloys Have Been Ranked from 1 through 4, 1 Being Least Friction and 4 Being Most Friction

Author/Year	Wire Alloy			
	Stainless Steel	Cobalt-Chromium	Nickel-Titanium	β-Titanium
Frank and Nikolai 1980 <sup>24</sup>	1 if nonbinding 2 if binding	3	2 if nonbinding 1 if binding	None
Peterson et al. 1982 <sup>27</sup>	Equal if nonbinding 2 if binding	None	Equal if nonbinding 1 if binding	None
Stannard et al. 1986 <sup>29</sup>	2	4	3	1
Garrner et al. 1986 <sup>25</sup>	1	None	2	3
Kusy et al. 1988 <sup>34</sup>	1	2 Yellow = blue Elgiloy	Titanal 4 Nitinol 5	3
Kusy and Whitley 1989 <sup>51</sup>	1	3	2	4
Tidy 1989 <sup>30</sup>	1	None	2	3
Drescher et al. 1989 <sup>33</sup>	1	2	3	4
Kapila et al. 1990 <sup>26</sup>	1	2	3	4
Kusy and Whitley 1990 <sup>52</sup>	1	2	3	4
Pratten et al. 1990 <sup>28</sup>	1	None	2	None
Angolkar et al. 1990 <sup>23</sup>	1	2	3	4
Kusy et al. 1991 <sup>56</sup>	1	2	3	4
Ireland et al. 1991 <sup>54</sup>	1	None	2	None
Omana et al. 1992 <sup>59</sup>	Equal	None	Equal	None
Vaughan et al. 1995 <sup>42</sup>	2	1	3	4

جدول ۱۲-۶: اثر آلیاژ وایر روی اصطکاک در تکنیک لغزشی در این جدول مشاهده می‌شود. آلیاژها به ترتیب از ۱ تا ۴ درجه بندی شده‌اند که عدد ۱ حداقل اصطکاک و عدد ۴ حداقل اصطکاک را نشان می‌دهد.

### قطر وایر

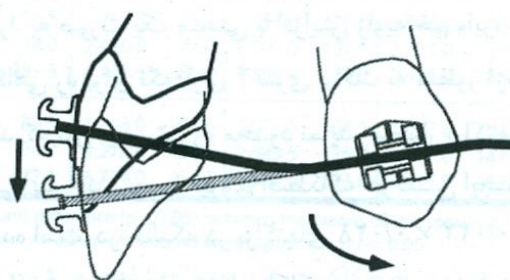
مطالعات متعددی در مورد اثر افزایش قطر وایر روی افزایش اصطکاک بین وایر و براکت انجام شده است.<sup>(۲۷-۲۳)</sup> ۵۸,۵۴,۵۳,۴۶,۴۲,۴۱,۳۹,۳۲,۳۱ به طور کلی وایر چهارگوش اصطکاک بیشتری نسبت به وایر گرد، به وجود می‌آورد.

(جدولهای ۱۲-۲ و ۱۲-۳). اگر چه وجود این اصطکاک به علت ایجاد خم زاویه‌دار در وایر نمی‌باشد، سطح تماس بین برآکت و وایر به عنوان عامل مهم در ایجاد اصطکاک می‌باشد که در نتیجه وایر چهارگوش اصطکاک بیشتری دارد.<sup>(۲۴)</sup> در مواردی که برآکت زاویه‌دار می‌شود، فاکتور تعیین کننده، نقاط تماس وایر با لبه برآکت است. با وایر گرد تماس شیار برآکت با وایر نقطه‌ای است که باعث دندانه شدن وایر می‌گردد، ولی با وایر چهارگوش تماس در یک سطح وسیع یعنی در تمام سطح لبیولینگوالی حاصل می‌شود که منجر به فشار کمتر و بنابراین نسبت به حرکت، مقاومت کمتر نشان می‌دهد. این موضوع با نظریات Nikolai Frank<sup>(۲۴)</sup> که معتقد است وایر ۰/۰۲۰ اصطکاک بیشتری از  $0/0\text{~mm} \times 0/0\text{~mm}$  دارد مطابقت دارد.

### نقش سختی وایر و فضای آزاد بین وایر و سطوح شیار برآکت

از نظر مکانیک، وایر ارتودنسی به عنوان داربست الاستیکی است که توسط یک یا دو انتهای نگه داری شده است. نیروی به کاربرده روی این داربست باعث ایجاد خم می‌گردد و این خم در محدوده الاستیک آلیاژ قابل برگشت است. شبیه محدوده الاستیک منحنی خمیدگی بر اثر نیرو (force-deflection) متناسب با سختی وایر است. وایر سخت‌تر دارای فنریت کمتر است و نسبت به یک نیروی مشخص کمتر خم می‌گردد تغییر قطر یا مقطع عرضی وایر بر روی سختی وایر به میزان زیادی اثر می‌گذارد. دو برابر کردن قطر وایر گرد که توسط یک انتهای ثابت شده است باعث افزایش سختی (stiffness) به میزان ۱۶ برابر می‌گردد (یعنی توان چهارم) و مقاومت (strength) ۸ برابر می‌شود (یعنی توان سوم) و میزان دامنه فعالیت (range) به نصف می‌رسد. دو برابر کردن قطر وایری که از ۲ انتهای ثابت گردیده باشد باعث افزایش سفتی وایر (stiffness) به توان چهارم می‌شود.

طول وایر روی سفتی وایر اثر می‌گذارد. دو برابر کردن طول وایر که یک طرف آن ثابت گردیده است سفتی وایر (stiffness) را، به میزان ۸ برابر کاهش میدهد. در طی عقب بردن کائین به فضای دندان پره مولر، افزایش طول وایر در بین برآکتها بدون اینکه نقطه اتکایی در آن ناحیه وجود داشته باشد سفتی وایر را، کاهش می‌دهد. بنابراین نیروی موثر برای عقب بردن دندان بدون وجود تکیه گاه، توانایی بیشتری در ایجاد خم در وایر دارد که منجر به خمیدگی در وایر می‌گردد. برای جلوگیری از این خم، که باعث افزایش اصطکاک می‌شود، قطر وایر بایستی برای جبران کاهش سفتی stiffness در هنگامی که فاصله بین برآکتها بیش از مقدار طبیعی است، زیاد گردد. دلیل دیگری برای عدم استفاده از وایر انعطاف پذیر با قطر کم، در خلال حرکت لغزندۀ کائین به طرف عقب این است که در هنگامی که کائین به سمت عقب حرکت چرخشی انتقالی می‌یابد، وایر انعطاف پذیر خم می‌گردد، که باعث extrusion دندانهای قدامی می‌شود (شکل ۱۲-۶). این حالت می‌تواند با استفاده از برآکتها درجه‌دار برای دندان کائین که در آن زاویه‌ای برای جابجایی ریشه به طرف دیستال تعییه شده است، تشديد گردد.



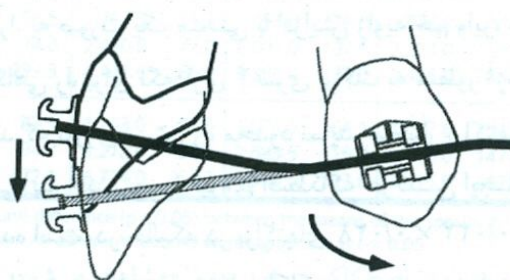
شکل ۱۲-۶: اثر جانبی نامطلوب extrude شدن انسیزورها ناشی از حرکت چرخشی انتقالی کائین در خلال عقب بردن کائین با تکنیک sliding با استفاده از وایر انعطاف پذیر در این شکل مشاهده می‌شود.

(جدولهای ۱۲-۲ و ۱۲-۳). اگر چه وجود این اصطکاک به علت ایجاد خم زاویه‌دار در وایر نمی‌باشد، سطح تماس بین برآکت و وایر به عنوان عامل مهم در ایجاد اصطکاک می‌باشد که در نتیجه وایر چهارگوش اصطکاک بیشتری دارد.<sup>(۲۴)</sup> در مواردی که برآکت زاویه‌دار می‌شود، فاکتور تعیین کننده، نقاط تماس وایر با لبه برآکت است. با وایر گرد تماس شیار برآکت با وایر نقطه‌ای است که باعث دندانه شدن وایر می‌گردد، ولی با وایر چهارگوش تماس در یک سطح وسیع یعنی در تمام سطح لبیولینگوالی حاصل می‌شود که منجر به فشار کمتر و بنابراین نسبت به حرکت، مقاومت کمتر نشان می‌دهد. این موضوع با نظریات Nikolai Frank<sup>(۲۴)</sup> که معتقد است وایر ۰/۰۲۰ اصطکاک بیشتری از  $0/0\text{~mm} \times 0/0\text{~mm}$  دارد مطابقت دارد.

### نقش سختی وایر و فضای آزاد بین وایر و سطوح شیار برآکت

از نظر مکانیک، وایر ارتودنسی به عنوان داربست الاستیکی است که توسط یک یا دو انتهای نگه داری شده است. نیروی به کاربرده روی این داربست باعث ایجاد خم می‌گردد و این خم در محدوده الاستیک آلیاژ قابل برگشت است. شبیه محدوده الاستیک منحنی خمیدگی بر اثر نیرو (force-deflection) متناسب با سختی وایر است. وایر سخت‌تر دارای فنریت کمتر است و نسبت به یک نیروی مشخص کمتر خم می‌گردد تغییر قطر یا مقطع عرضی وایر بر روی سختی وایر به میزان زیادی اثر می‌گذارد. دو برابر کردن قطر وایر گرد که توسط یک انتهای ثابت شده است باعث افزایش سختی (stiffness) به میزان ۱۶ برابر می‌گردد (یعنی توان چهارم) و مقاومت (strength) ۸ برابر می‌شود (یعنی توان سوم) و میزان دامنه فعالیت (range) به نصف می‌رسد. دو برابر کردن قطر وایری که از ۲ انتهای ثابت گردیده باشد باعث افزایش سفتی وایر (stiffness) به توان چهارم می‌شود.

طول وایر روی سفتی وایر اثر می‌گذارد. دو برابر کردن طول وایر که یک طرف آن ثابت گردیده است سفتی وایر (stiffness) را، به میزان ۸ برابر کاهش میدهد. در طی عقب بردن کائین به فضای دندان پره مولر، افزایش طول وایر در بین برآکتها بدون اینکه نقطه اتکایی در آن ناحیه وجود داشته باشد سفتی وایر را، کاهش می‌دهد. بنابراین نیروی موثر برای عقب بردن دندان بدون وجود تکیه گاه، توانایی بیشتری در ایجاد خم در وایر دارد که منجر به خمیدگی در وایر می‌گردد. برای جلوگیری از این خم، که باعث افزایش اصطکاک می‌شود، قطر وایر بایستی برای جبران کاهش سفتی stiffness در هنگامی که فاصله بین برآکتها بیش از مقدار طبیعی است، زیاد گردد. دلیل دیگری برای عدم استفاده از وایر انعطاف پذیر با قطر کم، در خلال حرکت لغزندۀ کائین به طرف عقب این است که در هنگامی که کائین به سمت عقب حرکت چرخشی انتقالی می‌یابد، وایر انعطاف پذیر خم می‌گردد، که باعث extrusion دندانهای قدامی می‌شود (شکل ۱۲-۶). این حالت می‌تواند با استفاده از برآکتها درجه‌دار برای دندان کائین که در آن زاویه‌ای برای جابجایی ریشه به طرف دیستال تعییه شده است، تشديد گردد.



شکل ۱۲-۶: اثر جانبی نامطلوب extrude شدن انسیزورها ناشی از حرکت چرخشی انتقالی کائین در خلال عقب بردن کائین با تکنیک sliding با استفاده از وایر انعطاف پذیر در این شکل مشاهده می‌شود.

سفتی وایر چهارگوش (stiffness) بستگی به قطر مقطع عرضی در جهت خم دارد، یا به عبارت دیگر یک وایر  $0.022 \times 0.017$  در سیستم edgewise که برآکتها به صورت افقی قرار دارند، در جهت عمودی فریت بیشتری نسبت به سیستم دستگاه ribbon دارد که در آن برآکتها به صورت عمودی قرار دارند. Drescher (۳۳) و همکارانش ارتفاع عمودی وایر را، به عنوان یک فاکتور مهم در مقاومت اصطکاک اعلام کردند. وقتی دندانها در حین عقب بردن کائین حرکت چرخشی انتقالی می‌یابند، لبه‌های برآک با وایر تماس پیدا می‌کنند و باعث تغییر فرم آن می‌شود. جهت تغییر فرم وایر  $0.022 \times 0.016$  در جهت عمودی یعنی  $0.016$  می‌باشد. ارتفاع  $0.022 \times 0.016$  در وایر به مقدار قابل توجهی اصطکاک کمتری نسبت به وایر  $0.025 \times 0.018$  دارد.

سفتی وایر بستگی به نحوه ثابت شدن انتهای وایر دارد. یک وایر که در یک انتهای ثابت شده است، سفتی کمتری نسبت به وایری که در هر دو انتهای ثابت شده است دارد. ثابت کردن دو انتهای وایر به طور محکم، سفتی وایر را، ۴ برابر افزایش می‌دهد. بنابراین در حین بستن فضا به روشی لغزشی، وایر باید به صورت محکم به برآکتها به منظور افزایش سفتی بسته شده باشد. به عبارت دیگر در طی حرکت دندان کائین به طرف عقب، برآکتها دندانها پره مولر و لترال باید به طور محکم به وایر بسته شده باشد، این کار نه فقط سفتی وایر را، زیاد می‌کند بلکه اصطکاک را، در برآکتها پره مولر افزایش می‌دهد که از دست رفتن تکیه‌گاه به حداقل می‌رسد.

فضای کافی بین وایر و سطوح برآکت برای جلوگیری از خم شدن وایر مورد نیاز است. فضای آزاد و یا بازی بین وایر و سطوح برآکت در حرکت از نوع دوم یعنی حرکت چرخشی انتقالی بستگی به اندازه شیار برآکت، عرض برآکت، قطر برآکت در حرکت از نوع سوم در وایر چهارگوش با شیار برآکت  $0.018 \times 0.017$  درجه برای وایر  $0.022 \times 0.016$  تا  $0.025 \times 0.016$  درجه برای وایر  $0.025 \times 0.017$  درجه متغیر است (۷۷). در شیار برآکت  $0.022 \times 0.018$  فضای آزاد برای حرکت از نوع سوم بین  $0.022 \times 0.016$  درجه در وایر  $0.022 \times 0.016$  تا  $0.025 \times 0.017$  درجه برای وایر  $0.025 \times 0.018$  درجه متغیر است. چون وایر چهارگوش اصطکاک قابل توجه بیشتری از وایر گرد به وجود می‌آورد، استفاده از وایر  $0.022 \times 0.018$  در شیار برآکت در خلال بستن فضا و عقب بردن کائین توصیه شده است. وایر گرد اصطکاک کمتری ایجاد می‌کند و وایر  $0.022 \times 0.018$  سفتی کافی دارد که منجر به خمیدگی کمتری می‌شود.

### اثر خم شدن وایر در حرکت نوع دوم بر روی اصطکاک

نیروهای اصطکاک در آزمایشگاه با ایجاد خم از نوع دوم در وایر حاصل می‌شوند، که خواص دینامیکی مجموعه وایر برآکت در محیط دهان را، نشان نمی‌دهند. هم سطح کردن خم‌ها در تعدادی از برآکتها (نه فقط در یک برآکت) ضرورت دارد. خم وایر از نوع دوم به میزان قابل توجهی بر روی اصطکاک بین وایر برآکت اثر می‌گذارد. مطالعات زیادی نشان داده است که افزایش زاویه بین برآکت و وایر باعث افزایش اصطکاک می‌گردد (۲۴، ۵۳، ۴۱، ۳۱، ۳۰، ۲۷، ۲۴) و Frank (۶۳) افزایش اصطکاک را، به صورت یک منحنی با افزایش زاویه خم وایر، در برآکت، گزارش نمودند.

Nikolai ogata (۴۱) و همکاران دستگاهی را، برای نگهداری ۴ سری برآکت به منظور آزمایش ۷ نوع برآکت به کار برند، ۳ عدد برآکت طوری طراحی شدند که نیروی بستن را، محدود نماید. ساختار برآکتها به گونه‌ای است که خمی به میزان  $0.025 \times 0.025$  میلیمتر در وایر به وجود می‌آید. حد متوسط نیروی اصطکاک حرکتی ایجاد شده توسط برآکتها در جدول ۱۲-۸ نشان داده شده است. وقتی که خم از نوع دوم افزایش می‌یابد، مقاومت اصطکاک در هر مجموعه‌ای از وایر برآکت زیاد می‌شود. افزایش اصطکاک در دو مرحله ظاهر می‌شود. در خم کمتر، لغزش مختصری انجام می‌شود که افزایش اصطکاک به صورت خطی مشاهده می‌شود. در صورتیکه خم زیادتر شود، مرحله خمیدگی در وایر اتفاق می‌افتد که باعث افزایش اصطکاک

می‌شود، این افزایش اصطکاک لزوماً خطی نیست. خم شدن در هر مجموعه‌ای از واپر برآکت متفاوت است و به طور کلی در فاصله بین ۰/۰ تا ۱ میلیمتر از خم نوع دوم اتفاق می‌افتد. بنابراین در بیمارانی که احتیاج به حداکثر تکیه‌گاه دارند leveling کامل دندانهای قبل از شروع تکنیک لغزشی مورد توجه می‌باشد. باعث کاهش نیروی مورد نیاز برای عقب بردن دندانها و در نتیجه کاهش نیروی اصطکاک می‌گردد. مرحله leveling و aligning ممکن است باعث دندانهای قدامی به عنوان یک عارضه جانبی گردد، این عارضه بیشتر در مورد دستگاههایی که برآکتهای flaring درجه‌دار، دارند، دیده می‌شود.

### اثر روش بستن واپر اصلی بر روی اصطکاک

### حلقه‌های لاستیکی در مقابل سیم استینلس استیل

نیرویی که توسط بستن ایجاد می‌شود روی مقدار نیروی اصطکاک که در دستگاه ارتودنسی به وجود می‌آید. اثر میگذارد، این نیرو بین ۵۰ تا ۳۰۰ گرم تخمین زده می‌شود<sup>(۳۶,۳۳,۳۱,۲۴)</sup> و تا ۷۳۵ گرم گزارش شده است<sup>(۳۷)</sup>. حلقه‌های لاستیکی تحت تاثیر شرایط محیط دهان قرار می‌گیرند<sup>(۷۰)</sup> که با گذشت زمان شل می‌گردند<sup>(۷۱)</sup>. و مقادیر متفاوتی از مقدار نیروی اصطکاک را، نشان می‌دهند<sup>(۷۲)</sup>، از سوی دیگر سیم استینلس استیل بر اساس تکنیک انتخاب شده و بر اساس نیاز مخصوص ارتودنسی به صورت بسیار محکم یا بسیار شل بسته می‌شود.

**Table 12-7.** Effect of Second-Order Deflections on Friction. Mean and Standard Deviation Values for Friction for Three Cast Stainless Steel Brackets (A-018, American Friction Free; G-018, GAC Shoulder; O-018, Ormco Mini Diamond) and Three Sintered Stainless Steel Brackets (R-S-018, RMO Mini-Taurus; RS-S-018, RMO Mini-Taurus Synergy; U-S-018, Unitek Mini Twin) for the 0.018 Inch Slot Size Are Provided for Six Deflections Between 0 and 1.0 mm.

Deflection	Wire Shape and Size	0.018 × 0.025 Inch Brackets Means and Standard Deviations (g)											
		Cast Edgewise				Sintered Edgewise							
		Mean	SD	Mean	SD	Mean	SD	Mean	SD	Mean	SD	Mean	SD
0.00 mm	0.016	2.6	5.0	67.5	29.2	397.5	30.1	389.2*	36.6	1.2	3.2	530.0	58.9
	16 × 22	142.5	44.6	271.0	20.5	707.0	25.3	636.5	84.9	0.0	0.0	689.5	101.7
	17 × 25	188.5	33.7	622.5	184.5	928.0	49.5	610.5	75.9	68.7	58.1	746.5	49.0
0.25 mm	0.016	151.6	26.0	237.0	41.4	432.0	24.2	469.6*	57.1	55.3	19.0	592.0	57.6
	16 × 22	559.5	29.8	754.0	31.9	925.0	49.9	965.0	55.4	39.5	20.6	835.0	103.8
	17 × 25	766.5	45.0	1,238.5	117.6	1,237.0	102.1	762.5	83.5	215.0	108.7	1,174.5	70.3
0.50 mm	0.016	361.4	40.0	480.5	50.2	648.5	35.7	678.2	74.6	222.8	36.7	753.0	69.3
	16 × 22	1,220.0	60.3	1,583.5	73.1	1,490.5	91.8	1,578.5	115.3	637.0	68.9	1,193.0	127.0
	17 × 25	1,530.5	38.4	2,323.5	98.1	1,821.0	142.7	1,586.5	174.9	920.3	204.2	1,881.0	130.4
0.75 mm	0.016	558.6	56.5	767.5	55.3	854.0	36.0	874.6	95.1	407.0	53.2	934.0	69.0
	16 × 22	1,976.5	74.0	2,430.0	77.0	2,001.0	107.5	2,223.0	156.0	1,497.0	186.6	1,624.0	154.0
	17 × 25	2,451.0	293.3	4,441.5	66.0	2,386.0	137.0	2,486.0	283.7	1,744.5	328.6	2,512.0	161.8
1.00 mm	0.016	789.6	83.5	1,153.0	95.5	1,074.0	64.1	1,077.6	104.7	596.8	60.4	1,115.0	74.9
	16 × 22	3,463.5	94.7	3,272.0	57.1	2,583.5	115.8	2,710.0	147.6	2,283.5	213.9	2,088.0	174.7
	17 × 25	6,685.0	422.1	6,774.0	54.2	3,534.5	233.8	3,415.5	462.0	2,431.0	477.6	3,354.5	215.3

\*Indicates that there was not a significant difference ( $p < 0.05$ ) between the means of this specific bracket-wire combination across 0.00 and 0.25 mm of second-order deflection. All other interactions were significant at  $p < 0.05$ .

جدول ۱۲-۷: اثرات خم از نوع دوم بر روی اصطکاک در این جدول مشاهده می‌شود. مقادیر متوسط و انحراف معیار نیروی اصطکاک در ۳ برآکت استینلس استیل با روش ریخته‌گری casting و ۳ نوع برآکت استینلس استیل با روش ریخته‌گری پودری sintering در شیار ۰/۰۱۸ با وجود ۶ خم بین ۰ تا ۱ میلیمتر در این جدول مورد ملاحظه قرار می‌گیرد.

علامت \* نشان می‌دهد که اختلاف معنی داری ( $P < 0.05$ ) بین مقادیر متوسط این مجموعه وایر و برآکت، با وجود خم از نوع دوم به مقدار  $0.25 \text{ mm}$  میلیمتری وجود ندارد در تمام نمونهای دیگر اختلاف معنی داری ( $P < 0.05$ ) وجود دارد.

edwards و همکاران، مطالعه‌ای به منظور مقایسه ۴ نوع تکنیک بستن بر روی مقدار مقاومت اصطکاک بین برآکت و وایر در حالت سکون انجام دادند، این تکنیکها توسط حلقه‌های لاستیکی (elastomeric modules) به صورت متداول، حلقه‌های لاستیکی به صورت ۸ - figure، وایر استینلس استیل و بستن با سیمی که توسط تفلون پوشش دار شده است، می‌باشد. در بستن با حلقه‌های لاستیکی به صورت ۸ - figure، بالاترین مقدار نیروی مقاومت اصطکاک در حال سکون نسبت به روش‌های دیگر، وجود دارد. اختلاف معنی داری در مقاومت اصطکاک بین حلقه‌های لاستیکی که به صورت متداول بکار روند و بستن با سیم استینلس استیل وجود ندارد. سیم‌های با پوشش تفلون در هر دو شرایط آزمون، کمترین نیروی اصطکاک در حال سکون را، نشان دادند. این یافته‌ها تایید کننده نتایج spiller (۷۳) و همکارانش است.

Bazakidou اخلاقی بین حلقه‌های لاستیکی و سیم استینلس استیل پیدا نکرد. ولیکن در استفاده از سیم ligture از قبل فرم داده شده با پلایر مخصوص بستن (twist - mate plier) اختلافی معادل  $2/5$  برابر بیشتر از بستن با کش لاستیکی (elastomeric) پیدا نمود.

**Table 12-8 . Effect of Second-Order Deflections on Friction. Mean and Standard Deviation Values for Friction for Three Cast Stainless Steel Brackets (A-018, American Friction Free; G-018, GAC Shoulder; O-018, Ormco Mini Diamond), Three Sintered Stainless Steel Brackets (R-S-018, RMO Mini-Taurus; RS-S-018, RMO Mini-Taurus Synergy; U-S-018, Unitek Mini Twin), and One Combination Bracket with a Modified Edgewise Slot (TP-022) TP Tip-Edge) for the 0.022 Inch Slot Size Are Provided for Six Deflections Between 0 and 1.0 mm.**

Deflection	Wire Shape and Size	0.022 × 0.028 Inch Brackets													
		Means and Standard Deviations (g)						Sintered Edgewise						Combination	
		Cast Edgewise		G-022		O-022		R-S-022		RS-S-022		U-S-022		TP-022	Mean
0.00 mm	0.016	89.0*	8.1	95.0	13.9	481.0	44.2	463.5	53.5	0.0*	0.0	384.5	29.9	292.5	19.2
	16 × 22	174.5	13.2	188.0	16.4	732.5	25.6	680.0	51.3	0.0	0.0	646.5	87.5	574.5	29.0
	17 × 25	192.5	12.3	205.0	15.8	747.5	25.6	645.0	30.4	0.0	0.0	705.5	20.5	732.0	58.9
	0.018	106.5	9.1	132.0	25.8	549.0	51.3	361.5	42.4	0.0*	0.0	436.5	16.2	362.0	37.3
	18 × 25	246.0	28.2	239.0	13.6	821.0	30.0	700.0	76.6	0.0	0.0	803.0	49.1	612.5	24.5
	19 × 26	257.5	37.2	246.0	16.0	1,060.0	80.3	848.5	40.6	0.0	0.0	908.5	95.0	737.5	35.1
0.25 mm	0.016	91.0*	7.7	117.5	17.4	529.0	46.9	487.0	58.7	0.0*	0.0	430.0	31.6	326.5	26.5
	16 × 22	195.0	13.1	282.5	10.1	842.0	35.3	734.0	48.9	6.5	4.1	714.5	57.6	607.0	18.0
	17 × 25	213.0	7.5	441.5	27.6	868.0	31.7	733.0	40.6	11.0	5.7	808.0	39.2	761.5	49.4
	0.018	117.5	9.2	177.5	28.5	605.0	49.6	408.5	40.6	1.5*	3.4	498.5	17.8	442.0	69.8
	18 × 25	266.5	28.2	515.0	10.0	1,131.0	94.4	852.0	122.7	12.0	5.9	895.0	69.5	814.5	24.9
	19 × 26	356.0	58.6	592.5	25.0	1,830.0	36.1	1,044.0	55.6	30.5	18.2	993.5	97.3	799.5	29.9
0.50 mm	0.016	113.5	6.7	247.5	14.2	655.0	52.3	550.0	64.8	29.0	12.4	384.5	27.8	383.0	25.4
	16 × 22	291.0	23.5	653.0	22.0	1,355.0	45.3	905.0	44.0	151.5	24.8	1,061.5	99.4	657.0	23.6
	17 × 25	409.0	11.0	1,017.5	55.8	1,468.0	45.0	1,032.0	68.2	254.5	28.9	1,063.0	75.2	806.5	21.2
	0.018	185.0	9.1	403.0	23.9	830.5	64.4	596.5	23.7	97.5	8.2	620.5	33.0	480.5	54.7
	18 × 25	589.0	56.4	1,221.5	32.1	1,616.0	121.3	1,621.5	272.1	234.0	21.1	1,136.5	80.4	1,009.5	73.4
	19 × 26	997.0	183.8	1,380.5	73.2	2,499.5	54.4	1,889.0	136.0	373.0	62.7	1,432.0	104.2	1,055.0	59.1
0.75 mm	0.016	236.5	14.2	398.5	18.3	824.5	58.0	713.5	79.1	110.5	23.7	734.0	36.5	450.0	34.8
	16 × 22	786.0	86.0	1,190.0	48.0	1,934.0	74.1	1,336.0	87.5	459.0	41.6	1,280.0	78.3	857.5	29.8
	17 × 25	1,067.5	54.0	1,929.0	60.7	1,990.5	89.2	1,609.0	98.3	755.5	32.3	1,546.0	160.2	962.0	43.1
	0.018	475.0	16.3	710.5	29.4	1,081.5	87.2	873.0	58.9	313.5	53.8	787.0	35.3	527.0	45.8
	18 × 25	1,383.0	50.5	2,224.5	75.9	2,741.0	182.6	2,532.4	468.9	866.0	51.2	1,815.5	190.9	1,276.0	77.3
	19 × 26	1,600.5	117.5	3,051.5	64.9	3,468.5	61.7	2,680.0	224.0	1,217.5	146.9	2,247.0	171.3	1,514.0	138.3
1.00 mm	0.016	442.0	10.3	590.5	18.9	975.5	67.9	869.0	85.2	241.5	24.3	858.0	40.9	471.5	31.2
	16 × 22	1,534.0	117.9	1,728.0	69.3	2,524.5	69.5	1,854.0	120.9	1,027.0	116.7	1,973.5	72.5	1,031.5	50.1
	17 × 25	1,831.5	94.8	2,629.0	74.8	2,797.5	185.7	2,229.5	128.4	1,486.0	109.5	2,295.0	196.8	1,104.0	64.5
	0.018	776.5	23.6	972.5	36.2	1,299.0	89.1	1,091.5	38.0	632.5	74.5	1,060.5	36.5	584.0	48.2
	18 × 25	2,065.0	82.9	4,377.0	59.0	3,668.5	125.5	3,249.5	679.7	1,658.5	175.3	2,587.0	262.6	1,434.0	69.4
	19 × 26	2,694.0	192.6	5,488.5	50.3	5,907.5	56.1	3,408.0	263.7	2,171.5	259.3	3,107.5	193.9	1,981.5	53.4

\*Indicates that there was not a significant difference ( $p < 0.05$ ) between the means of this specific bracket-wire combination across 0.00 and 0.25 mm of second-order deflection. All other interactions were significant at  $p < 0.05$ .

جدول ۱۲-۸ : اثرات خم از نوع دوم بر روی اصطکاک در این جدول مشاهده می‌شود. مقادیر متوسط و انحراف میار نیروی اصطکاک در ۳ برآکت استینلس استیل با روش ریخته‌گری casting و ۳ نوع برآکت استینلس استیل با روش

ریخته‌گری پودری sintering و یک نوع برآکت ترکیبی با شیار اصلاح شده در سیستم edgewise با شیار ۰/۰۲۲ با وجود ۶ خم بین ۰ تا ۱ میلیمتر در این جدول مورد ملاحظه قرار می‌گیرد. علامت \* نشان می‌دهد که اختلاف معنی داری (P < ۰/۰۵) بین مقادیر متوسط این مجموعه وایر و برآکت با وجود خم از نوع دوم به مقدار ۰ تا ۰/۲۵ میلیمتری، وجود ندارد. در تمام نمونه‌های دیگر اختلاف معنی داری (P < ۰/۰۵) وجود دارد.

### محدود شدن نیروی بستن بر اساس طرح برآکت

برای محدود کردن نیروی بستن روی وایر، سه نوع برآکت ساخت شرکتهای آمریکایی معرفی گردیدند. مقدار نیروی اصطکاک در این برآکتها با فاصله ۰ تا ۰/۲۵ میلیمتر از خم نوع دوم نسبت به برآکتهایی که به طور متداول بسته می‌شوند، کمتر است (۴۱). برای مثال برآکت با مارک تجاری synergy شامل ۶ بال (winy) میباشد به صورتی که ۳ بال در هر طرف شیار قرار دارد. بالهای طرفی، برای تصحیح چرخش دندانها، ممکن است بکار روند، ولی بالهای مرکزی در خلال تکنیک لغزشی برای کاهش نیروی بستن، استفاده می‌شوند. مضافاً طرح‌های دیگری مثل برآمدگی در دیواره‌ها و کف برآکت باعث کاهش تماس وایر در سطوح مزیال و دیستال برآکت شده که کمک به کاهش اصطکاک می‌نماید.

### برآکتهایی که عمل بستن وایر در آنها به طور خودکار انجام می‌شود

عمل بستن وایر در این برآکتها توسط یک گیره فنری انعطاف پذیر انجام می‌شود. توانایی کاهش اصطکاک و زمان ویزیت در این برآکتها، از موقعی که اولین برآکتهایی خودکار مثل Russell lock (۷۵, ۷۶) مورد استفاده واقع گردید، گزارش شده است. مقایسه بین برآکتهای speed و برآکتهای استینلس استیل نشان می‌دهد که اصطکاک در برآکتهای که به طور خودکار بسته می‌شوند ۱۲٪ تا ۲۳٪ برآکتهای استینلس استیل می‌باشد (۳۹). این ارقام بدون توجه به شکل وایر و تکنیک بستن محاسبه شده است و می‌تواند باعث این ادعا شود که درمان با تکنیک speed سریعتر انجام می‌شود (۷۶). Berger و shirapuja (۴۰) به این نتیجه رسیدند که در ۳ نوع برآکت خودکار، مقادیر اصطکاک به میزان قابل توجهی نسبت به برآکتهای چینی یا فلزی که توسط کش لاستیکی یا سیم فلزی بسته می‌شود، کمتر است.

### اثر بzac در میزان اصطکاک حرکتی

bzac یا ماده زمینه‌ای بzac به عنوان یک روان کننده بسیار خوب در حرکت لغزشی برآکت روی وایر مطرح میباشد. Baker (۴۵) و همکاران با استفاده از بzac مصنوعی ۱۵٪ تا ۱۹٪ کاهش اصطکاک را، نشان دادند. kusy (۵۶) و همکاران عنوان نمودند که بzac بسته به نوع مجموعه برآکت وایر، می‌تواند به عنوان ماده روان کننده و یا چسبنده عمل نماید. وایر استینلس استیل خصوصیات چسباننده‌ای با بzac دارد که باعث افزایش ضریب اصطکاک در شرایط مرطوب می‌گردد. از سوی دیگر ضریب اصطکاک حرکتی برای وایر بتاتیتانیوم در محیط مرطوب ۵٪ ضریب اصطکاک در محیط خشک می‌باشد. لغزش در برآکتهای استینلس استیل باعث می‌گردد که لایه غنی اکسید تایتانیوم در وایر بتاتیتانیوم خورده شود و واکنش چسبندگی و جدا شدگی ایجاد شود که منجر به پدیده لغزش و چسبندگی خورده‌ها (stick - slip) می‌گردد. با برآکتهای چینی، شیار زبر برآکت باعث برداشته شدن لایه نرم وایر می‌شود. در نتیجه این فرضیه عنوان گردید که بzac ممکن است مانع تماس دو سطح جامد شود. بنابراین در بیماران بالغ، کاهش ترشح بzac بعد از رادیوتراپی، یا استفاده از داروهای آنتی کولینرژیک به عنوان فاکتورهایی در تغییر مقدار نیروی لازم برای حرکت دندانها، باید در مد نظر قرار داده شود.

### اهمیت کلینیکی اصطکاک

اهمیت مقدار اصطکاک در درمان با تکنیک لغزشی، مورد توجه است. در بهترین ترکیب براکت و وایر، حداقل ۴۰ گرم نیروی اصطکاک در شروع حرکت باید در مد نظر قرار گیرد. مقدار زیاد اصطکاک بین وایر و براکت ممکن است باعث خمیدگی وایر گردد. و همراه با حرکت کم یا بدون حرکت دندان باشد. علاوه خمیدگی وایر در دندانهای قدامی در حین عقب بردن این دندانها ممکن است باعث ایجاد اثرات خیمه شکل (tent pegging) شده که بجای عقب بردن دندانهای قدامی، باعث حرکت در دندانهای خلفی شده که منجر به از دست دادن تکیه گاه می‌گردد. وضعیت ایده آل این است که اصطکاکی بین وایر و براکت نباشد، ولی چون نبودن اصطکاک در مکانیک لغزشی امکان پذیر نیست، متخصص ارتودونسی باید از مقدار اصطکاک در دستگاه ارتودونسی آگاه باشد در نتیجه مقدار اصطکاک باید در مد نظر قرار گیرد.

نکات متعددی در مورد اهمیت اصطکاک مشخص شده است. برای کاهش مقدار اصطکاک بین شیار براکت و وایر طرحها و تکنیکهای جدید ساخت براکت بوجود آمده است. براکتی که نیروی بستن را، محدود می‌کند، باعث کاهش اصطکاک می‌گردد. از انجائیکه براکتهای ریخته گری پودری (sintering) اصطکاک را، در حدود ۴۰٪ کاهش میدهد، بنابراین ساختن براکت با این فرآیند بسیار مطلوب است. برای متخصص ارتودونسی که از براکت همنگ دندان مثل براکتهای چینی یا پلاستیکی استفاده می‌کند، دانستن مقدار اصطکاک قبل از شروع درمان بسیار مهم است. انتخاب شکل و قطر وایر به متخصص ارتودونسی کمک می‌کند که میزان اصطکاک را، محاسبه نماید. وایر با قطر کم مثل استینلس استیل ۱۶/۰ به عنوان بهترین انتخاب از نظر حداقل اصطکاک برای مرحله leveling و عقب بردن دندانها به حساب می‌آید، در صورتیکه کنترل Torque مورد نظر باشد استفاده از وایر چهارگوش مثل ۲۲/۰ × ۱۶/۰ در شیار ۱۸/۰ یا وایر ۲۵/۰ × ۱۹/۰ در شیار ۲۲/۰ به عنوان یک انتخاب مناسب به حساب می‌آید. افزودن Torque یا خم از نوع سوم برای دندانهای خلفی به حفظ تکیه گاه در این دندانها بسیار کمک می‌نماید. هم چنین می‌توان قطر وایر در دیستال کانین را، کاهش داد تا حرکت را، ساده‌تر نماید. ضمناً توجه نمود که کاهش بیش از حد قطر وایر میتواند استحکام وایر را، کاهش دهد.

کامل کردن مرحله leveling در کاهش اصطکاک در حرکتهای دندان بسیار مهم است. ایجاد خم از نوع دوم در فاصله‌های بین براکتی با میزان ۵/۰ میلیمتر بین براکتهای میتواند اصطکاک را به مقدار قابل توجهی افزایش دهد. اگر حرکت دندانها به سمت عقب توسط وایر چهارگوش انجام شود، بهتر است کنترل Torque یا حرکت از نوع سوم در مرحله اول صورت گیرد و سپس با استفاده از وایر چهارگوش با قطر کمتر حرکت لغزشی شروع گردد. کنترل Torque مانع درگیری و خم در داخل شیار براکت شده و باعث تسهیل حرکت می‌گردد.

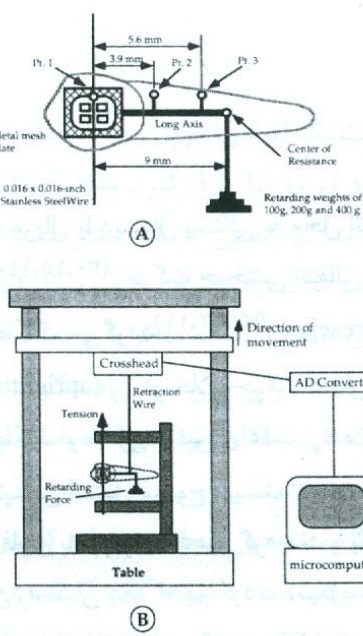
آلیاژهای جدید وایر مثل نیکل تایتانیوم، بتاتایتانیوم اصطکاک بیشتری نسبت به وایرهای متداول مثل استینلس استیل، کروم کبالت ایجاد می‌کنند. وایر بتاتایتانیوم باعث ایجاد نقاط چسبنده کوچک (microweld) بین وایر و شیار براکت می‌شود که منجر به درگیری بین وایر و براکت می‌گردد. با پیشرفت‌های اخیر متالوژی در طراحی و ساخت و بهبود وضعیت دستگاههای ارتودونسی، کنترل تکنیک توسط متخصص ارتودونسی بهتر انجام می‌گیرد.

## نیروی موثر در عقب بردن دندانها

### تأثیر محل اعمال نیرو

حرکت چرخشی انتقالی برآکت به سمت مزیال یا دیستال بستگی به محل اثر نیرو نسبت به مرکز مقاومت مکانیکی و مرکز مقاومت بیولوژیکی دندانها دارد<sup>(۳۰، ۱۵، ۸، ۷)</sup>. حرکت چرخشی انتقالی باعث ایجاد فشار در محل تماس وایر و برآکت شده که منجر به افزایش مقاومت اصطکاک می‌گردد<sup>(۷۷، ۳۲، ۱۱)</sup>. Drescher<sup>(۷۷)</sup> کاهش مقاومت اصطکاک با استفاده از فنرهای راست کننده (uprighting spring) را، در خلال حرکت دندان روی وایر، مشاهده نمود. Yamaguchi<sup>(۷۸)</sup> و همکاران رابطه بین مقدار نیروی اصطکاک و محل اثر نیروی عقب برنده را، در حرکت لغزشی برآکتها روی وایر، بررسی نمودند. در این مطالعه برآکتهای استینلس استیل مزدوج سیستم edgewise از نوع پهنه، متوسط و باریک با شیار ۰/۱۸ روی مرکز یک صفحه مشبک فلزی باند شونده، لحیم گردیدند و یک سیم با ضخامت ۰/۰۴۷۴ اینچ روی صفحه مشبک به طوریکه محور طولی دندان را، نشان دهد لحیم گردید (شکل ۱۲-۷ A). سه عدد قلاب که بتوان، از آنها برای عقب بردن برآکت استفاده کرد به این مجموعه، لحیم گردید. قلاب شماره ۱ به صفحه مشبک عمود بر محور طولی در امتداد شیار برآکت لحیم گردید. قلاب شماره ۲ در محدوده ۳/۹ میلیمتری و قلاب شماره سه در محدوده ۵/۶ میلیمتری از مرکز برآکت در امتداد محور طولی دندان، لحیم گردید. قلاب دیگر به منظور جایگزینی مرکز مقاومت تقریبی روی محور طولی در ۹ میلیمتری از مرکز برآکت لحیم شد. فواصل موجود در این قلابها، به منظور تعیین مرکز مقاومت در خلال عقب بردن کانین روی مدلهای دندانی از مطالعات قبلی، به دست آمده است. به قلابی که در موقعیت آویزان گردید. وایر استینلس استیل ۰/۰۱۶ × ۰/۰۱۶ سه میلیمتر در موقعیت عمودی بین دو بازوی نگه دارنده دستگاه با کشش ۲ کیلوگرم قرار داده شد (شکل ۱۲-۷). برآکت به وایر توسط کش لاستیکی بسته شد و وایر عقب برنده (با قطر ۰/۰۲۵۷ اینچ)، از یک سمت به دستگاه و از سمت دیگر به قلاب retraction متصل شده محور طولی وایری که عمود بر صفحه مشبک است، باید عمود بر وایری باشد که کل سیستم را، عقب می‌برد. اثرات سه متغیر در حین حرکت به سمت عقب مطالعه گردید:

- ۱- اعمال نیرو روی قلاب شماره یک، دو و سه
  - ۲- ارزیابی نیروی مقاوم ۱۰۰ گرم، ۲۰۰ گرم، ۴۰۰ گرم در مرکز مقاومت
  - ۳- بررسی عرض برآکت مزدوج، بصورت پهن، متوسط و باریک
- وایری که قرار است حرکت نماید. (retraction wire) روی دستگاه Instron ثابت گردید. دستگاه با سرعت ۰/۰۱ میلیمتر در ثانیه به فاصله ۲ میلیمتر حرکت می‌نماید و نتایج حاصله از دستگاه روی گرافهایی ثبت می‌گردد. در تمام برآکتها، نیروی لازم برای حرکت در نقطه ۱ و ۲ با افزایش نیروی مقاوم، زیاد گردید (شکل ۸). این امر بدین علت است که افزایش نیروی مقاوم در حد ۴۰۰ گرم باعث می‌گردد، وایری که به موازات محور طولی قرار گرفته است به طرف پایین خم شده و منجر به افزایش فشار در نقطه تماس بین وایر و برآکت می‌گردد. بنابراین نیروی فعال باید برای مقابله با نیروی مقاوم افزایش یابد. این نتایج، توسط Tidy<sup>(۳۰)</sup> و همکارانش مورد تایید واقع شدند. از سوی دیگر، وقتی نیروی فعال در قلاب شماره ۳ نزدیک به آپکس باشد، این نیرو کاهش می‌یابد. با وزنه معادل ۱۰۰ گرم، میله توسط نیروی فعال در قلاب ۳ به بالا خم می‌گردد و باعث افزایش مقاومت در نقاط تماس بین وایر و برآکت می‌شود. با وزنه معادل ۴۰۰ گرم محور طولی، افقی می‌ماند که باعث فشار کمتر در محل تماس برآکت و وایر می‌گردد و منجر به کمتر شدن نیروی فعال می‌شود.



شکل ۱۲-۷: مدل آزمایشی به منظور بررسی رابطه بین میزان نیروی فعال، و مقاومت اصطکاک، در مقابل حرکت دندان در نقاط مختلف اعمال نیرو در این شکل مشاهده می‌شود. در تصویر A، سه نوع قلاب به واپری که به موازات محور طولی دندان است، لحیم شده است و وزنهای ۱۰۰ گرم، ۲۰۰ گرم و ۴۰۰ گرم بر روی مرکز مقاومت دندان قرار داده شده‌اند. در تصویر B، براکت در هر سه قلاب در امتداد استینلس استیل  $0.016 \times 0.016$  اینچ حرکت داده می‌شود. این واپر توسط دو بازوی دستگاه، با عمال نیروی دو کیلوگرم کشیده می‌شود.

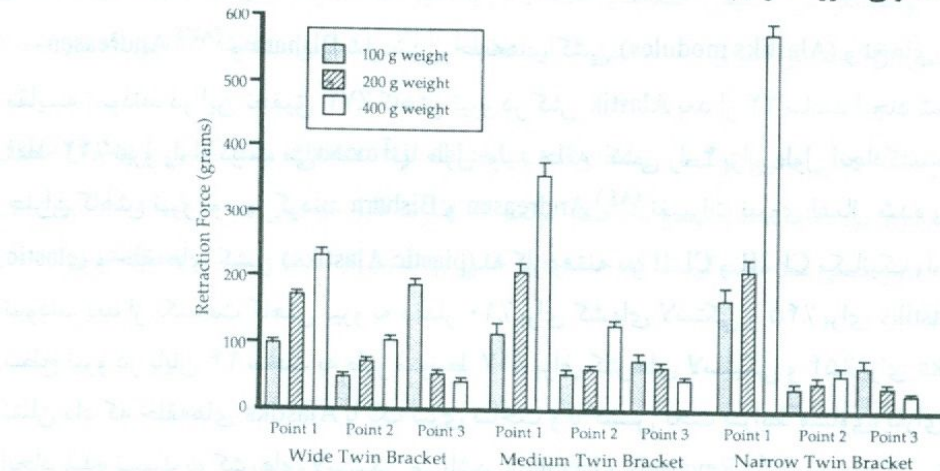
عرض براکت نقش مهمی در مقدار نیروی فعال دارد. در این مطالعه براکت مزدوج با عرض کم، نیاز به نیروی فعال بیشتری در نقطه ۱ با وزنه ۲۰۰ گرم و ۴۰۰ گرم دارد. با این ترکیب، محور طولی به سمت پایین tip می‌شود که منجر به افزایش فشار بین براکت و واپر می‌گردد. این یافته‌ها مشابه با یافته‌های Kamiyama (۷۹) و همکارانش است. بدین ترتیب فشار اعمال شده در محل تماس بین براکت و واپر به عنوان یک فاکتور مهم در ایجاد نیروی اصطکاک در حرکت لغزشی دندان می‌باشد. میزان نیروی مقاوم بستگی به تکنیک بستن، قطر واپر، عرض براکت دارد. در این مطالعه، وزنهای به عنوان نیروی مقاوم در مقابل حرکت دندانها به کار می‌روند، در حین درمان نیروی مقاوم ثابت نمی‌باشد و در طی حرکت دندان افزایش می‌یابد. بنابراین متخصص ارتودنسی باید به انعطاف پذیری، و چسبندگی الیاف پریومنتال و استخوان آلوئول توجه نماید (۸۱، ۸۰). محل اثر نیرو به عنوان عامل دیگری در تکنیکهای لغزشی باید مورد توجه قرار گیرد. به عبارت دیگر هر چه اثر نیروی فعال دورتر از مرکز مقاومت اعمال شود. گشتاور بیشتر می‌شود، حرکت چرخشی انتقالی و خم در واپر افزایش می‌یابد بدین ترتیب، قلابهایی با طولهای متفاوت روی براکتهای کانین تولید گردیدند و به نام بازوی قدرت (power arm) معروف است که باعث کاهش گشتاور چرخشی می‌گردد (شکل ۱۲-۹).

### روشهای اعمال نیرو

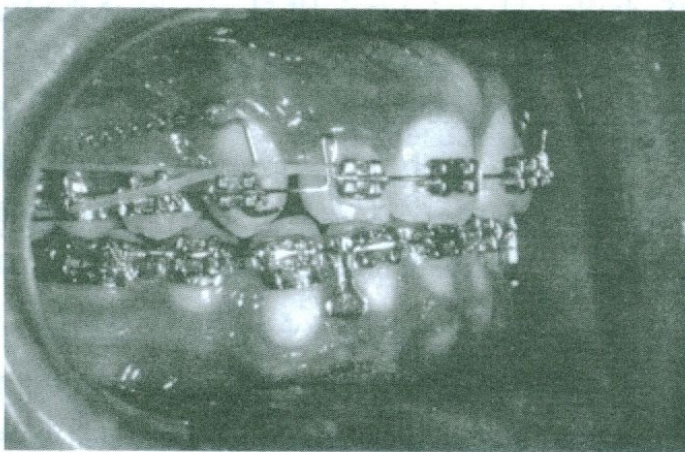
### کشها و حلقه‌های کشی

کشها و نخهای کشی با نایلون پوشش داده شده، حلقه‌های کشی و حلقه‌های لاستیکی در ارتودنسی به منظور اعمال نیرو برای عقب بردن کانین، بستن فضا، درمان چرخش و حرکت دندانها در یک فک به کار می‌روند. کش‌های

بین فکی که از دیستال مولرهای اول فک پایین تامزیال کانین فک بالا واقع می‌شوند، ایجاد مولفه افقی به میزان ۹۶٪ و مولفه عمودی به مقدار ۲۷٪ می‌نماید، به عبارتی دیگر اگر یک کش طوری کشیده شود که مقدار ۱۰۰ گرم نیرو روی دندان کانین بالا ایجاد کند. نیروی دیستالی در حدود ۹۶ گرم است. در وضعیتی که ۴ پره مولر در آورده و فضای بسته شده است کش Cl II کمتر کشیده می‌شود که در اینحالت مولفه افقی ۹۳٪ است ولی مولفه عمودی به مقدار ۳۷٪ افزایش می‌یابد. به عبارت دیگر، وقتی کش Cl II برای فاصله بیشتری مثلاً از دیستال مولر دوم فک پایین تا مزیال افزایش می‌یابد. کشیده شود دارای مولفه افقی ۹۸٪ و مولفه عمودی ۲۰٪ می‌باشد. بنابراین برای به دست آوردن مولفه کانین فک بالا کشیده شود در کش و ایجاد مولفه عمودی کمتر، کش باید در فاصله بیشتری اعمال گردد. تمام این اصول در رابطه با افقی بیشتر در کش و ایجاد مولفه عمودی کمتر، کش باید در فاصله بیشتری اعمال گردد. تمام این اصول در رابطه با Cl III مکانیک نیز صادق است ولی نیروها در جهت مخالف است.



شکل ۱۲-۸: اثر اعمال نیرو در نقاط ۱ و ۲ و ۳ و اثر نیروی مقاوم ۱۰۰ گرم و ۲۰۰ گرم بر روی نیروی فعال در این شکل مشاهده می‌شود. نیروی فعال در نقاط ۱ و ۲ با افزایش نیروی مقاوم زیاد می‌شود ولیکن نیروی فعال در ناحیه ۳ با افزایش نیروی مقاوم کاهش می‌یابد.



شکل ۱۲-۹: بازوی قدرت (power arm) بر روی براکت کانین باعث می‌گردد که نیرو نزدیک به مرکز مقاومت دندان اعمال گردد و بدین ترتیب گشتاور چرخشی، و خم و ایبر در براکت، به حداقل می‌رسد.

حلقه‌های کشی از لاستیک مصنوعی ساخته می‌شوند و قابلیت تغییر شکل لاستیک زیاد، در اثر تاشدن، دارد. وقتی آنها کشیده می‌شوند در یک خط بدون خم قرار می‌گیرند. قرار گرفتن آنها در گاز ازن یا اشعه مأواه بنفس باعث شکسته شدن اتصالات مولکولهای غیر اشباع شده و منجر به کاهش استحکام کششی و انعطاف پذیری می‌گردد. بنابراین برای کم شدن این عوارض، مواد ضد اکسید کننده و ضد گاز ازن به این مواد اضافه می‌کنند. کشها در حفره

دهان آب و بزاق را جذب می‌کنند و باعث شکسته شدن اتصالات داخلی شده و تغییر شکل دائمی ماده می‌کرند بعلاوه حباب موجود، در ساختار لاستیکی کشها توسط بزاق و خوردهای میکروبی، متورم و رنگ پذیر می‌گردند. این عوامل باعث کاهش نیروی اعمال شده روی دندان می‌گردد. برای کاهش این عوارض جانبی، متخصصین ارتودونسی تعویض دو بارکش در روز را، به بیماران توصیه می‌کنند. اما این عمل به همکاری بیمار بستگی دارد. حلقه‌های کشی به علت اینکه تحت کنترل متخصصین ارتودونسی می‌باشد، بیشتر مورد استفاده قرار می‌گیرند. تمام حلقه‌های کشی نیروی خود را زود از دست می‌دهند.

### کاهش نیرو در کش‌ها و حلقه‌های لاستیکی

Andreasen (۸۳) و Bishara (۸۴) شل شدن حلقه‌های کشی (Alastiks modules) و نخهای کشی (latex elastics)، مقایسه نمودند. در این تحقیق ۷۴٪ کاهش نیرو در کش Alastik بعد از ۲۴ ساعت ایجاد شد در حالیکه نخهای کشی فقط ۴۲٪ نیرو را، از دست می‌دهند. آنها طول اولیه حلقة کشی را، ۴ برابر طول ایجاد کننده نیروی مطلوب به منظور جبران کاهش نیرو توصیه کردند. Andreasen و Bishara (۸۴) تغییرات نیروی اعمال شده با کش لاستیکی rubber و حلقه‌های کشی (piastic Alastiks) به کار رفته در II و III مکانیک را، در طی ۳ هفته، مشاهده نمودند. بعد از یک ساعت کاهش نیرو به مقدار ۱۰٪ برای کشهای لاستیکی و ۴۵٪ برای Alastiks گزارش گردید. تنزل سطح نیرو در پایان ۲۴ ساعت به طور متوسط ۱۷٪ برای کش‌های لاستیکی و ۵۴٪ برای Alastiks می‌باشد. این مطالعه نشان داد که حلقه‌های Alastiks با یک سری ساخت و با کشش تحت شرایط مساوی، دارای اختلاف زیادی در نیروی ایجاد شده نسبت به کش‌های لاستیکی می‌باشد. Hershey و Reynolds (۸۵) سه نوع کش تجاری را، مقایسه کردند و ۶۰٪ کاهش نیرو را، بعد از ۴ هفته مشاهده نمودند و گزارش گردند که ۵۰٪ کاهش نیرو بعد از پایان روز اول دیده می‌شود. Wong (۸۶) کاهش ۵۰٪ تا ۷۵٪ نیرو بعد از ۲۴ ساعت اول را، هنگامی که حلقه‌ها در آب ۳۷°C نگه داری شد، گزارش کرد. او همینطور تغییرات قابل توجه در نیروی اولیه حلقه‌های کشی از تولید کنندگان مختلف را، ملاحظه کرد. Sandrik و Young (۸۷) کشش حلقه‌های پلاستیکی در اعمال و عدم وجود نیرو را، مطالعه کرد. وقتی که نیروی کش قطع گردید، حلقه به طول اولیه برنگشت و یک تغییر دائم در آن دیده شد. اختلاف بین منحنی اعمال و عدم اعمال نیرو قابل توجه است و hysteresis نام دارد.

حلقه‌های لاستیکی که در شرایط محیط دهان کشیده و نگهداری شده باشند، نسبت به شرایط نگهداری در هوای آزاد کاهش نیروی بیشتری، نشان می‌دهند (۷۰). Kuster (۸۷) و همکارانش متوجه شدند که، نگهداری حلقه‌های کشی در هوای با طول ۱۱۵٪ تا ۸۲٪ نسبت به طول اولیه آنها، باعث می‌شود که ۷۰٪ تا ۷۵٪ نیروی اولیه آنها برای ۴ هفته باقی بماند، ولی حلقه‌های کشی در محیط دهان وقتی به میزان ۱۰۰٪ کش یابند مقدار ۴۳٪ تا ۵۲٪ نیروی اولیه آنها باقی می‌ماند. Liu و همکارانش با اعمال نیروی اولیه بیشتر و با غوطه‌ور کردن کش‌ها در آب ۳۷ درجه، کاهش نیروی باقی می‌ماند. بعد از ۳ هفته در صد نیروی باقی مانده بین ۴۹٪ تا ۳۵٪ برای حلقه‌های کشی نوع RMO با طول ۴۰ میلیمتر (طول متوسط) و ۴۳٪ برای نوع American شفاف (طول کوتاه) و ۳۵٪ برای American خاکستری (طول کوتاه) دیده می‌شود. آنزیم‌های بزاق، جویدن، بهداشت دهان و حرارت میتواند بر روی نسبت کاهش نیرو در حفره دهان اثر نماید. Ferriter (۸۹) و همکارانش اثر pH پلاک (۴/۹۵) و pH بزاق (۷/۲۶) را، بر روی حلقه‌های کشی، مورد بررسی قرار دادند و ملاحظه کردند حلقه‌های کشی که قابلیت انحلال بیشتری دارند، کاهش نیروی بیشتری در ۴ هفته نشان می‌دهند.

به طور کلی رشته‌های کوتاه حلقه‌های کشی نیروی اولیه بیشتری دارند و در صد بیشتری از نیرو را، نسبت به رشته‌های بزرگ‌تر، در خود نگه می‌دارند<sup>(۹۱,۹۰)</sup>. وقتی حلقه‌های کشی جدید رنگ آمیزی شده با حلقه‌های خاکستری استاندارد مقایسه شوند، نتایج حاکی است که رنگ بر روی نیروی اولیه، اثر کمی دارد<sup>(۹۳)</sup>.

<sup>(۹۴)</sup>، کشیدن کشها به میزان ۳ برابر طول اولیه آنها به منظور به دست آوردن نیروی مطلوب را، توصیه مینماید. به عبارت دیگر در رابطه با حلقه‌های کشی Hershey و Reynolds<sup>(۸۵)</sup> استفاده از دستگاه اندازه‌گیری نیرو، برای به دست آوردن نیروی مطلوب را، توصیه نمودند. افزایش طول حلقه‌های کشی به طور سریع، منجر به بالا رفتن مقدار نیروی اولیه نسبت به کشیدن ملایم آن می‌شود، اما باعث از دست دادن نیروی بیشتری در هفته اول می‌گردد<sup>(۹۵)</sup>. Kavotch<sup>(۹۶)</sup> و همکارانش کشیدن حلقه‌های پلاستیکی به طور آهسته را، برای کاهش شل شدگی توصیه می‌نمایند. کشیدن حلقه‌ها در هوای آزاد و قبل از استفاده از آن، در دهان، باعث کاهش کمتر نیرو می‌گردد<sup>(۸۶,۷۲)</sup>.

<sup>(۹۶)</sup> و همکارانش عقب بردن کائین توسط حلقه‌های کشی (elastomeric chain) و نخ کشی با پوشش نایلون (nylon - covered latex thread) را، مقایسه نمودند، و ملاحظه کردند که تفاوت قابل توجهی در حرکت دندان بین این دو ماده وجود ندارد. اینها به طور عملی ملاحظه کردند که حلقه‌های کشی بهداشتی‌تر است و نسبت به نخ کشی زمان کمتری در کلینیک نیاز دارد.

### فنر (coil spring)

فنر به عنوان جانشین برای محصولات لاستیکی قلمداد می‌شود. فنرها در سال ۱۹۳۱ در درمانهای ارتودنسی معروفی شدند. Arnold<sup>(۹۷)</sup> استفاده از فنر فشرده ساخته شده از واير ۰/۰۱۰ اینچ استینلس استیل به قطر فنر ۰/۰۴۰ اینچ را، توصیه نمودند. آنها مقدار فعال کردن فنر را، به مقدار ۲ تا ۳ میلیمتر تا ۶ هفته بعد، یا تا موقعی که فنر غیر فعال گردد، گزارش کردند. متغیرهایی که بر روی مقدار نیروی فنر، اثر می‌کند شامل آلیاژ، قطر واير، قطر فنر، زاویه خم فنر، طول فنر و مقدار فعال کردن فنر می‌باشد. Bell<sup>(۹۴)</sup> متوجه شد که با افزایش قطر فنر، نیروی کمتری برای جابجایی لازم است. و با قطر بیشتر واير، نیروی بیشتری برای جابجایی مورد نیاز است. او بیان نمود، وقتی که بیشترین قطر در واير و کمترین قطر در فنر وجود داشته باشد، مقدار نیروی بیشتری اعمال می‌گردد. و باید از ایجاد اصطکاک بین فنر و واير اصلی جلوگیری شود. فنر با قطر بیشتر و قطر واير کوچک‌تر به علت ثبات و پایداری بیشتر نیرو، در ارتودنسی به کار برده می‌شود<sup>(۹۹,۹۸)</sup>.

<sup>(۱۰۰)</sup> و همکارانش میزان load-deflection در طول ۱۰ میلیمتر از انواع مختلف فنرهای باز و بسته ساخته شده از Hit استینلس استیل و کروم کبالت (Elgiloy) را، مقایسه کردند. آنها متوجه شدند که قطر واير و سپس زاویه خم واير روی فنریت واير موثر است. قطر فنر (۰/۰۳۰ یا ۰/۰۳۲ اینچ) اثر کمتری روی فنریت دارد. زاویه خم فنر از نوع باز Hit نسبت به فنری که از کبالت کروم ساخته شده است ۷/۵ درجه بیشتر است. با افزایش زاویه خم، تعداد حلقه‌ها در واحد سطح کاهش می‌یابد. با تعداد حلقه‌های کمتر بین حلقه‌ها فضای بیشتری وجود دارد، بنابراین میزان فعالیتی که می‌تواند اعمال شود، بیشتر خواهد بود. ترکیب آلیاژ نشان میدهد که میزان load - deflection<sup>(stiffness)</sup> Elgiloy به طور متوسط ۰.۵٪ بیشتر از Hit است. اگر Elgiloy تحت عمل حرارتی واقع شود، میزان سفتی<sup>(softness)</sup> به ۱۳٪ افزایش می‌یابد.

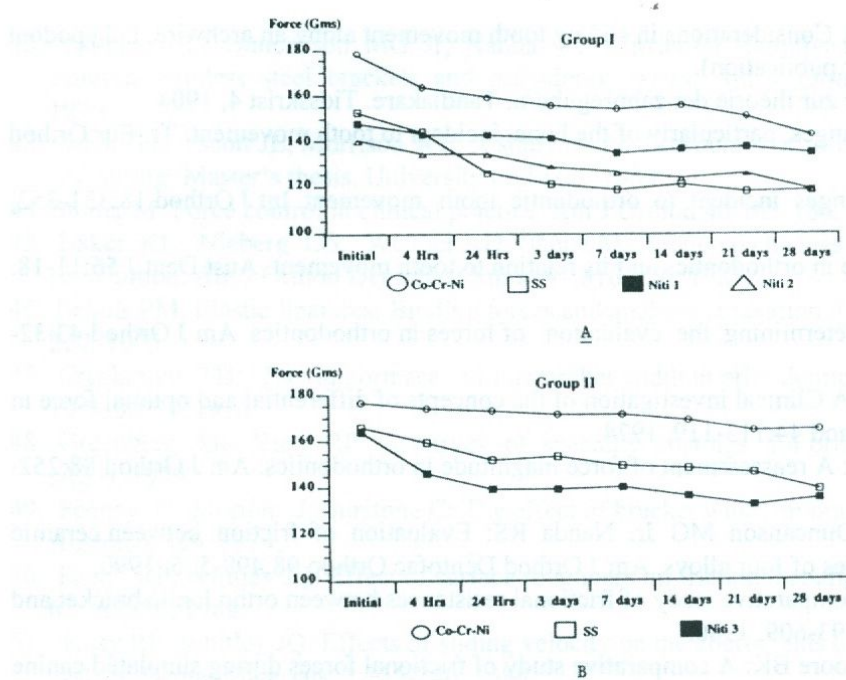
ورود وايرهای نیکل تایتانیوم ژاپنی منجر به ساخت فنرهای نیکل تایتانیوم گردید. Miura<sup>(۱۰۱)</sup> و همکارانش اختلاف بین فنر نیکل تایتانیوم باز و بسته ساخت ژاپن و فنر استینلس استیل را، مطالعه کردند. فنرهای بسته

استینلس استیل یک رابطه خطی بین load و deflection را، نشان می‌دهند. فنرهای نیکل تایتانیوم خصوصیات انعطاف پذیری بالایی همراه با ثبات نیرو در یک محدوده وسیع از تغییر فرم را، نشان می‌دهند. Miura و همکارانش متوجه شدند که فنر باز، نیروی نسبتاً ثابت‌تری در محدوده انتهای الاستیک نسبت به فنر بسته نشان می‌دهد. بدین ترتیب فنر باز نیروی مطلوب مداوم‌تری نسبت به فنر بسته تولید می‌کند.

در سال ۱۹۹۲ (۱۰۲) Angolkar و همکارانش کاهش نیرو در فنر بسته استینلس استیل، کروم کبالت و نیکل تایتانیوم وقتی در بzac ۳۷ درجه سانتی گراد و در فاصله‌ای که بتواند نیروی اولیه به میزان ۱۵۰ تا ۱۶۰ گرم تولید کند را، بررسی نمودند. آنها نمونه‌ها را، به ۲ گروه تقسیم کردند در گروه اول ۴ فنر (استینلس استیل، کروم کبالت، ۲ نوع مختلف فنر نیکل تایتانیوم) با طول ۱۲ میلیمتر و قطر  $0.030 \times 0.010$  اینچ قرار دارد. گروه دوم دارای ۳ نوع فنر (یکی استینلس استیل دیگری کروم کبالت و دیگری نیکل تایتانیوم) با طول ۶ میلیمتر و قطر  $0.036 \times 0.010$  اینچ میباشد کاهش نیروی فنرهای هر دو گروه در طی زمان مشاهده گردید، و حداقل کاهش نیرو در ۲۴ ساعت اول برای بیشتر فنرها اتفاق افتاد (شکل ۱۰-۱). در فنری که قطر  $0.030$  اینچ دارد، نسبت کاهش نیرو بعد از ۲۴ ساعت  $17\%$  برای استینلس استیل،  $10\%$  برای کروم کبالت،  $3\%$  برای نیکل تایتانیوم بود. کاهش نیرو در ۲۴ ساعت اول برای فنرهای با قطر  $0.036$  اینچ حدود  $8\%$  برای استینلس استیل و  $2\%$  برای کروم کبالت و  $15\%$  برای نیکل تایتانیوم است. او پیشنهاد کرد که متخصصین ارتودنسی باید به کاهش نیرو به میزان  $8\%$  تا  $20\%$  موقعی که نیروی فنر برای عقب بردن کانین به کار رود، توجه نمایند. این کاهش در مقایسه با کاهش نیروی ایجاد شده توسط کش لاستیکی و الاستیکهای مصنوعی کمتر است. بدین ترتیب فنر دارای کاهش نیروی کمتری در مقایسه با کش‌های لاستیکی یا حلقه‌های کشی است وقتی که پایداری نیرو، لازم است، استفاده از فنر توصیه می‌شود.

## نتیجه

حرکت لغشی دندان در درمانهای ارتودنسی ضروری است. مراحل کلینیکی، نیازمند توجه به پیچیدگیهای موجود است. با توجه به اینکه، متخصصین ارتودنسی در حال حاضر امکان انتخاب انواع متفاوت دستگاه را دارند، باید محدودیت هر دستگاه را، بدانند. متخصصین ارتودنسی باید به نوع آلیاژ برآکت، نوع طراحی و اندازه آن و به نوع آلیاژ واپر، قطر و شکل آن و همینطور به اندازه دندان و فاکتورهای مقاوم، توجه نمایند. نکاتی در سیستم لغشی در رابطه با سیستم نیروی مناسب برای حرکت دندانی باید مورد توجه قرار گیرند در طراحی مناسب هر دستگاه بایستی عوامل مکانیکی و عوامل بیولوژیکی در مد نظر قرار گیرد. میزان نیرو با محاسبه نیروی اصطکاک برای رسیدن به اهداف درمان موفقیت آمیز، باید مورد توجه قرار گیرد.



شکل ۱۲-۱۰: تصویر A، منحنی مقدار نیرو بر حسب گرم در مقابل زمان در رابطه با تمام فنرها در گروه ۱ را، نشان می‌دهد. تصویر B، منحنی موجود میزان نیرو بر حسب گرم در مقابل زمان در رابطه با تمام فنرها در گروه ۲ را، نشان می‌دهد.

## REFERENCES

1. Farrant SD: An evaluation of different methods of canine retraction. Br J Orthod 4:5-15, 1977.
2. Ziegler P, Ingervall B: A clinical study of maxillary canine retraction with a retraction spring and with sliding mechanics. Am J Orthod 95:95-99, 1989.
3. Burstone CJ, Koenig HA: Optimizing anterior and canine retraction. Am J Orthod 70:1-19, 1976.
4. Chaconas SJ, Caputo AA, Hayashi RK: Effects of wire, loop configuration and gabling on canine retraction springs. Am J Orthod 65:58-66, 1974.
5. Staggers JA, Germane N: Clinical considerations in the use of retraction mechanics. J Clin Orthod 25:364-369, 1991.
6. Huffman DJ, Way DC: A clinical evaluation of tooth movement along archwires of two different sizes. Am J Orthod 83: 453-459, 1983.
7. Bridges T, King G, Mohammed A: The effect of age on tooth movement and mineral density in the alveolar tissues in the rat. Am J Orthod 93:245-250, 1988.
8. Yettram AL, Wright KWJ, Houston WJB: Center of rotation of a maxillary central incisor under Orthodontic loading. Br J Orthod 4:23-27, 1977.
9. Burstone CJ: Pryputniewicz RJ: Holographic determination of centers of rotation produced by Orthodontic forces. Am J Orthod 77:396-409, 1980.
10. Byrstone CJ: Center of resistance of the human mandibular molars. J Dent Res 60:515, 1981.
11. Fortin JM: Translation of premolars in the dog by controlling the moment-to-force ratio on the crown. Am J Orthod 59:541-551, 1971.
12. Nikolai RJ: Periodontal ligament reaction and displacement of a maxillary central incisor subjected to transverse crown loading. J Biomech 7:93-99, 1974.
13. Pryputniewicz RJ, Burstone CJ: The effect of time and force magnitude on orthodontic tooth movement. J Dent Res 58:1754-1764, 1979.
14. Pederson E, Anderson K, Gjessing PE: Electronic determination of center of resistance produced by orthodontic force system. Euro Orthod Soc 12:272-280, 1990.

15. Yamaguchi K, Nanda RS: Considerations in sliding tooth movement along an archwire. I. Typodont work. *Jnl* 1993 (accepted for publication).
16. Sandstedt C: Einige beitrage zur theorie der zahnreguberu. *Tandlakare Tidsskrift* 4, 1904.
17. Oppenheim A: Tissue changes, particularly of the bone, incident to tooth movement. *Tr. Eur Orthod Soc.* 8:11,1911.
18. Schwartz AM: Tissue changes incident to orthodontic tooth movement. *Int J Orthod* 18:331-352, 1932.
19. Storey E, Smith R: Force in orthodontics and its relation to tooth movement. *Aust Dent J* 56:11-18, 1952.
20. Reitan K: Some factors determining the evaluation of forces in orthodontics. *Am J Orthod* 43:32-45,1957.
21. Boester CH, Johnston LE: A Clinical investigation of the concepts of differential and optimal force in canine retraction. *Angle Orthod* 44:113-119, 1974.
22. Quinn RB, Yoshikawa DK: A reassessment of force magnitude in orthodontics. *Am J Orthod* 88:252-260, 1985.
23. Angolkar PV, Kapila S, Duncanson MG Jr, Nanda RS: Evaluation of friction between ceramic brackets and orthodontic wires of four alloys. *Am J Orthod Dentofac Orthop* 98:499-506, 1990.
24. Frank CA, Nikolai RJ: A comparative study of frictional resistances between orthodontic bracket and arch wire. *Am J Orthod* 78:593-609, 1980.
25. Garner LD, Allai WW, Moore BK: A comparative study of frictional forces during simulated canine retraction of a continuous edgewise arch wire. *Am J Orthod Dentofac Orthop* 90:199-203, 1986.
26. Kapila S, Angolkar PV, Duncanson MG Jr, Nanda RS: Evaluation of friction between edgewise stainless steel brackets and orthodontic wires of four alloys. *Am J Orthod Dentofac Orthop* 98:117-126, 1990.
27. Peterson L, Spencer R, Andreasen GF: Comparison of frictional resistance of Nitinol and stainless steel wires in Edgewise brackets. *Quint Inter Digest* 13:563-571, 1982.
28. Pratten DH, Popli K, Germane N, Gunsolley J: Frictional resistance of ceramic and stainless steel Orthodontic brackets. *Am J Orthod Dentofac Orthop* 98:398-430, 1990.
29. Stannard JG, Gau JM, Hanna M: Comparative friction of Orthodontic wires under dry and wet conditions. *Am J Orthod* 89:485-491, 1986.
30. Tidy DC. Frictional Forces in fixed appliances. *Am J Orthod* 96:249-254, 1989.
31. Andreasen GF, quevedo FR: Evaluation of frictional forces in the  $0.022 \times 0.028$  edgewise bracket in vitro. *J Biomech* 3:151-160, 2970.
32. Riley JL, Garrett SG, Moon PC: Frictional forces of ligated plastic and metal edgewise brackets. *J Dent Res* 58:A21, 1979.
33. Drescher D, Bourquel C, Schumacher H: Frictional forces between bracket and arch wire. *Am J Orthod Dentofac Orthop* 96:249-254, 1989.
34. Kusy RP, Whitley JQ, Mayhew MJ, Buckthal JE: Surface roughness of orthodontic archwires via laser spectroscopy. *Angle Orthod* 58:33-45, 1988.
35. Kusy RP, Whitley JQ, Effects of surface roughness on the coefficients of friction in model orthodontic systems. *J Biomech* 9:913-925, 1990.
36. Popli K, Pratten D, Germane N, Gunsolley J: Frictional resistance of ceramic and stainless steel orthodontic brackets. *J Dent Res* 68:275-(A747), 1989.
37. Edwards GD, Davies EH, Jones SP: The ex vivo effect of ligation technique on the static frictional resistance of stainless steel brackets and archwires. *Br J Orthod* 22: 145-153, 1995.
38. Bazakidou E: Evaluation of frictional resistance of esthetic brackets. Master's thesis, University of Oklahoma, 1995.
39. Berger JL: The influence of the SOEED bracket's self-ligating design on force levels in tooth movement: A comparative in vitro study. *Am J Orthod Dentofac Orthop* 97:219-228, 1990.
40. Shrivapuja PK, Berger J: A comparative study of conventional ligation and self-ligation bracket systems. *Am J Orthop* 106:472-480, 994.
41. Ogata RH, Duncanson MG Jr, Nanda RS, Currier GF, Sinha PK: Frictional resistances in stainless steel bracket-wire combinations with effects of vertical deflections. *Am J Orthod Dentofac Orthop* 1994 (accepted for publication).

42. Vaughan JL, Duncanson MG Jr, Nanda RS, Currier GF: Relative kinetic frictional forces between sintered stainless steel brackets and orthodontic wires. *Am J Orthod Dentofac Orthop* 107:20-27, 1995.
43. Buck TE, Scott JE, Morrison WE: A study of the distribution of force in cuspid retraction utilizing a coil spring. Master's thesis, University of Texas, 1963.
44. Stoner M: Force control in clinical practice. *Am J Orthod* 46:163-186, 1960.
45. Baker KL, Nieberg LG, Weimer AD, Hanna M: Frictional changes in force values caused by saliva substitution. *Am J Orthod Dentofac Orthop* 91:316-320, 1987.
46. Echols PM: Elastic ligatures: Binding forces and anchorage taxation. (Abstract.) *Am J Orthod* 67:219-220, 1075.
47. Creekmore TD: The importance of interbracket width in orthodontic tooth movement. *J Clin Orthod* 10:530-534, 1976.
48. Greenberg AR, Kusy RP: A survey of specialty coatings for orthodontic wires. *J Dent Res* 58:98 (A23), 1979.
49. Feeney F, Morton J, Burstone C: The effect of bracket width on bracket-wire friction. *Cran Biology Abstracts* 359, 1979.
50. Kusy RP, Whitley JQ: Effect of surface roughness on frictional coefficients of arch wires. *J Dent Res* 67: A1986, 1988.
51. Kusy RP, Whitley JQ: Effects of sliding velocity on the coefficients of friction in a model orthodontic system. *Dental Materials*, 5:235-240, 1989.
52. Kusy RP, Whitley JQ: Coefficients of friction for arch wires in stainless steel and polycrystalline alumina bracket slots. I. The dry state. *Am J Orthod Dentofac Orthop* 98:300-312, 1990.
53. Bedenar JR, Gruendeman GW, Sandrik JL: A comparative study of frictional forces between orthodontic brackets and arch wires. *Am J Orthod Dentofac Orthop* 100:513-522, 1991.
54. Ireland AJ, Sherriff M, McDonald F: Effect of bracket and wire composition on frictional forces. *Eur J Orthod* 13:322-328, 1991.
55. Kusy RP, Ceramic brackets. *Angle Orthod* 61:291-292, 1991.
56. Kusy RP, Whitley JQ, Prewitt MJ: Comparison of the frictional coefficients for selected arch wire bracket slot combinations in the dry and wet states. *Angle Orthod* 61:293-302, 1991.
57. Prososki RP, Bagby MD, Erickson LC: Static frictional force and surface roughness of nickel-titanium arch wires. *Am J Orthod Dentofac Orthop* 100:341-348, 1991.
58. Tanne K, Matsubara S, Shibaguchi T, Sakuda M: Wire friction from ceramic brackets during simulated canine retraction. *Angle Orthod* 61:285-290, 1991.
59. Omana HM, Hoore RN, Bagby MD: Frictional Properties of metal and ceramic brackets. *J Clin Orthod* 26(7):425-432, 1992.
60. Keith O, Kusy RP, Whitley JQ: Zirconia brackets: An evaluation of morphology and coefficients of friction. *Am J Orthop Dentofac Orthop* 106:605-614, 1994.
61. Saunders CR, Kusy RP: Surface topography and frictional characteristics of ceramic brackets. *Am J Orthod Dentofac Orthop* 106:76-87, 1994.
62. Tanne K, Matsubara S, Hotei Y, Sakuda M, Yoshida M: Frictional forces and surface topography of a new ceramic bracket. *Am J Orthod Dentofac Orthop* 106:273-278, 1994.
63. Tselepis M, Brockhurst P, West VC: Frictional resistance between brackets and archwires. *Am J Orthod Dentofac Orthop* 106:131-138, 1994.
64. Swartz ML: Ceramic Brackets. *J Clin Orthod* 22:83-88, 1988.
65. Burstone CJ, Frazin-Nia F: Production of low-friction and colored TMA by ion implantation. *J Clin Orthod* 29:453-461, 1995.
66. Marcincin M, Wolsky S, Gunn S: A comparison of teflon-coated and uncoated orthodontic wires. (Abstract 1733.) *J Dent Res* 70:483, 1991.
67. JCO Interviews: Dr: Thomas D. Creekmore on Torque. *J Clin Orthod* 13:305-310, 1979.
70. Ash JL, Nikolai RJ: Relaxation of orthodontic elastomeric chains and modules in vitro and in vivo. *J Dent Res* 57:685-690, 1978.
71. Brantley WA, Salander S, Myers CL, Winders RV: Effects of pre-stretching on force degradation characteristics of plastic modules. *Angle Orthod* 49:37-43, 1979.
72. Wong AK: Orthodontic elastic materials. *Angle Orthod* 46:196-205, 1979.

73. Spiller RE, Waters NE, Birnie DJ, Pethybridge RJ: A comparison of the forces required to produce tooth movement in vitro using two self-ligating brackets and a pre-adjusted bracket employing two types of ligation. *Eur J Orthod* 15:377-385, 1993.
74. Stolzenberg J: The efficiency of the Russell attachment and its improved advantages. *Int J Orthod Dent Children* 21(9):837-840, 1935.
75. Stolzenberg J: The efficiency of the Russell attachment. *Am J Orthod Oral Surg* 32:572-582, 1946.
76. JCO interviews: Dr. G. Herbert Hanson on the speed bracket. *J Clin Orthod* 10:183-189, 1986.
77. Drescher D, Bourquel C, Schumacher HA: Optimization of arch guided tooth movement by the use of uprighting springs. *Eur Orthod Soc* 12:346-353, 1990.
78. Tamaguchi K, Nanda RS, Morimoto N, Oda Y: A study of force application, amount of retarding force and bracket width in sliding mechanics. *Am J Orthod Dentofac Orthop*, 1995 (accepted for publication).
79. Kamiyana M, Sasaki T: friction width of brackets. *J Jap Orthod Soc* 32:286-289, 1973.
80. Frankel VH, Burstein AH: Orthopedic Biomechanics: Viscoelasticity. Philadelphia: Lea & Febiger, 1971, pp. 96-117.
81. Kurashima K: The viscoelastic properties of the periodontal membrane and alveolar bone. *J Stomatol Soc* 30:361-385, 1963.
82. Thurow RC: Intermaxillary deviations. *Atlas of Orthodontic Principles*. St. Louis, C.V. Mosby, 1977, pp. 380-413.
83. Adreasen GF, Bishara S: Comparison of Alastiks chains with elastics involved with intra-arch molar to molar forces. *Angle Orthod* 40:151-158, 1970.
84. Bishara SE, Andreasen GF: A comparison of time related forces between plastic Alastiks and latex elastics. *Angle Orthod* 40:319-328, 1970.
85. Hershey HG, Reynolds WG: The plastic module as an orthodontic tooth-moving mechanism. *Am J Orthod* 67:554-562, 1975.
86. Young J, Sandrik JL: The influence of preloading on stress relaxation of orthodontic elastic polymers. *Angle Orthod.* 49:104-109, 1979.
87. Kuster R, Ingerball B, Burgin W: Laboratory and intraoral test of the degradation of elastic chains. *Eur J Orthod* 8:202-208, 1986.
88. Lu TC, Wang WN, Tarng TH, Chen JW: Force Decay of Elastomeric Chain - A Serial Study. Part II. *Am J Orthod Dentofac Orthop* 104:373-377, 1993.
89. Ferriter J, Meydris C, Lorton L: The effect of hydrogen ion concentration on the force degradation rate of orthodontic polyurethane chain elastics. *Am J Orthod* 87:377-384, 1985.
90. De Genova DC, McInnes-Ledoux P, Weinberg R, Shaye R: Force degradation of orthodontic elastomeric chains- A product comparison study. *Am J Orthod* 87:377-384, 1985.
91. Rock WP, Wilson HJ, Fisher SE: A laboratory investigation of orthodontic elastomeric chains. *Br J Orthod* 12:202-207, 1985.
92. Annello JC: Force degradation characteristics of Orthodontic colored elastomeric chains-A comparative study. (Abstract.) *Am J Orthod Dentofac Orthop* 105:423, 1994.
93. Bell WR: A study of applied force as related to the use of elastics and coil springs. *Angle Orthod* 21:151-154, 1951.
94. Kovatch JS, Lautenschlager EP, Apfel DA, Keller JC: Load-extension-time behavior of orthodontic alastiks. *J Dent Res* 55:786, 1076.
95. Sonis A, Van der Plas E, Gianelly A: A comparison of elastomeric auxillaries versus elastic thread on premolar extraction site closure: An in vivo study. *Am J Orthod* 89:73-77, 1986.
96. Arnold EB, Cunningham JS: Coil springs as application of force. *Int J Orthod Dent Child* 20:577-579, 1934.
97. Webb RI, Caputo AA, Chaconas SJ: Orthodontic force production by closed coil springs. *Am J Orthod* 74:405-409, 1978.
98. Chaconas SJ, Caputo AA, Haryey K: Orthodontic force characteristics of open coil springs. *Am J Orthod* 85:494-497, 1984.
99. Boshart BF, Currier GF, Nanda RS, Duncanson MG Jr: Load-deflection rate measurements of activated open and closed coil springs. *Angle Orthod* 60:27-34, 1991.

73. Spiller RE, Waters NE, Birnie DJ, Pethybridge RJ: A comparison of the forces required to produce tooth movement in vitro using two self-ligating brackets and a pre-adjusted bracket employing two types of ligation. *Eur J Orthod* 15:377-385, 1993.
74. Stolzenberg J: The efficiency of the Russell attachment and its improved advantages. *Int J Orthod Dent Children* 21(9):837-840, 1935.
75. Stolzenberg J: The efficiency of the Russell attachment. *Am J Orthod Oral Surg* 32:572-582, 1946.
76. JCO interviews: Dr. G. Herbert Hanson on the speed bracket. *J Clin Orthod* 10:183-189, 1986.
77. Drescher D, Bourquel C, Schumacher HA: Optimization of arch guided tooth movement by the use of uprighting springs. *Eur Orthod Soc* 12:346-353, 1990.
78. Tamaguchi K, Nanda RS, Morimoto N, Oda Y: A study of force application, amount of retarding force and bracket width in sliding mechanics. *Am J Orthod Dentofac Orthop*, 1995 (accepted for publication).
79. Kamiyana M, Sasaki T: friction width of brackets. *J Jap Orthod Soc* 32:286-289, 1973.
80. Frankel VH, Burstein AH: Orthopedic Biomechanics: Viscoelasticity. Philadelphia: Lea & Febiger, 1971, pp. 96-117.
81. Kurashima K: The viscoelastic properties of the periodontal membrane and alveolar bone. *J Stomatol Soc* 30:361-385, 1963.
82. Thurow RC: Intermaxillary deviations. *Atlas of Orthodontic Principles*. St. Louis, C.V. Mosby, 1977, pp. 380-413.
83. Adreasen GF, Bishara S: Comparison of Alastiks chains with elastics involved with intra-arch molar to molar forces. *Angle Orthod* 40:151-158, 1970.
84. Bishara SE, Andreasen GF: A comparison of time related forces between plastic Alastiks and latex elastics. *Angle Orthod* 40:319-328, 1970.
85. Hershey HG, Reynolds WG: The plastic module as an orthodontic tooth-moving mechanism. *Am J Orthod* 67:554-562, 1975.
86. Young J, Sandrik JL: The influence of preloading on stress relaxation of orthodontic elastic polymers. *Angle Orthod.* 49:104-109, 1979.
87. Kuster R, Ingerball B, Burgin W: Laboratory and intraoral test of the degradation of elastic chains. *Eur J Orthod* 8:202-208, 1986.
88. Lu TC, Wang WN, Tarng TH, Chen JW: Force Decay of Elastomeric Chain - A Serial Study. Part II. *Am J Orthod Dentofac Orthop* 104:373-377, 1993.
89. Ferriter J, Meydris C, Lorton L: The effect of hydrogen ion concentration on the force degradation rate of orthodontic polyurethane chain elastics. *Am J Orthod* 87:377-384, 1985.
90. De Genova DC, McInnes-Ledoux P, Weinberg R, Shaye R: Force degradation of orthodontic elastomeric chains- A product comparison study. *Am J Orthod* 87:377-384, 1985.
91. Rock WP, Wilson HJ, Fisher SE: A laboratory investigation of orthodontic elastomeric chains. *Br J Orthod* 12:202-207, 1985.
92. Annello JC: Force degradation characteristics of Orthodontic colored elastomeric chains-A comparative study. (Abstract.) *Am J Orthod Dentofac Orthop* 105:423, 1994.
93. Bell WR: A study of applied force as related to the use of elastics and coil springs. *Angle Orthod* 21:151-154, 1951.
94. Kovatch JS, Lautenschlager EP, Apfel DA, Keller JC: Load-extension-time behavior of orthodontic alastiks. *J Dent Res* 55:786, 1076.
95. Sonis A, Van der Plas E, Gianelly A: A comparison of elastomeric auxillaries versus elastic thread on premolar extraction site closure: An in vivo study. *Am J Orthod* 89:73-77, 1986.
96. Arnold EB, Cunningham JS: Coil springs as application of force. *Int J Orthod Dent Child* 20:577-579, 1934.
97. Webb RI, Caputo AA, Chaconas SJ: Orthodontic force production by closed coil springs. *Am J Orthod* 74:405-409, 1978.
98. Chaconas SJ, Caputo AA, Haryey K: Orthodontic force characteristics of open coil springs. *Am J Orthod* 85:494-497, 1984.
99. Boshart BF, Currier GF, Nanda RS, Duncanson MG Jr: Load-deflection rate measurements of activated open and closed coil springs. *Angle Orthod* 60:27-34, 1991.

101. Miura F, Mongi M, Ohura Y, Karibe M: The super-elastic Japanese NiTi alloy wire for use in orthodontics: Part III. Studies on the Japanese NiTi alloy coil springs. Am J Orthod Dentofac Orthop 94:89-96, 1988.
102. angolkar PV, Arnold JV, Nanda RS, Duncanson MG Jr: Force degradation of closed coil springs: An in vitro evaluation. Am J Orthod Dentofac Orthop 102:127-133, 1992.

## فصل ۱۳

### ملاحظات کلینیکی خارج کردن دندانها در ارتودنسی

أنواع دستگاههای ارتودنسی و تکنیکهای متفاوتی برای درمان بیمارانی که دندانها در آنها خارج می‌شود به کار می‌رود. و روش‌های متعددی برای تعیین دندانی که باید خارج شود وجود دارد، اگرچه عقیده یکسانی برای انتخاب دستگاه ایده‌آل یا توافق عمومی در مورد خارج کردن دندان بخصوصی وجود ندارد و این مشکل در سالهای آینده باقی خواهد ماند. کاربرد اصول انواع حرکتهای دندانی در حین خارج کردن دندانها، با در نظر گرفتن قانون تعادل باید مورد توجه قرار گیرند<sup>(۱-۴)</sup>. شناخت نیروها و گشتاورهای موجود باعث تصمیم‌گیری مناسب در طرح درمان می‌شود و بستگی به مکانیک حرکتهای دندانی دارد. متخصص ارتودنسی با واپرها باحافظه<sup>(۵-۷)</sup> و طراحی لوپهای ابتکاری می‌تواند حرکت مورد نظر را، بدست آورد ولی دندانها می‌توانند به راحتی بدون لوپها و با استفاده از واپرها ارزان قیمت حرکت کنند. انواع حرکات دندانی توسط واپر بدون لوپ، نیاز به درک گشتاورها و نیروها، و قرار دادن محل مناسب خم دارد<sup>(۸)</sup>.

هدف از این فصل، توجه به کاربرد نیروها و گشتاورها در درمانهایی که با خارج کردن دندان توام است، بدون توجه به نوع دستگاه ارتودنسی یا دندانهایی که خارج شده‌اند، می‌باشد. متخصص ارتودنسی ممکن است این دستگاهها را، بدون توجه به نظر اکثریت ارتودنسیستها و نوع تصمیم‌گیری برای خارج کردن دندانها، به کار ببرد. برای ساده‌تر کردن مطلب فرض می‌شود که درمان توسط یک واپر کامل بدون لوپ انجام گیرد.

#### نکات بیومکانیکی در خم کردن واپر بدون لوپ

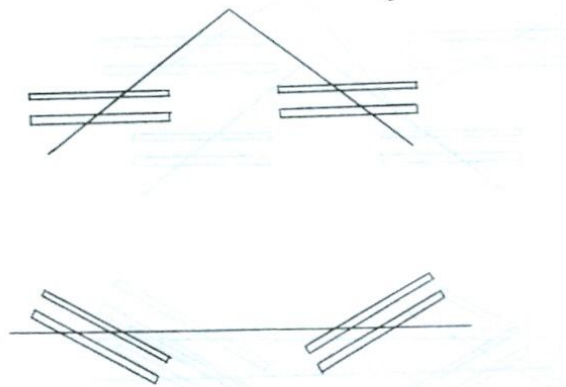
هدف از این فصل عدم استفاده از لوپ نمی‌باشد. بلکه استفاده از یک روش جایگزین می‌باشد، که بتواند نیروها و گشتاورهای موجود را، ارزیابی و حرکات دندانی را، پیش‌گویی نماید.

در ابتدا مقایسه شیار برآکتهای استاندارد و درجه‌دار و بررسی روابط زاویه‌ای به منظور فعال شدن واپر، بحث می‌شود. وقتی واپر در شیار برآکت قرار می‌گیرد، حتماً یک رابطه خم‌دار برای حرکت دندانی ایجاد می‌شود. شکل ۱۳-۱۱ نشان می‌دهد که آیا شیارها در یک راستا می‌باشند و در واپر خم ایجاد می‌شود؟ یا شیارها زاویه‌دار می‌باشند و واپر مستقیم است؟ در هر دو سیستم زاویه بین شیار برآکت و واپر یکسان است. در حالتی که واپر مستقیم است و شیارها زاویه‌دار می‌باشند، متخصص ارتودنسی باید با ارزیابی بیمار موقعیت برآکتها را، در مقدمه قرار دهد. شب شیارهای برآکت روی تاج دندانها یا زاویه‌ای که بر اثر موقعیت متفاوت دندانها در ناهنجاریهای مختلف بدون توجه به موقعیت دندانها به وجود می‌آید، باید مورد ملاحظه واقع گردد. در هر دو سیستم یک زاویه تشکیل می‌شود، بنابراین در هر دو روش، یک سیستم

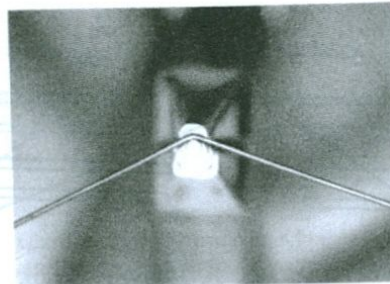
نیرو ایجاد می‌گردد. متخصص ارتودنسی باید بدون توجه به اندازه شیار و یا فاصله بین برآکتها سیستم نیرو را، بشناسد و در نظر داشته باشد که روابط بدون تغییر باقی خواهد ماند. روابط زاویه‌ای زیادی وجود دارد که در مقالات به طور دقیق بحث گردیده است. ملاحظاتی که در این بخش عنوان می‌شود برای متخصص ارتودنسی بیشتر جنبه کلینیکی دارد، که به موجب آن، این اصول در روش‌های قابل قبول به کار بردۀ می‌شود. برای رسیدن به این هدف متخصص ارتودنسی باید شرایط خاصی را، بپذیرد. از نقطه نظر علمی هر دو سیستم، به عنوان ایده آل هستند. دستگاههایی که در درمانهای ارتودنسی به کار بردۀ می‌شوند، از این اصول پیروی می‌کنند<sup>(۱۰)</sup>. به طور کلی خیلی از متخصصین ارتودنسی در به کار بردن این اصول در درمانهای روزمره ناتوان هستند و دانش کافی را، ندارند. بنابراین واقعیت این است که درمان ایده آل را، به حد قابل قبولی با استفاده از مکانیک‌های به کاربرده شده به انجام رسانید. به علت اینکه متخصصین ارتودنسی با انواع متفاوتی از مال اکلوژنها سر و کار دارند و دستگاههای ارتودنسی می‌تواند قسمتی از دندانها یا تمام آنها را، در بر گیرد، پیشنهاد می‌شود که رابطه زاویه‌ای بین واير و برآکت با وسائل داخل دهانی مثل پلائر Tweed loop ایجاد شود، این فعال کردن به طور دقیق در مطالب بعدی بحث خواهد شد.

دندانهایی که دارای برآکت هستند و بلا فاصله مجاور خم در واير قرار دارند تحت تاثیر خم قرار خواهند گرفت و در آنها پاسخ اولیه ایجاد می‌شود. این خم‌ها در مرحله اول که برآکتها بر روی دندان قرار دارند، نبایستی توسط متخصص ارتودنسی ایجاد شود چون مال اکلوژن در این مرحله ایجاد زاویه‌ای بین برآکت واير می‌کند، و این به طور خود کار ایجاد یک سیستم نیرو می‌نماید<sup>(۱۱)</sup>. اگر چه این سیستم نیرو مطلوب نمی‌باشد، اما متخصص ارتودنسی باید از این اصول در استفاده از زاویه بین واير و برآکت، مطلع باشد. از سیستم نیرویی که در خلال ردیف شدن دندانها ایجاد می‌شود، می‌توان استفاده یا از ایجاد آن، جلوگیری کرد. ضمناً فعال کردن واير در داخل دهان باید بعد از ردیف شدن برآکتها انجام گیرد. پاسخ اولیه به اولین حرکت دندانی اطلاق می‌شود و به طور همزمان پاسخ‌های دیگری ممکن است بوجود آید، که نامطلوب می‌باشد. پاسخ‌های دیگر به عنوان پاسخ ثانویه تلقی می‌شود و باید از ایجاد آنها جلوگیری نمود و با حذف خم‌ها در ادامه پاسخ اولیه، آنها را به حداقل رساند. تاکید می‌شود که سیستم نیرویی که از نظر تکنیک بحث گردید، برای هر دو برآکت، به کار بردۀ می‌شود. اما به منظور استفاده روزانه کلینیکی یک روش عملی قابل قبول، توصیه می‌شود. به منظور روش‌کردن پاسخ اولیه در مقابل پاسخ ثانویه به شکل ۱۱-۲ مراجعه شود. خم نوع ۷ (gabel) و خم نوع ۸ (Tent) که از این به بعد به آن center bend گفته می‌شود، به عنوان یک خم در وسط ناحیه دندانهای خارج شده، برای موازی کردن ریشه‌ها به کار می‌رود. گشتاورهای موثر در برآکتها در دو طرف خم به صورت مساوی و مخالف هم، برای حرکت ریشه‌ها ایجاد می‌شود. اگر واير بعد از موازی کردن ریشه‌ها به فعالیت خود ادامه دهد، یک پاسخ نامطلوب ایجاد می‌شود. این پاسخ ثانویه باعث ایجاد حرکت بیش از حد ریشه‌ها به سوی همدیگر و هم چنین باعث بیرون زدگی دندانهای قدامی (flaring) می‌شود. spee reverse curve of flaring ۲ گشتاور مساوی و مخالف همدیگر در ۲ انتهای یک نیم فک می‌گردد که باعث flaring دندانهای قدامی می‌شود. به طور کلی reverse curve of spee می‌تواند به عنوان خم‌های نوع ۸ در فک پایین تلقی گردد که اولین تاثیرات آن روی دندانهای مجاور خم، اعمال spee می‌شود. به عبارت دیگر، پاسخ فوری و مطلوب نسبت به گشتاورهای مخالف و مساوی همدیگر می‌تواند به گونه‌ای حاصل شود که از ایجاد اثرات نامطلوب، جلوگیری شود تا اینکه پاسخ اولیه تامین شود. بعد از پاسخ اولیه، خم نوع ۸ در فک پایین برداشته می‌شود. به طور خلاصه اگر چنین خمی قرار داده شود، نیروها و گشتاورهایی ایجاد می‌شوند که اثرات اولیه آنها، روی دندانهای مجاور نسبت به خم است، در صورتیکه اثرات دیگر یا حذف یا به حداقل رسانده می‌شوند. برداشتن خم بعد از حصول پاسخ اولیه به منظور جلوگیری از اثرات نامطلوب توصیه می‌شود.

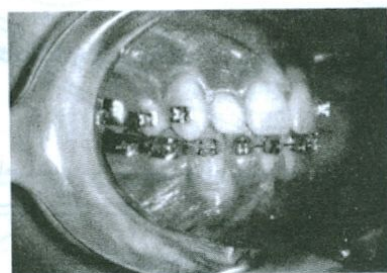
## ملاحظات کلینیکی خارج کردن دندانها در درمانهای ارتودنسی / ۲۹۳



شکل ۱۳-۱: شیارهای مستقیم و خم ایجاد شده در وایر باعث ایجاد سیستم نیرویی معادل با وایر مستقیم در شیارهای زاویه‌دار می‌گردد.

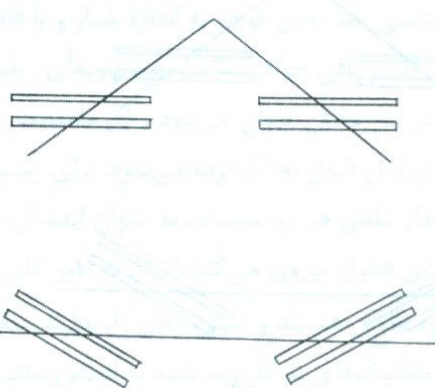


شکل ۱۳-۲: محل خم در مرکز فاصله بین کائین و پره مولر دوم باعث ایجاد پاسخ اولیه در این دندانها می‌گردد. در اینجا پاسخ اولیه موازی شدن ریشه‌ها می‌باشد.

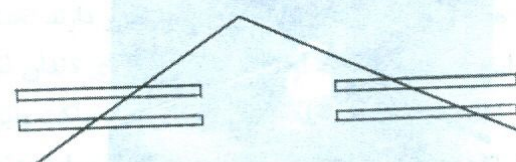


شکل ۱۳-۳: پلایر Tweed loop میتواند در دهان خم زاویه‌دار ایجاد نماید.

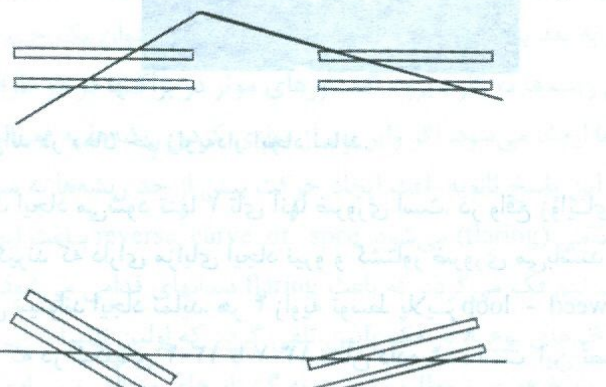
اگر چه ۴ زاویه بین وایر و برآکت ایجاد می‌شود تنها ۲ تای آنها ضروری است. در واقع زوایای بیشتری ایجاد می‌شود، اما آنها مورد بحث قرار می‌گیرند که دارای مزایای ایجاد نیرو و گشتاور ضروری می‌باشند. و متخصص ارتودنسی فرم وایر را، در داخل دهان به راحتی میتواند ایجاد نماید. هر ۴ زاویه توسط پلایر Tweed - loop به صورت داخل دهانی ایجاد می‌شود (شکل ۱۳-۳)، که در شکلهای ۱۳-۴ تا ۱۳-۷ نشان داده شده است. این تصاویر شیار برآکتهای هم ردیف و شیار برآکتهای درجه‌دار را، نشان میدهد. در هر دو روش، یک سیستم نیرو تولید می‌گردد. در شیارهای برآکتهای ردیف شده، فعال شدن داخل دهانی امکان پذیر است، تا زاویه وایر برآکت ایجاد شود و سیستم نیرو اعمال گردد.



شکل ۱۳-۴: خم وایر در مرکز فاصله بین ۲ براکت قرار گرفته است.

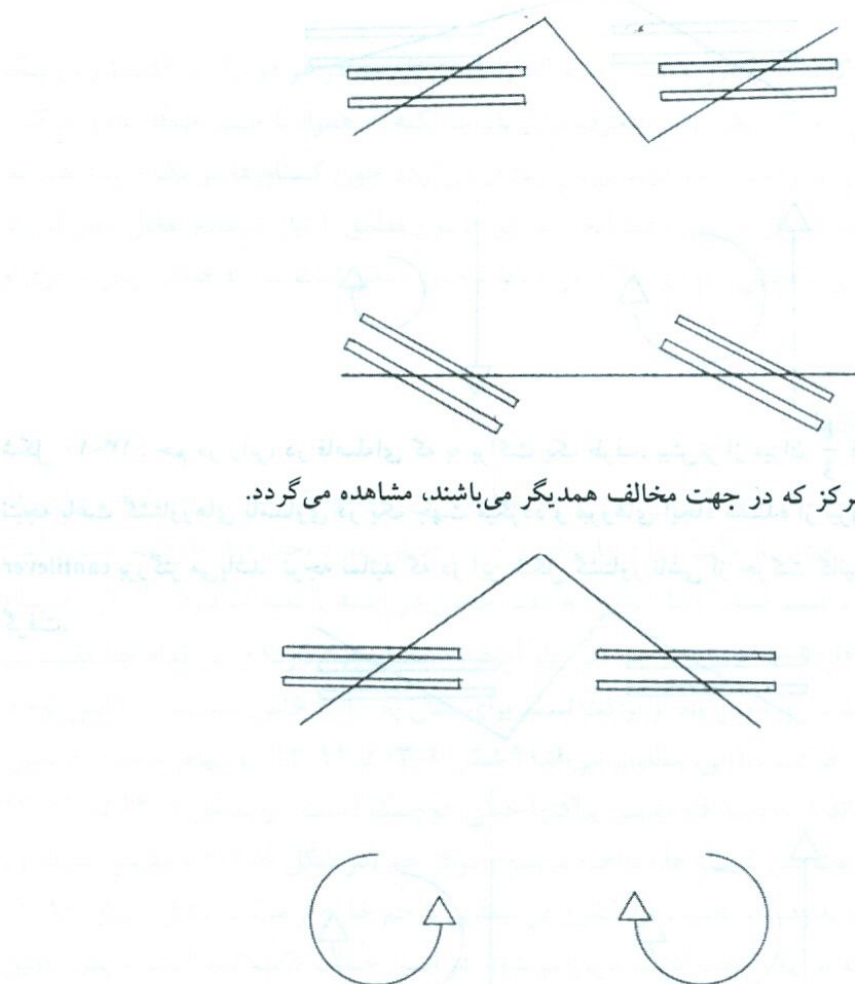


شکل ۱۳-۵: خم وایر در  $\frac{1}{3}$  فاصله بین ۲ براکت واقع شده است.

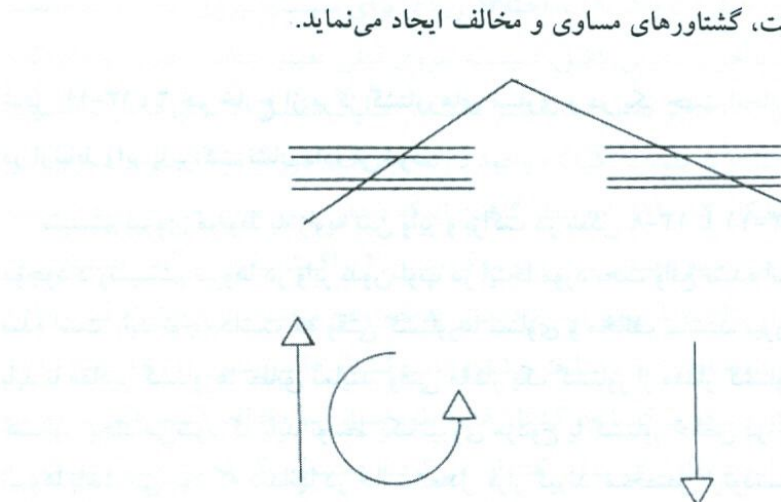


شکل ۱۳-۶: خم وایر به براکت یک طرف، بیش از میزان  $\frac{1}{3}$  فاصله بین براکتی، نزدیک است.

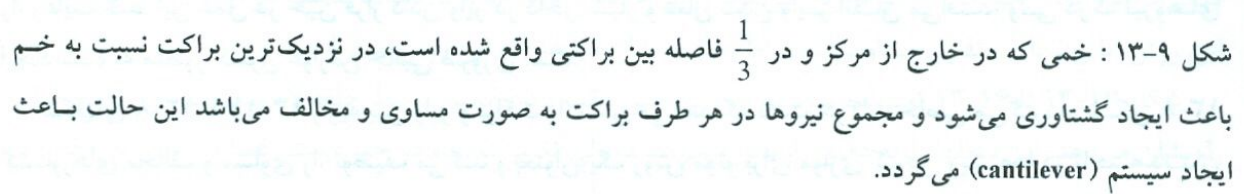
برای اینکه اینها را در تقویت میکاریم باید همین سرویکه ای را در میان براکت داشت، یعنی میان براکت و سایر



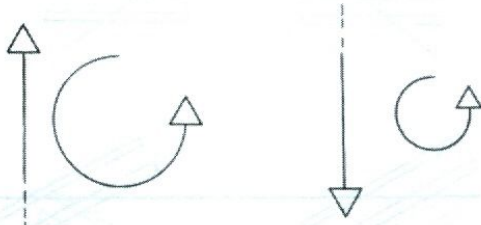
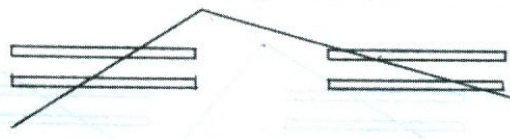
۱۳-۷: در این شکل ۲ خم خارج از مرکز که در جهت مخالف همدیگر می‌باشند، مشاهده می‌گردد.



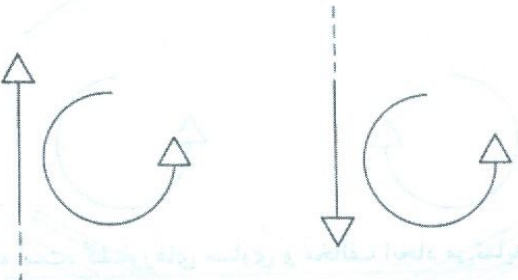
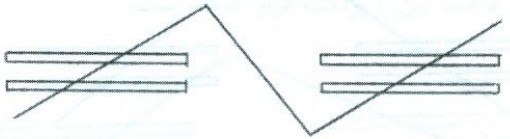
شکل ۱۳-۸: خمی که در مرکز واقع شده است، گشتاورهای مساوی و مخالف ایجاد می‌نماید.



شکل ۱۳-۹: خمی که در خارج از مرکز و در  $\frac{1}{3}$  فاصله بین برآکتی واقع شده است، در نزدیکترین برآکت نسبت به خم باعث ایجاد گشتاوری می‌شود و مجموع نیروها در هر طرف برآکت به صورت مساوی و مخالف می‌باشد این حالت باعث ایجاد سیستم (cantilever) می‌گردد.



شکل ۱۳-۱۰: خم در واير، در فاصله‌اي که به براكت يك طرف، بيش تر از ميزان  $\frac{1}{3}$  فاصله بين براكتي، نزديك است. در نتيجه باعث گشتاورهای نامساوی در يك جهت ميگردد و نیروهای ايجاد شده از نیروهای به وجود آمده در سیستم cantilever بزرگتر می‌باشد. توجه نمائيد که در این شکل گشتاور ناشی از حرکت کаниن به سمت عقب را، باید در نظر گرفت.



شکل ۱۳-۱۱: ۲ خم خارج از مرکز گشتاورهای مساوی و در يك جهت ايجاد می‌نمایند و بيشترین مقدار نیرو در ۴ نقطه در ارتباط واير با براكت نشان داده می‌شود.

سیستم نیروی مربوط به زاویه بین واير و براكت در شکل ۱۳-۸ تا ۱۳-۱۱ نشان داده شده است. علت اختلاف موجود در سیستم نیروها در واير بدون لوپ در اينجا مورد بحث واقع نشده است و در مقالات در رابطه با آن صحبت شده است. باید توجه داشت که وقتی گشتاورها مساوی و مخالف نباشند، نیروها به منظور ايجاد حالت تعادل سکون باید با مقادير گشتاورها تطابق نمایند. وقتی مقدار يك گشتاور از مقدار گشتاور ديگر، متفاوت باشد، بنابراین، محصلة گشتاور ايجاد می‌شود که باید توسط يك نیروی مزدوج یا گشتاور خالص در جهت مخالف متداول گردد. اين مجموعه نیروها باعث می‌شود که دندانها در حالت تعادل قرار گیرند. متخصص ارتودونتسی نباید هميشه سعی کند که قوانين تعادل را، رعایت کند. اين عمل در حين قرار دادن واير در داخل شيار و فعل شدن واير اتفاق می‌افتد، ولی در كنترل نیروهاي ايجاد شده به منظور كنترل عوارض جانبی ضروري است.

شکلهای ۱۳-۸ تا ۱۳-۱۱ زاویه بین واير و براكت را، نشان می‌دهد که باعث حرکات خاصی می‌گردد. شکل ۱۳-۸ گشتاورهای مخالف و مساوی را، توصیف می‌کند و بعنوان يك روش موثر برای موازي کردن ريشه‌ها در ناحیه دندان خارج شده می‌باشد. شکل ۱۳-۹ برای درمان ناهنجاريهای مختلف در بيماراني که دندانهای آنها خارج می‌شود به کار مي‌رود. اين شکل شامل كنترل موقعیت مزيوديستالي و باکولینگوالی شيارهای مرکزی دندان مولر ميباشد. اين سیستم نیروی انتهای آزاد برای intrude دندانها به علت داشتن خصوصيات نیروی تک روی براكت مفید است. شکل

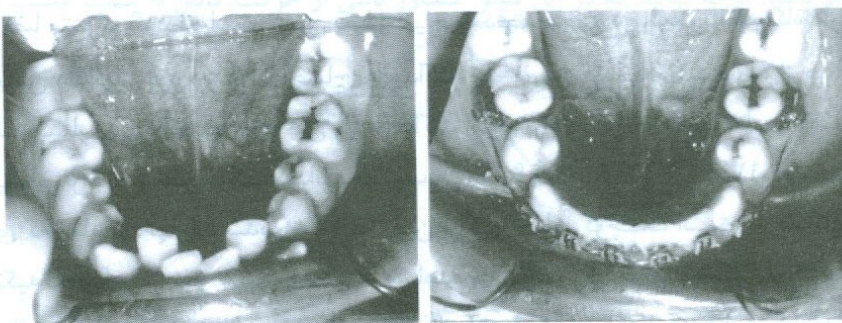
۱۳-۱۰ روش موثر برای عقب بردن کanine با کنترل مناسب تکیه گاه را، نشان میدهد در هر دو براکت گشتاور در یک جهت ایجاد می‌شود. در نهایت شکل ۱۳-۱۱ یک روش متعارف برای تقویت تکیه گاه همراه با خم tip back و حرکت لبیالی ریشه‌ها می‌باشد. ولی رابطه وایر و براکت باعث ایجاد نیروی زیادی می‌گردد چون گشتاورها در یک جهت، هستند نیروی متعادل کننده بزرگی لازم است. نیروی بزرگتر، باعث ایجاد نیروی مزدوج مطابق با نیاز سیستم تعادل می‌گردد. رابطه وایر براکت باید با احتیاط خاصی در پلان عمودی به کار بrede شود، چون ممکن است نیاز به هدگیر پس سری و همکاری بیمار وجود داشته باشد.

### عقب بردن و جلو آوردن دندانها

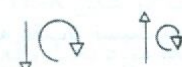
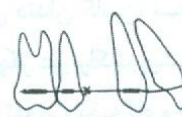
اگر چه این بحث شامل انواع مختلف درمانها با خارج کردن دندانها است، ولی موضوعاتی مثل ردیف شدن براکتها، درمان crossbite overbite به عنوان جزیی از تکنیک با درمان خارج کردن دندان، مورد بحث قرار نگرفته است. این بحث روی بستن فضا متمرکز گردیده است. بستن فضا احتیاج به دقت خاصی در رابطه با تکیه گاه دارد<sup>(۱۳)</sup>. آیا احتیاج به حداکثر عقب بردن دندانها وجود دارد؟ آیا احتیاج به حداکثر جلو آوردن دندانها وجود دارد؟ از هر کدام چه مقداری مورد نیاز است؟ نیاز بیمار تعیین کننده زاویه بین وایر و براکت است. برای مثال به حالت خاص عقب بردن کanine توجه شود. کدام ترکیب وایر براکت از نظر حرکت دندانی، مطلوب می‌باشد؟ شکل ۱۳-۸ تا ۱۳-۱۱، روش‌های موجود را، نشان میدهد. در بیماری که تمام دندانها باند شده باشد فاصله بین براکتها خیلی کوچک است. در شکل ۱۳-۸ تا ۱۳-۱۱ در درجات مختلف تکیه گاه بر اساس تفاوت بین گشتاورها مشاهده می‌شود. مرکز خم (در شکل ۱۳-۸) با گشتاور مساوی و مخالف هیچ گونه اثر بر روی تکیه گاه ندارد. اگر عقب بردن کanine در بیماری با خم خارج از مرکز مثل شکل ۱۳-۱۰ انجام گیرد. حرکت با گشتاورهایی که در یک جهت است، شروع می‌شود. در این حالت تکیه گاه اولیه بهتر تامین می‌گردد. با اذعان به اینکه فاصله بین براکتها خیلی کوچک است، اختلاف زیادی برای سیستم نیروی ایجاد شده نسبت به خم در مرکز وجود ندارد ولی بعد از حرکت جزیی دندان کanine، سیستم نیروی قبلی تغییر می‌کند، چون زاویه براکت و وایر تغییر می‌نماید. هر چه فاصله خم نسبت به مرکز دو براکت بیشتر باشد، تفاوت مقدار گشتاورها در براکتها مجاور بیشتر می‌شود. به عبارت دیگر اگر احتیاج به تقویت تکیه گاه وجود دارد، باید خم دور از مرکز قرار گیرد. این حالت با درگیر نکردن دندان پره مولر دوم (شکل ۱۳-۱۲) با در نظر گرفتن اینکه دندان پره مولر خارج شده است، ایجاد می‌گردد. در این حالت قرار دادن خم در ناحیه عقبتر نسبت به مرکز بین ۲ براکت باعث تفاوت بیشتری در اختلاف گشتاورها می‌گردد. گشتاور بزرگتر در براکت یا تیوب مولر نزدیکتر به خم واقع می‌شود. از آنجائیکه قرار دادن خم نزدیک تیوب مولر بجای مزیال پره مولر دوم باعث ایجاد تفاوت بیشتری بین گشتاورها می‌شود، این حالت باعث افزایش تکیه گاه می‌گردد. باید توجه کرد، اگر خم در مرکز باشد گشتاورها به طور مساوی و مخالف هم، هستند، ولی تفاوت خیلی جزیی در خارج از مرکز، باعث ایجاد تفاوت در مقدار گشتاور می‌گردد. همینطور که فاصله خم نسبت به مرکز افزایش یابد. اختلاف گشتاورها زیاد می‌شود و این حالت با عدم باندینگ دندانها بدست می‌آید. به نظر می‌رسد که این روش، با روش‌های متداول متفاوت است، اما تجارت نشان میدهد که این روش موثر است.

شکل ۱۳-۱۳ تا ۱۳-۱۶ تغییرات سیستم نیرو در حین عقب بردن کanine توسط حلقه لاستیکی بر روی وایر کامل را، نشان می‌دهد. این شکلها زاویه دقیق را، نشان نمی‌دهند، ولی تغییرات نیرو در حین بستن فضا را، نشان می‌دهند. در طی عقب بردن کanine به علت اینکه محل خم دیستالی تر از  $\frac{1}{3}$  فاصله بین براکتها است، ۲ گشتاور ایجاد می‌شود که در یک جهت است، ولی مساوی نیستند. این باعث افزایش تکیه گاه در زمان شروع عقب بردن کanine می‌شود. در حالیکه کanine به طور آهسته به عقب می‌رود، خم در محل اولیه خود باقی می‌ماند در این حالت خم به مرکز فاصله بین ۲

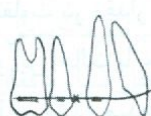
براکت نزدیک‌تر می‌شود. چون کائین به سمت خم حرکت می‌کند (شکل ۱۳-۱۷). در صورتیکه نیروی به کار برده شده برای عقب بردن کائین، بیش از اندازه فعال نشده باشد، گشتاور بزرگ‌تر، دندانهای تکیه‌گاه را به صورت عمودی نگه می‌دارد. اگر خم درمزیال برآکت پره مولر دوم باشد دندان پره مولر دوم در موقعیت عمودی قرار داده می‌شود. اگر پره مولر دوم بدون برآکت باشد و در نتیجه خم، مزیال تیوب مولر واقع گردد، مولر به صورت عمودی قرار می‌گیرد. (شکل ۱۳-۱۸). در هر ۲ حالت دندان کائین به طرف مرکز خم حرکت می‌کند. اگر پره مولر دوم بدون برآکت باشد، حرکت چرخشی انتقالی کائین به علت تفاوت زیادتر بین مقادیر گشتاورهای موجود در ناحیه کائین و مولر، بیشتر می‌گردد. همینطور که کائین عقب می‌رود گشتاور کوچک در کائین ظاهر می‌گردد که مخالف جهت گشتاور اولیه است. بدین ترتیب باعث کاهش قدرت تکیه‌گاه در ناحیه مولر می‌گردد. تغییرات سیستم نیرو ثابت می‌باشد. موقعی که فضا بسته می‌شود، میزان تکیه‌گاه کاهش می‌یابد. در حین بستن فضا گشتاور بزرگ‌تر در ناحیه تکیه‌گاه، در سمتی که دندان کشیده شده، باقی می‌ماند. تیوب یا برآکتی که نزدیک‌تر به خم باشد، گشتاور بزرگ‌تری دارد.



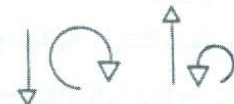
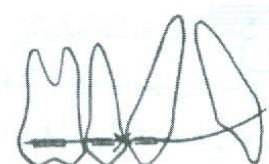
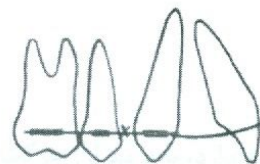
شکل ۱۳-۱۲ : افزایش فاصله بین برآکتها با باند نکردن پره مولر دوم و با قرار دادن خم در نزدیکی تیوب مولر، باعث اختلاف بیشتری درمیزان گشتاورها، می‌گردد.



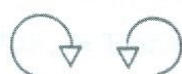
شکل ۱۳-۱۳ : سیستم نیروی اولیه در خلال حرکت کائین به سمت عقب



شکل ۱۳-۱۴ : سیستم نیرو در هنگامی که مقداری از حرکت کائین به سمت عقب انجام شده است.

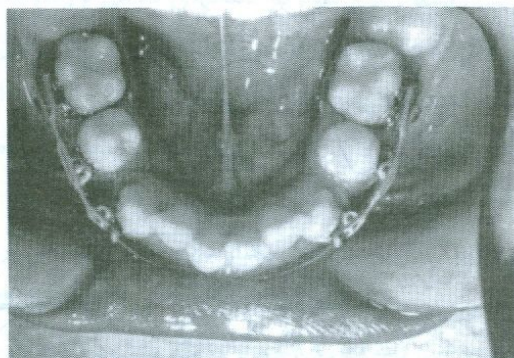


شکل ۱۳-۱۵: سیستم نیرو قبل از اینکه بستن فضا به طور کامل انجام گیرد.

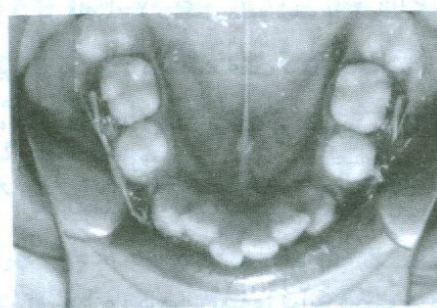


شکل ۱۳-۱۶: سیستم نیرو در ادامه بسته شدن فضا (از نظر تکنیک، گشتاورها به علت زاویه دار بودن برآکت کائین،

نامساوی هستند)

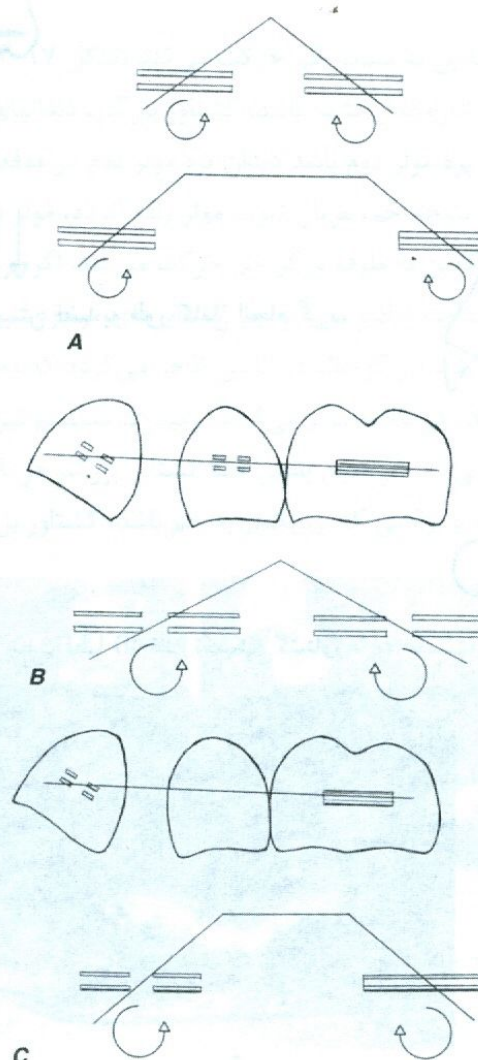


شکل ۱۳-۱۷: عقب بردن کائین در بیماری که پره مولرها، دارای برآکت است. به فضای کوچک بین برآکتها توجه شود.



شکل ۱۳-۱۸: عقب بردن کائین در بیماری که پره مولر دوم یک سمت بدون برآکت است. خم خارج از مرکز در ناحیه تیوب مولر، باعث افزایش تکیه گاه نسبت به خم خارج از مرکز در سمت دیگر که در مزیال پره مولر دوم داده شده است، می گردد.

در نهایت وقتی فضا بسته می شود و تکیه گاه مورد نیاز نمی باشد، خم در مرکز قرار می گیرد. این در حالی اتفاق می افتد که بیمار نیاز به موازی کردن ریشه ها دارد. اگر پره مولر دوم بدون برآکت باشد (شکل ۱۳-۱۸) با بستن کامل فضا، خم در مرکز ایجاد نمی شود. چون در شروع بستن فضا، خم اولیه به صورت خارج از مرکز می باشد و نزدیک مزیال تیوب مولر قرار دارد. فعال کردن واپر در داخل دهان با ایجاد یک خم در دیستال کائین معادل خم در مرکز است. چون خم خارج از مرکز در مزیال تیوب مولر و خم دیستال برآکت کائین، هر کدام زاویه مخالف دارند و گشتاور مخالف ایجاد می کنند. (شکل ۱۳-۱۹).



شکل ۱۳-۱۹ : در تصویر A، خمی که در مرکز فاصله ۲ براکت داده شده یا ۲ خم که خارج از مرکز است، باعث ایجاد سیستم نیروی یکسانی می‌گردد. در تصویر B، یک خم در ادامه عقب بردن کائین با وجود براکت بر روی پره مولر دوم مشاهده می‌شود. خم در مزیال براکت پره مولر دوم داده شده است. در تصویر C، ۲ خم خارج از مرکز در ادامه عقب بردن کائین بدون وجود براکت بر روی پره مولر دوم مشاهده می‌شود. خم در دیستال براکت کائین بعد از اینکه بستن فضای مزیال کامل گردید، اضافه می‌شود.

استفاده از دو نوع خم خارج از مرکز برای موازی کردن ریشه‌ها فواید دیگری هم، دارد، اگر پره مولر اول خارج گردیده در حالیکه مولر دوم شیری موجود است (شکل ۱۳-۲۰). عقب بردن کائین می‌تواند با ایجاد خم خارج از مرکز در مزیال مولر انجام گیرد و سپس یک خم دیگر در دیستال کائین در ادامه بستن فضای قرار داده شود. این خم دوم برای ایجاد زاویه مساوی و مخالف بکار برده می‌شود (شکل ۱۳-۱۹). همانطور که گفته شد دو خم خارج از مرکز طوری می‌توانند قرار داده شوند که معدل سیستم نیرویی مانند یک خم در مرکز باشد. گشتاورها در این حالت به طور مساوی و در خلاف جهت هم بوجود می‌آید. در صورتی که براکت پره مولر دوم جدا شود (شکل ۱۳-۱۸) خم اولیه دور از مرکز در مزیال پره مولر دوم باید برداشته شود و یک خم خارج از مرکز در مزیال تیوب مولر قرار داده شود. سپس بلافارسله بعد از بستن فضای مزیال براکت کائین ایجاد شود. تا گشتاور مساوی و مخالف برای موازی کردن ریشه‌ها، ایجاد گردد. بعد از عقب بردن کائین، ردیف کردن دندانهای قدامی باید انجام گیرد، اگر نیاز به عقب بردن

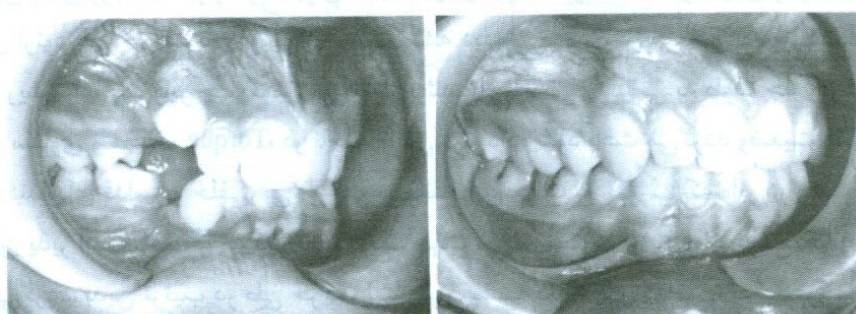
دندانهای قدامی وجود دارد، باید میزان حرکت چرخشی انتقالی در مقابل حرکت انتقالی دندانها تعیین گردد. اگر فقط نیاز به حرکت چرخشی انتقالی وجود دارد، یک وایر بدون لوب مانند (شکل ۲۱-۱۳) مورد استفاده قرار می‌گیرد. یک قوسی در دیستال وایر، برای ایجاد یک گشتاور مخالف چرخش در دندان مولر در طی بستن فضا تعییه می‌شود در حالیکه قوس spee وایر باعث کنترل حرکت چرخشی انتقالی با ایجاد مرکز چرخش نزدیک ریشه‌های دندانهای قدامی می‌گردد. حلقه لاستیکی نیروی لازم برای بستن فضا را، تامین می‌کند. در اینجا باید توجه کرد که مشکل تکیه‌گاه وجود ندارد. اگر عقب بردن دندانهای قدامی نیاز به تقویت تکیه‌گاه دارد، استفاده از وایر در تیوب مولر که از ناحیه ژنثیوال دندانهای خلفی می‌گذرد و به برآکتهای دندانهای قدامی بسته می‌شود امکان پذیر است درگیر نشدن دندانهای خلفی دارای برآکت مهم است. این درگیر نشدن ایجاد تعادل  $2\times 4$  می‌نماید و باعث تقویت تکیه‌گاه خلفی می‌شود، این حالت با استفاده از curve of spee در وایر باعث افزایش گشتاور در ناحیه مولر می‌شود. قوس spee، لغزش وایر در تیوب در طی عقب بردن دندانهای قدامی بالا را، ممکن می‌سازد، در حالیکه هم زمان مانع ایجاد هر گونه Torque در برآکتهای دندانهای قدامی می‌شود. چون هم tip back و هم قوس ساخته شده ایجاد Torque های افتراقی می‌نماید، در نتیجه هنگام عقب بردن دندانها، تکیه‌گاه تقویت می‌شود. این عمل باعث حرکت چرخشی انتقالی دندانهای قدامی می‌شود. در بیمارانی که نیاز به حرکت ریشه از نوع سوم در دندانهای قدامی دارند. بکار بردن چنین گشتاوری باید با دقت انجام گیرد چون باعث بیرون زدگی تاج دندانهای قدامی (flaring) و از بین رفتن تکیه‌گاه خلفی می‌شود و ممکن است باعث از بین رفتن روابط II مولر گردد. برای مقابله، باید یک گشتاور مخالف در انتهای وایر ایجاد کرد.

در درمانهای ارتودنسی حرکت تاج زودتر از حرکت ریشه دیده می‌شود. پس هنگامی که حرکت از نوع سوم برای لینگوالی کردن ریشه‌ها با یک وایر چهارگوش موردنظر باشد، تاج دندانهای قدامی به طرف جلو حرکت می‌کنند ولی اگر یک گشتاور مساوی و مخالف Torque، در ناحیه خلفی قرار داده شود باعث می‌گردد وضعیت CII مولرها باقی بماند و در نتیجه تاج دندانهای قدامی و خلفی، بی حرکت می‌مانند. این حالت در صورتی که وایر در پشت تیوب مولر بسته شده باشد، امکان پذیر است. وقتی با حرکت تاج در یک جهت مقابله می‌شود، گشتاور موجود منجر به حرکت ریشه‌ها در جهت مخالف می‌گردد. بدین ترتیب در طی حرکت لینگوالی ریشه دندانهای قدامی، یک حرکت مزیالی در ریشه دندانهای خلفی ایجاد می‌شود که رابطه CII حفظ می‌گردد. توصیه می‌شود که وایرها را به طور مقطعی در مراحل انتهایی درمان برداشته شوند. (شکل ۲۲-۱۳) تا باعث جا افتادن کاسپیها قبل از برداشتن دستگاه ارتودنسی گردد.

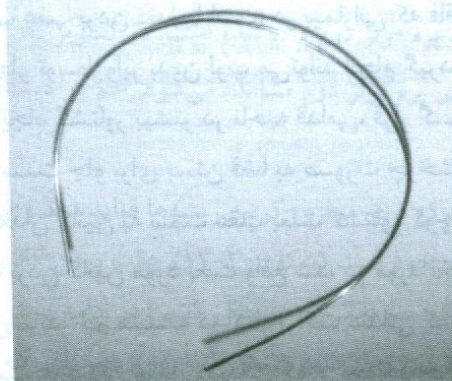
جلو بردن دندانها در حقیقت مخالف عقب بردن دندانها است، در بیمارانی که فاقد پره مولر دوم به طور مادرزادی هستند، حرکت دادن مولرها به طرف جلو توسط وایر بدون لوب می‌تواند انجام گیرد، ولی خم خارج از مرکز، باید در دیستال دندان پره مولر اول به منظور ایجاد گشتاور بیشتر در ناحیه قدامی، قرار گیرد. در این حالت دندانهای مولر دارای گشتاور کوچکتر می‌باشند و به سمت جلو برای بستن فضا به صورت چرخشی انتقالی حرکت می‌کنند. این حالت مشابه حرکت چرخشی انتقالی دندان کائین به سمت عقب بعلت گشتاور کوچکتر نسبت به دندانهای خلفی می‌باشد. تمام مواردی که در طی عقب بردن کائین مورد بحث واقع شد، در مورد اخیر نیز وجود دارد با تفاوت اینکه سیستم نیرو به صورت مخالف عمل می‌نماید. خم همیشه در کنار برآکت دندانی که نیاز به حرکت زیاد ندارد قرار می‌گیرد، بدین ترتیب باعث گشتاور کمتر در دندان مقابل (دندانی که می‌خواهد حرکت کند) می‌گردد. دندان با گشتاور چهار حرکت چرخشی انتقالی می‌شود. سیستم نیروی انتقالی (شکل ۱۳-۱۶ تا ۱۳-۱۶) وقتی که فضا با ریشه‌های موازی بسته می‌شود، باعث از دست دادن تدریجی تکیه‌گاه می‌گردد. در نهایت توجه به تکنیکهای عقب بردن و تکیه‌گاه منجر به درک اصول مکانیک حرکات جلو آوردن دندانها می‌شود.

### خلاصه

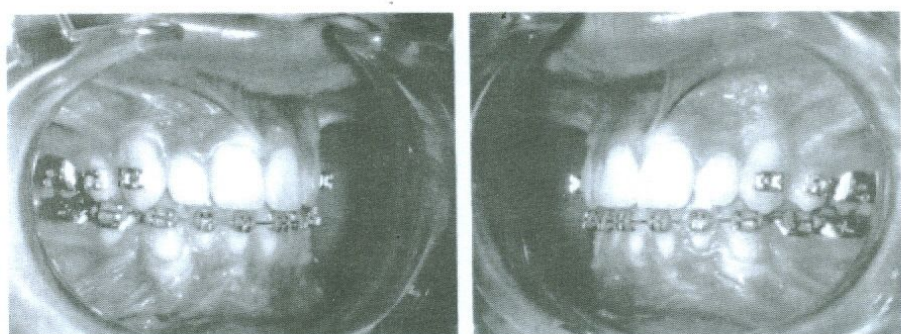
درمانهای موجود با خارج کردن دندانها، بسیار متنوع است. به علت اینکه بستن فضای می‌تواند شامل ۴ پره مولر، یا ۲ پره مولر اول فک بالا، یا یک پره مولر، یا یک انسیزور پایین و غیره باشد، سیستم نیرو در رابطه با زوایای مختلف وایر برآکت، باعث می‌گردد که متخصص ارتودنزی از محل قرار دادن خم در وایر مطلع و آگاه باشد. خم‌هایی که مورد بحث واقع شدند، قادر به ایجاد سیستم نیروهای متفاوتی در خلال بستن فضای می‌باشند، و باعث می‌شود متخصص ارتودنزی بر اساس نیازهای تکیه‌گاه طرح مناسب را، برگزیند. تلاش بیشتر، برای ایجاد یک رابطه زاویه‌ای، به جای رابطه دیگر لازم نیست، اما اگر چنین عملی انجام گیرد، در بسیاری موارد هم برای بیمار و هم برای متخصص ارتودنزی دارای مزیت است. استفاده از هدگیر، و کش‌ها ممکن است به حداقل برسند یا حذف گردد. استفاده از وایرهای بدون لوپ با خم‌های از قبل داده شده باعث می‌گردد که متخصص ارتودنزی، درک بهتری از نیروها و گشتاورهایی که در شروع عقب بردن یا جلو آوردن دندانها و تغییراتی که در اثر حرکت دندانی در حال اتفاق افتادن است، داشته باشد. حرکت دندانها باعث تغییر موقعیت خم روی وایر نمی‌شود. اما موقعیت خم نسبت به فاصله بین برآکتها در اثر حرکت دندانها، تغییر می‌نماید. با این طرز تفکر، می‌توان یک خم را در شروع بستن فضای می‌باشد در وایر تعییه نمود و سیستم نیرو را، همانگونه که دندانها به سمت خم حرکت می‌نمایند، مورد ملاحظه قرار داد. سیستم‌های نیرویی که ایجاد می‌گردند، در کل مراحل بستن فضای می‌توانند به طور مطلوب عمل نمایند.



شکل ۱۳-۲۰ : در این تصویر عقب بردن کائین قبل از رویش پره مولر مشاهده می‌شود.



شکل ۱۳-۲۱ : در این تصویر وایر بدون لوپ که دارای curve of spee و انحنای در ناحیه خلفی برای کنترل چرخش مولر است، مشاهده می‌شود.



شکل ۱۳-۲۲: بعد از اینکه کاسپها در محل خود واقع شدند، واپر فک بالا و برآکتهای دندانهای قدامی برداشته شدند.

## REFERENCES

1. Mulligan TF: Common Sense Mechanics. Phoenix, Az: CSM, 1982.
2. Isaacson RJ, Lindauer SJ, Rubenstein LK: Moments with the edgewise appliance: Incisor torque control. Am J Orthod Dentofac Orthop 103(5): 428-438, 1993.
3. Nikolai RJ: Bioengineering Analysis of Orthodontic Mechanics. Philadelphia: Lea & Febiger, 1985, pp. 56-69.
4. Burstone CJ, Koenig HA: Force systems from an ideal arch. Amer J Orthod 65:270-289, 1974.
5. Burstone CJ, Goldberg AJ: Beta titanium: A new orthodontic alloy. Amer J Orthod 7:2,121-132, 1980.
6. Burstone CJ, Bai Q, Morton JY: Chinese NiTi wire-A new orthodontic alloy. Amer J Orthod 87(6):445-453, 1985.
7. Nelson K, Burstone CJ, Goldberg AJ: Optimal welding of beta titanium orthodontic wires. Amer J Orthod 92:213-219, 1987.
8. Burstone CJ, Koenig HA: Creative wire bending-The force system from step and V bends. Amer J Orthod Dentofac Orthop 93:59-67, 1988.
9. Ronay F, Kleinert Melsen B, Burstone CJ: Force system developed by V bends in an elastic Orthodontic wire. Amer J Orthod Dentofac Orthop 96(4):295-301, 1989.
10. Burstone CJ: The rationale of the segmented arch. Amer J Orthod 48:(11) 805-812, 1962.
11. Marcotte MR: Preliminary bracket alignment. In Biomechanics in Orthodontics. TorontoL B.C. Decker, 1990, pp. 45-83.
12. Mulligan TF: Common Sense Mechanics (Office course).
13. Isaacson RJ, Lindauer SJ, Rubenstein LK: Activating a 2 × 4 appliance. Angle Orthod 63(1):17-24, 1993.

73. Spiller RE, Waters NE, Birnie DJ, Pethybridge RJ: A comparison of the forces required to produce tooth movement in vitro using two self-ligating brackets and a pre-adjusted bracket employing two types of ligation. *Eur J Orthod* 15:377-385, 1993.
74. Stolzenberg J: The efficiency of the Russell attachment and its improved advantages. *Int J Orthod Dent Children* 21(9):837-840, 1935.
75. Stolzenberg J: The efficiency of the Russell attachment. *Am J Orthod Oral Surg* 32:572-582, 1946.
76. JCO interviews: Dr. G. Herbert Hanson on the speed bracket. *J Clin Orthod* 10:183-189, 1986.
77. Drescher D, Bourquel C, Schumacher HA: Optimization of arch guided tooth movement by the use of uprighting springs. *Eur Orthod Soc* 12:346-353, 1990.
78. Tamaguchi K, Nanda RS, Morimoto N, Oda Y: A study of force application, amount of retarding force and bracket width in sliding mechanics. *Am J Orthod Dentofac Orthop*, 1995 (accepted for publication).
79. Kamiyana M, Sasaki T: friction width of brackets. *J Jap Orthod Soc* 32:286-289, 1973.
80. Frankel VH, Burstein AH: Orthopedic Biomechanics: Viscoelasticity. Philadelphia: Lea & Febiger, 1971, pp. 96-117.
81. Kurashima K: The viscoelastic properties of the periodontal membrane and alveolar bone. *J Stomatol Soc* 30:361-385, 1963.
82. Thurow RC: Intermaxillary deviations. *Atlas of Orthodontic Principles*. St. Louis, C.V. Mosby, 1977, pp. 380-413.
83. Adreasen GF, Bishara S: Comparison of Alastiks chains with elastics involved with intra-arch molar to molar forces. *Angle Orthod* 40:151-158, 1970.
84. Bishara SE, Andreasen GF: A comparison of time related forces between plastic Alastiks and latex elastics. *Angle Orthod* 40:319-328, 1970.
85. Hershey HG, Reynolds WG: The plastic module as an orthodontic tooth-moving mechanism. *Am J Orthod* 67:554-562, 1975.
86. Young J, Sandrik JL: The influence of preloading on stress relaxation of orthodontic elastic polymers. *Angle Orthod.* 49:104-109, 1979.
87. Kuster R, Ingerball B, Burgin W: Laboratory and intraoral test of the degradation of elastic chains. *Eur J Orthod* 8:202-208, 1986.
88. Lu TC, Wang WN, Tarng TH, Chen JW: Force Decay of Elastomeric Chain - A Serial Study. Part II. *Am J Orthod Dentofac Orthop* 104:373-377, 1993.
89. Ferriter J, Meydris C, Lorton L: The effect of hydrogen ion concentration on the force degradation rate of orthodontic polyurethane chain elastics. *Am J Orthod* 87:377-384, 1985.
90. De Genova DC, McInnes-Ledoux P, Weinberg R, Shaye R: Force degradation of orthodontic elastomeric chains- A product comparison study. *Am J Orthod* 87:377-384, 1985.
91. Rock WP, Wilson HJ, Fisher SE: A laboratory investigation of orthodontic elastomeric chains. *Br J Orthod* 12:202-207, 1985.
92. Annello JC: Force degradation characteristics of Orthodontic colored elastomeric chains-A comparative study. (Abstract.) *Am J Orthod Dentofac Orthop* 105:423, 1994.
93. Bell WR: A study of applied force as related to the use of elastics and coil springs. *Angle Orthod* 21:151-154, 1951.
94. Kovatch JS, Lautenschlager EP, Apfel DA, Keller JC: Load-extension-time behavior of orthodontic alastiks. *J Dent Res* 55:786, 1076.
95. Sonis A, Van der Plas E, Gianelly A: A comparison of elastomeric auxillaries versus elastic thread on premolar extraction site closure: An in vivo study. *Am J Orthod* 89:73-77, 1986.
96. Arnold EB, Cunningham JS: Coil springs as application of force. *Int J Orthod Dent Child* 20:577-579, 1934.
97. Webb RI, Caputo AA, Chaconas SJ: Orthodontic force production by closed coil springs. *Am J Orthod* 74:405-409, 1978.
98. Chaconas SJ, Caputo AA, Haryey K: Orthodontic force characteristics of open coil springs. *Am J Orthod* 85:494-497, 1984.
99. Boshart BF, Currier GF, Nanda RS, Duncanson MG Jr: Load-deflection rate measurements of activated open and closed coil springs. *Angle Orthod* 60:27-34, 1991.

101. Miura F, Mongi M, Ohura Y, Karibe M: The super-elastic Japanese NiTi alloy wire for use in orthodontics: Part III. Studies on the Japanese NiTi alloy coil springs. Am J Orthod Dentofac Orthop 94:89-96, 1988.
102. angolkar PV, Arnold JV, Nanda RS, Duncanson MG Jr: Force degradation of closed coil springs: An in vitro evaluation. Am J Orthod Dentofac Orthop 102:127-133, 1992.

## فصل ۱۳

### ملاحظات کلینیکی خارج کردن دندانها در ارتودنسی

أنواع دستگاههای ارتودنسی و تکنیکهای متفاوتی برای درمان بیمارانی که دندانها در آنها خارج می‌شود به کار می‌رود. و روش‌های متعددی برای تعیین دندانی که باید خارج شود وجود دارد، اگرچه عقیده یکسانی برای انتخاب دستگاه ایده‌آل یا توافق عمومی در مورد خارج کردن دندان بخصوصی وجود ندارد و این مشکل در سالهای آینده باقی خواهد ماند. کاربرد اصول انواع حرکتهای دندانی در حین خارج کردن دندانها، با در نظر گرفتن قانون تعادل باید مورد توجه قرار گیرند<sup>(۱-۴)</sup>. شناخت نیروها و گشتاورهای موجود باعث تصمیم‌گیری مناسب در طرح درمان می‌شود و بستگی به مکانیک حرکتهای دندانی دارد. متخصص ارتودنسی با واپرها باحافظه<sup>(۵-۷)</sup> و طراحی لوپهای ابتکاری می‌تواند حرکت مورد نظر را، بدست آورد ولی دندانها می‌توانند به راحتی بدون لوپها و با استفاده از واپرها ارزان قیمت حرکت کنند. انواع حرکات دندانی توسط واپر بدون لوپ، نیاز به درک گشتاورها و نیروها، و قرار دادن محل مناسب خم دارد<sup>(۸)</sup>.

هدف از این فصل، توجه به کاربرد نیروها و گشتاورها در درمانهایی که با خارج کردن دندان توام است، بدون توجه به نوع دستگاه ارتودنسی یا دندانهایی که خارج شده‌اند، می‌باشد. متخصص ارتودنسی ممکن است این دستگاهها را، بدون توجه به نظر اکثرب ارتودنسیستها و نوع تصمیم‌گیری برای خارج کردن دندانها، به کار ببرد. برای ساده‌تر کردن مطلب فرض می‌شود که درمان توسط یک واپر کامل بدون لوپ انجام گیرد.

#### نکات بیومکانیکی در خم کردن واپر بدون لوپ

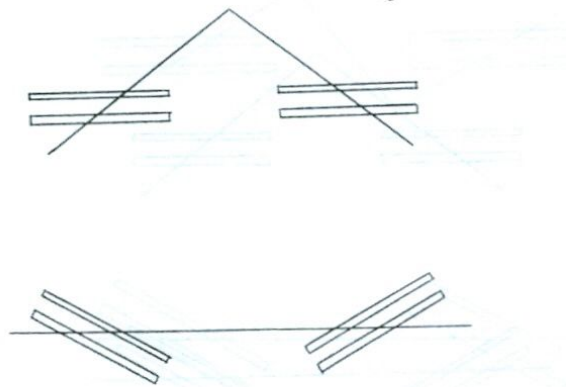
هدف از این فصل عدم استفاده از لوپ نمی‌باشد. بلکه استفاده از یک روش جایگزین می‌باشد، که بتواند نیروها و گشتاورهای موجود را، ارزیابی و حرکات دندانی را، پیش‌گویی نماید.

در ابتداء مقایسه شیار برآکتهای استاندارد و درجه‌دار و بررسی روابط زاویه‌ای به منظور فعال شدن واپر، بحث می‌شود. وقتی واپر در شیار برآکت قرار می‌گیرد، حتماً یک رابطه خم‌دار برای حرکت دندانی ایجاد می‌شود. شکل ۱۳-۱۱ نشان می‌دهد که آیا شیارها در یک راستا می‌باشند و در واپر خم ایجاد می‌شود؟ یا شیارها زاویه‌دار می‌باشند و واپر مستقیم است؟ در هر دو سیستم زاویه بین شیار برآکت و واپر یکسان است. در حالتی که واپر مستقیم است و شیارها زاویه‌دار می‌باشند، متخصص ارتودنسی باید با ارزیابی بیمار موقعیت برآکتها را، در مقدمه قرار دهد. شب شیارهای برآکت روی تاج دندانها یا زاویه‌ای که بر اثر موقعیت متفاوت دندانها در ناهنجاریهای مختلف بدون توجه به موقعیت دندانها به وجود می‌آید، باید مورد ملاحظه واقع گردد. در هر دو سیستم یک زاویه تشکیل می‌شود، بنابراین در هر دو روش، یک سیستم

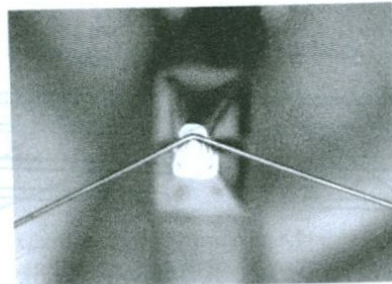
نیرو ایجاد می‌گردد. متخصص ارتودنسی باید بدون توجه به اندازه شیار و یا فاصله بین برآکتها سیستم نیرو را، بشناسد و در نظر داشته باشد که روابط بدون تغییر باقی خواهد ماند. روابط زاویه‌ای زیادی وجود دارد که در مقالات به طور دقیق بحث گردیده است. ملاحظاتی که در این بخش عنوان می‌شود برای متخصص ارتودنسی بیشتر جنبه کلینیکی دارد، که به موجب آن، این اصول در روش‌های قابل قبول به کار بردۀ می‌شود. برای رسیدن به این هدف متخصص ارتودنسی باید شرایط خاصی را، بپذیرد. از نقطه نظر علمی هر دو سیستم، به عنوان ایده آل هستند. دستگاههایی که در درمانهای ارتودنسی به کار بردۀ می‌شوند، از این اصول پیروی می‌کنند<sup>(۱۰)</sup>. به طور کلی خیلی از متخصصین ارتودنسی در به کار بردن این اصول در درمانهای روزمره ناتوان هستند و دانش کافی را، ندارند. بنابراین واقعیت این است که درمان ایده آل را، به حد قابل قبولی با استفاده از مکانیک‌های به کاربرده شده به انجام رسانید. به علت اینکه متخصصین ارتودنسی با انواع متفاوتی از مال اکلوژنها سر و کار دارند و دستگاههای ارتودنسی می‌توانند قسمتی از دندانها یا تمام آنها را، در بر گیرد، پیشنهاد می‌شود که رابطه زاویه‌ای بین واير و برآکت با وسائل داخل دهانی مثل پلائر Tweed loop ایجاد شود، این فعال کردن به طور دقیق در مطالب بعدی بحث خواهد شد.

دندانهایی که دارای برآکت هستند و بلا فاصله مجاور خم در واير قرار دارند تحت تاثیر خم قرار خواهند گرفت و در آنها پاسخ اولیه ایجاد می‌شود. این خم‌ها در مرحله اول که برآکتها بر روی دندان قرار دارند، نبایستی توسط متخصص ارتودنسی ایجاد شود چون مال اکلوژن در این مرحله ایجاد زاویه‌ای بین برآکت واير می‌کند، و این به طور خود کار ایجاد یک سیستم نیرو می‌نماید<sup>(۱۱)</sup>. اگر چه این سیستم نیرو مطلوب نمی‌باشد، اما متخصص ارتودنسی باید از این اصول در استفاده از زاویه بین واير و برآکت، مطلع باشد. از سیستم نیرویی که در خلال ردیف شدن دندانها ایجاد می‌شود، می‌توان استفاده یا از ایجاد آن، جلوگیری کرد. ضمناً فعال کردن واير در داخل دهان باید بعد از ردیف شدن برآکتها انجام گیرد. پاسخ اولیه به اولین حرکت دندانی اطلاق می‌شود و به طور همزمان پاسخ‌های دیگری ممکن است بوجود آید، که نامطلوب می‌باشد. پاسخ‌های دیگر به عنوان پاسخ ثانویه تلقی می‌شود و باید از ایجاد آنها جلوگیری نمود و با حذف خم‌ها در ادامه پاسخ اولیه، آنها را به حداقل رساند. تاکید می‌شود که سیستم نیرویی که از نظر تکنیک بحث گردید، برای هر دو برآکت، به کار بردۀ می‌شود. اما به منظور استفاده روزانه کلینیکی یک روش عملی قابل قبول، توصیه می‌شود. به منظور روش‌کردن پاسخ اولیه در مقابل پاسخ ثانویه به شکل ۱۱-۲ مراجعه شود. خم نوع ۷ (gabel) و خم نوع ۸ (Tent) که از این به بعد به آن center bend گفته می‌شود، به عنوان یک خم در وسط ناحیه دندانهای خارج شده، برای موازی کردن ریشه‌ها به کار می‌رود. گشتاورهای موثر در برآکتها در دو طرف خم به صورت مساوی و مخالف هم، برای حرکت ریشه‌ها ایجاد می‌شود. اگر واير بعد از موازی کردن ریشه‌ها به فعالیت خود ادامه دهد، یک پاسخ نامطلوب ایجاد می‌شود. این پاسخ ثانویه باعث ایجاد حرکت بیش از حد ریشه‌ها به سوی همدیگر و هم چنین باعث بیرون زدگی دندانهای قدامی (flaring) می‌شود. spee reverse curve of flaring ۲ گشتاور مساوی و مخالف همدیگر در ۲ انتهای یک نیم فک می‌گردد که باعث flaring دندانهای قدامی می‌شود. به طور کلی reverse curve of spee می‌تواند به عنوان خم‌های نوع ۸ در فک پایین تلقی گردد که اولین تاثیرات آن روی دندانهای مجاور خم، اعمال spee می‌شود. به عبارت دیگر، پاسخ فوری و مطلوب نسبت به گشتاورهای مخالف و مساوی همدیگر می‌تواند به گونه‌ای حاصل شود که از ایجاد اثرات نامطلوب، جلوگیری شود تا اینکه پاسخ اولیه تامین شود. بعد از پاسخ اولیه، خم نوع ۸ در فک پایین برداشته می‌شود. به طور خلاصه اگر چنین خمی قرار داده شود، نیروها و گشتاورهایی ایجاد می‌شوند که اثرات اولیه آنها، روی دندانهای مجاور نسبت به خم است، در صورتیکه اثرات دیگر یا حذف یا به حداقل رسانده می‌شوند. برداشتن خم بعد از حصول پاسخ اولیه به منظور جلوگیری از اثرات نامطلوب توصیه می‌شود.

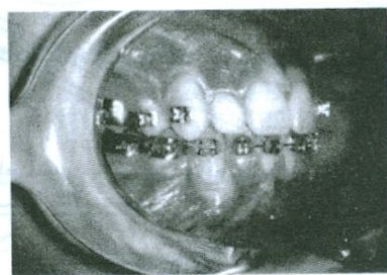
## ملاحظات کلینیکی خارج کردن دندانها در درمانهای ارتودنسی / ۲۹۳



شکل ۱۳-۱: شیارهای مستقیم و خم ایجاد شده در وایر باعث ایجاد سیستم نیرویی معادل با وایر مستقیم در شیارهای زاویه‌دار می‌گردد.

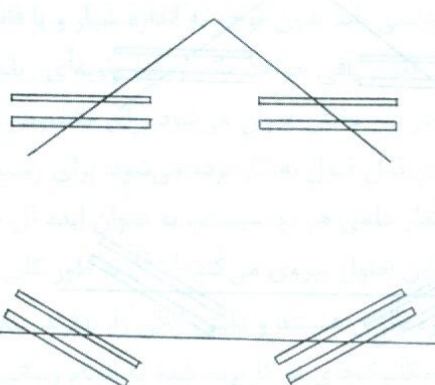


شکل ۱۳-۲: محل خم در مرکز فاصله بین کائین و پره مولر دوم باعث ایجاد پاسخ اولیه در این دندانها می‌گردد. در اینجا پاسخ اولیه موازی شدن ریشه‌ها می‌باشد.

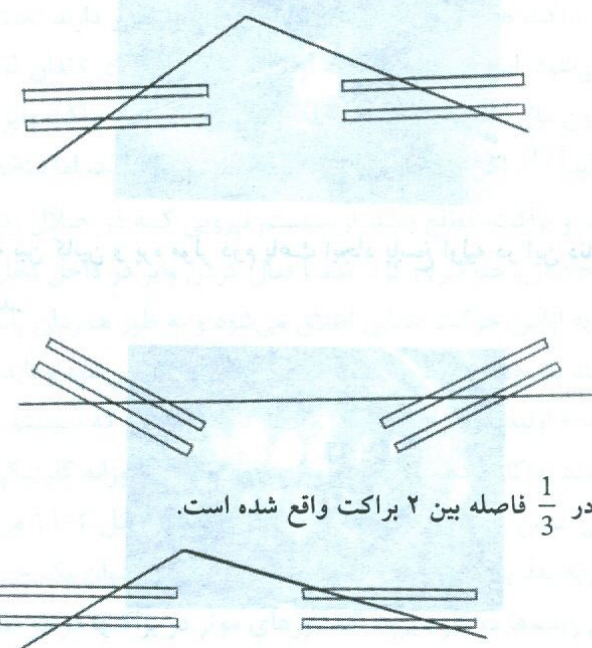


شکل ۱۳-۳: پلایر Tweed loop میتواند در دهان خم زاویه‌دار ایجاد نماید.

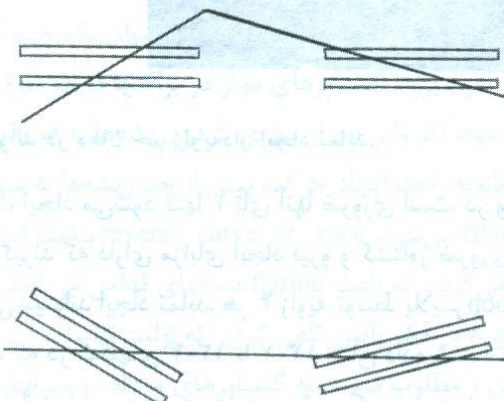
اگر چه ۴ زاویه بین وایر و براكت ایجاد می‌شود تنها ۲ تای آنها ضروری است. در واقع زوایای بیشتری ایجاد می‌شود، اما آنها مورد بحث قرار می‌گیرند که دارای مزایای ایجاد نیرو و گشتاور ضروری می‌باشند. و متخصص ارتودنسی فرم وایر را، در داخل دهان به راحتی میتواند ایجاد نماید. هر ۴ زاویه توسط پلایر Tweed - loop به صورت داخل دهانی ایجاد می‌شود (شکل ۱۳-۳)، که در شکلهای ۱۳-۴ تا ۱۳-۷ نشان داده شده است. این تصاویر شیار براكتهای هم ردیف و شیار براكتهای درجه‌دار را، نشان میدهد. در هر دو روش، یک سیستم نیرو تولید می‌گردد. در شیارهای براكتهای ردیف شده، فعال شدن داخل دهانی امکان پذیر است، تا زاویه وایر براكت ایجاد شود و سیستم نیرو اعمال گردد.



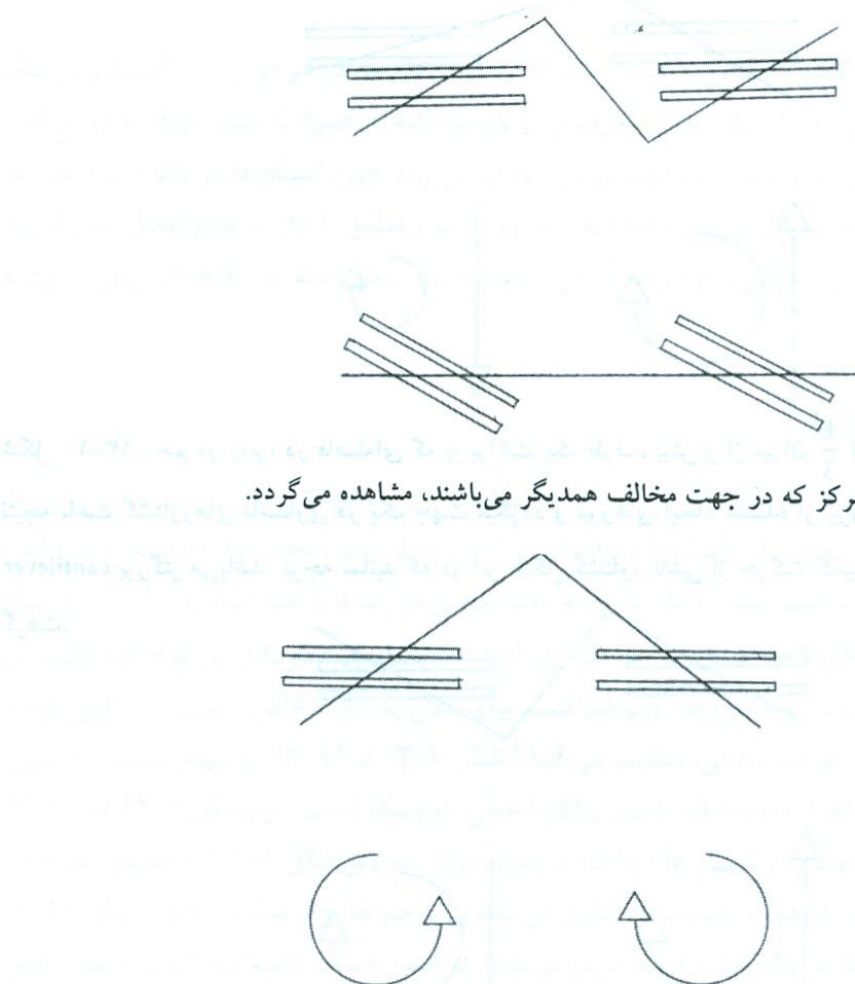
شکل ۴-۱۳: خم وایر در مرکز فاصله بین ۲ براکت قرار گرفته است.



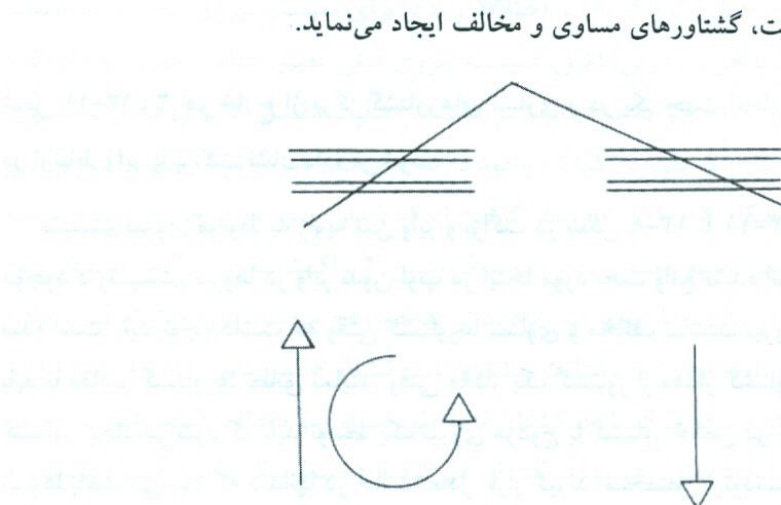
شکل ۱۳-۵: خم وایر در  $\frac{1}{3}$  فاصله بین ۲ برآکت واقع شده است.



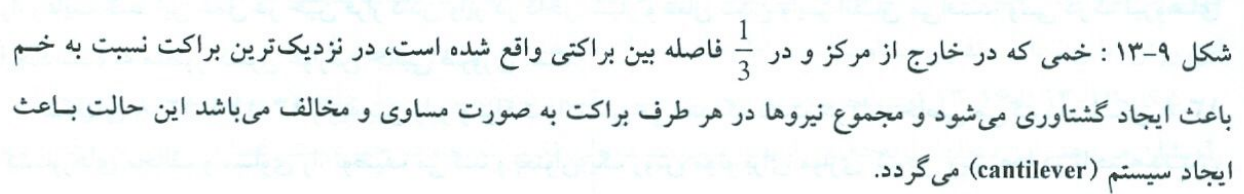
شکل ۶-۱۳: خم وایر به برآخت یک طرف، بیش از میزان  $\frac{1}{3}$  فاصله بین برآختی، نزدیک است.



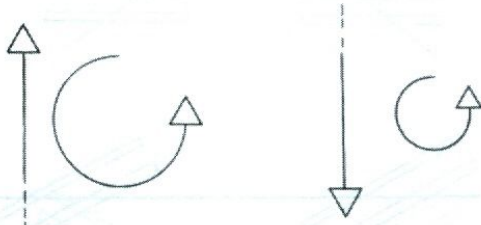
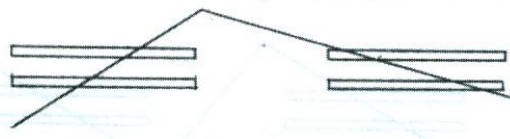
شکل ۱۳-۷ : در این شکل ۲ خم خارج از مرکز که در جهت مخالف همدیگر می‌باشند، مشاهده می‌گردد.



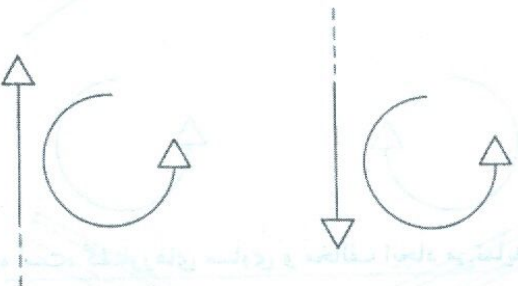
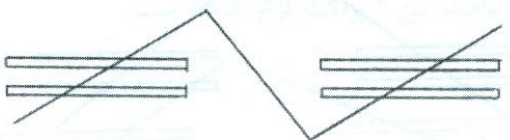
شکل ۱۳-۸ : خمی که در مرکز واقع شده است، گشتاورهای مساوی و مخالف ایجاد می‌نماید.



شکل ۱۳-۹ : خمی که در خارج از مرکز و در  $\frac{1}{3}$  فاصله بین برآکتی واقع شده است، در نزدیکترین برآکت نسبت به خم باعث ایجاد گشتاوری می‌شود و مجموع نیروها در هر طرف برآکت به صورت مساوی و مخالف می‌باشد این حالت باعث ایجاد سیستم (cantilever) می‌گردد.



شکل ۱۳-۱۰: خم در وایر، در فاصله‌ای که به برآکت یک طرف، بیشتر از میزان  $\frac{1}{3}$  فاصله بین برآکتی، نزدیک است. در نتیجه باعث گشتاورهای نامساوی در یک جهت می‌گردد و نیروهای ایجاد شده از نیروهای به وجود آمده در سیستم **cantilever** بزرگتر می‌باشد. توجه نمائید که در این شکل گشتاور ناشی از حرکت کائین به سمت عقب را، باید در نظر گرفت.



شکل ۱۳-۱۱: ۲ خم خارج از مرکز گشتاورهای مساوی و در یک جهت ایجاد می‌نمایند و بیشترین مقدار نیرو در ۴ نقطه در ارتباط وایر با برآکت نشان داده می‌شود.

سیستم نیروی مربوط به زاویه بین وایر و برآکت در شکل ۱۳-۸ تا ۱۳-۱۱ نشان داده شده است. علت اختلاف موجود در سیستم نیروها در وایر بدون لوب در اینجا مورد بحث واقع نشده است و در مقالات در رابطه با آن صحبت شده است. باید توجه داشت که وقتی گشتاورها مساوی و مخالف نباشند، نیروها به منظور ایجاد حالت تعادل سکون باید با مقادیر گشتاورها تطابق نمایند. وقتی مقدار یک گشتاور از مقدار گشتاور دیگر، متفاوت باشد، بنابراین، محصلة گشتاور ایجاد می‌شود که باید توسط یک نیروی مزدوج یا گشتاور خالص در جهت مخالف متداول گردد. این مجموعه نیروها باعث می‌شود که دندانها در حالت تعادل قرار گیرند. متخصص ارتودونتی نباید همیشه سعی کند که قوانین تعادل را، رعایت کند. این عمل در حین قرار دادن وایر در داخل شیار و فعل شدن وایر اتفاق می‌افتد، ولی در کنترل نیروهای ایجاد شده به منظور کنترل عوارض جانبی ضروری است.

شکلهای ۱۳-۸ تا ۱۳-۱۱ زاویه بین وایر و برآکت را، نشان می‌دهد که باعث حرکات خاصی می‌گردد. شکل ۱۳-۸ گشتاورهای مخالف و مساوی را، توصیف می‌کند و بعنوان یک روش موثر برای موازی کردن ریشه‌ها در ناحیه دندان خارج شده می‌باشد. شکل ۱۳-۹ برای درمان ناهنجاریهای مختلف در بیمارانی که دندانهای آنها خارج می‌شود به کار می‌رود. این شکل شامل کنترل موقعیت مزیودیستالی و باکولینگوالی شیارهای مرکزی دندان مولر می‌باشد. این سیستم نیروی انتهای آزاد برای intrude دندانها به علت داشتن خصوصیات نیروی تک روی برآکت مفید است. شکل

۱۳-۱۰ روش موثر برای عقب بردن کanine با کنترل مناسب تکیه گاه را، نشان میدهد در هر دو براکت گشتاور در یک جهت ایجاد می‌شود. در نهایت شکل ۱۳-۱۱ یک روش متعارف برای تقویت تکیه گاه همراه با خم tip back و حرکت لبیالی ریشه‌ها می‌باشد. ولی رابطه وایر و براکت باعث ایجاد نیروی زیادی می‌گردد چون گشتاورها در یک جهت، هستند نیروی متعادل کننده بزرگی لازم است. نیروی بزرگتر، باعث ایجاد نیروی مزدوج مطابق با نیاز سیستم تعادل می‌گردد. رابطه وایر براکت باید با احتیاط خاصی در پلان عمودی به کار بrede شود، چون ممکن است نیاز به هدگیر پس سری و همکاری بیمار وجود داشته باشد.

### عقب بردن و جلو آوردن دندانها

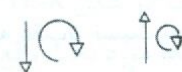
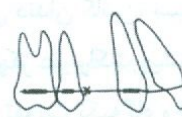
اگر چه این بحث شامل انواع مختلف درمانها با خارج کردن دندانها است، ولی موضوعاتی مثل ردیف شدن براکتها، درمان crossbite overbite به عنوان جزیی از تکنیک با درمان خارج کردن دندان، مورد بحث قرار نگرفته است. این بحث روی بستن فضا متمرکز گردیده است. بستن فضا احتیاج به دقت خاصی در رابطه با تکیه گاه دارد<sup>(۱۳)</sup>. آیا احتیاج به حداکثر عقب بردن دندانها وجود دارد؟ آیا احتیاج به حداکثر جلو آوردن دندانها وجود دارد؟ از هر کدام چه مقداری مورد نیاز است؟ نیاز بیمار تعیین کننده زاویه بین وایر و براکت است. برای مثال به حالت خاص عقب بردن کanine توجه شود. کدام ترکیب وایر براکت از نظر حرکت دندانی، مطلوب می‌باشد؟ شکل ۱۳-۸ تا ۱۳-۱۱، روش‌های موجود را، نشان میدهد. در بیماری که تمام دندانها باند شده باشد فاصله بین براکتها خیلی کوچک است. در شکل ۱۳-۸ تا ۱۳-۱۱ در درجات مختلف تکیه گاه بر اساس تفاوت بین گشتاورها مشاهده می‌شود. مرکز خم (در شکل ۱۳-۸) با گشتاور مساوی و مخالف هیچ گونه اثر بر روی تکیه گاه ندارد. اگر عقب بردن کanine در بیماری با خم خارج از مرکز مثل شکل ۱۳-۱۰ انجام گیرد. حرکت با گشتاورهایی که در یک جهت است، شروع می‌شود. در این حالت تکیه گاه اولیه بهتر تامین می‌گردد. با اذعان به اینکه فاصله بین براکتها خیلی کوچک است، اختلاف زیادی برای سیستم نیروی ایجاد شده نسبت به خم در مرکز وجود ندارد ولی بعد از حرکت جزیی دندان کanine، سیستم نیروی قبلی تغییر می‌کند، چون زاویه براکت و وایر تغییر می‌نماید. هر چه فاصله خم نسبت به مرکز دو براکت بیشتر باشد، تفاوت مقدار گشتاورها در براکتها مجاور بیشتر می‌شود. به عبارت دیگر اگر احتیاج به تقویت تکیه گاه وجود دارد، باید خم دور از مرکز قرار گیرد. این حالت با درگیر نکردن دندان پره مولر دوم (شکل ۱۳-۱۲) با در نظر گرفتن اینکه دندان پره مولر خارج شده است، ایجاد می‌گردد. در این حالت قرار دادن خم در ناحیه عقبتر نسبت به مرکز بین ۲ براکت باعث تفاوت بیشتری در اختلاف گشتاورها می‌گردد. گشتاور بزرگتر در براکت یا تیوب مولر نزدیکتر به خم واقع می‌شود. از آنجائیکه قرار دادن خم نزدیک تیوب مولر بجای مزیال پره مولر دوم باعث ایجاد تفاوت بیشتری بین گشتاورها می‌شود، این حالت باعث افزایش تکیه گاه می‌گردد. باید توجه کرد، اگر خم در مرکز باشد گشتاورها به طور مساوی و مخالف هم، هستند، ولی تفاوت خیلی جزیی در خارج از مرکز، باعث ایجاد تفاوت در مقدار گشتاور می‌گردد. همینطور که فاصله خم نسبت به مرکز افزایش یابد. اختلاف گشتاورها زیاد می‌شود و این حالت با عدم باندینگ دندانها بدست می‌آید. به نظر می‌رسد که این روش، با روش‌های متداول متفاوت است، اما تجارت نشان میدهد که این روش موثر است.

شکل ۱۳-۱۳ تا ۱۳-۱۶ تغییرات سیستم نیرو در حین عقب بردن کanine توسط حلقه لاستیکی بر روی وایر کامل را، نشان می‌دهد. این شکلها زاویه دقیق را، نشان نمی‌دهند، ولی تغییرات نیرو در حین بستن فضا را، نشان می‌دهند. در طی عقب بردن کanine به علت اینکه محل خم دیستالی تر از  $\frac{1}{3}$  فاصله بین براکتها است، ۲ گشتاور ایجاد می‌شود که در یک جهت است، ولی مساوی نیستند. این باعث افزایش تکیه گاه در زمان شروع عقب بردن کanine می‌شود. در حالیکه کanine به طور آهسته به عقب می‌رود، خم در محل اولیه خود باقی می‌ماند در این حالت خم به مرکز فاصله بین ۲

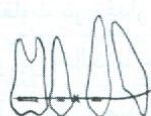
براکت نزدیک‌تر می‌شود. چون کائین به سمت خم حرکت می‌کند (شکل ۱۳-۱۷). در صورتیکه نیروی به کار برده شده برای عقب بردن کائین، بیش از اندازه فعال نشده باشد، گشتاور بزرگ‌تر، دندانهای تکیه‌گاه را به صورت عمودی نگه می‌دارد. اگر خم درمزیال برآکت پره مولر دوم باشد دندان پره مولر دوم در موقعیت عمودی قرار داده می‌شود. اگر پره مولر دوم بدون برآکت باشد و در نتیجه خم، مزیال تیوب مولر واقع گردد، مولر به صورت عمودی قرار می‌گیرد. (شکل ۱۳-۱۸). در هر ۲ حالت دندان کائین به طرف مرکز خم حرکت می‌کند. اگر پره مولر دوم بدون برآکت باشد، حرکت چرخشی انتقالی کائین به علت تفاوت زیادتر بین مقادیر گشتاورهای موجود در ناحیه کائین و مولر، بیشتر می‌گردد. همینطور که کائین عقب می‌رود گشتاور کوچک در کائین ظاهر می‌گردد که مخالف جهت گشتاور اولیه است. بدین ترتیب باعث کاهش قدرت تکیه‌گاه در ناحیه مولر می‌گردد. تغییرات سیستم نیرو ثابت می‌باشد. موقعی که فضا بسته می‌شود، میزان تکیه‌گاه کاهش می‌یابد. در حین بستن فضا گشتاور بزرگ‌تر در ناحیه تکیه‌گاه، در سمتی که دندان کشیده شده، باقی می‌ماند. تیوب یا برآکتی که نزدیک‌تر به خم باشد، گشتاور بزرگ‌تری دارد.



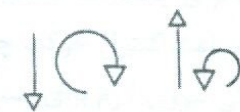
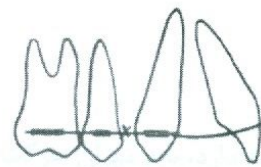
شکل ۱۳-۱۲ : افزایش فاصله بین برآکتها با باند نکردن پره مولر دوم و با قرار دادن خم در نزدیکی تیوب مولر، باعث اختلاف بیشتری درمیزان گشتاورها، می‌گردد.



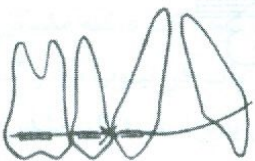
شکل ۱۳-۱۳ : سیستم نیروی اولیه در خلال حرکت کائین به سمت عقب



شکل ۱۳-۱۴ : سیستم نیرو در هنگامی که مقداری از حرکت کائین به سمت عقب انجام شده است.

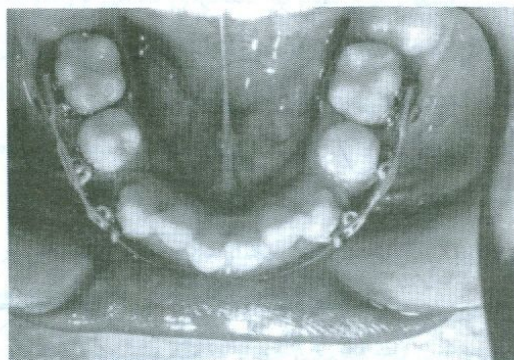


شکل ۱۳-۱۵: سیستم نیرو قبل از اینکه بستن فضا به طور کامل انجام گیرد.

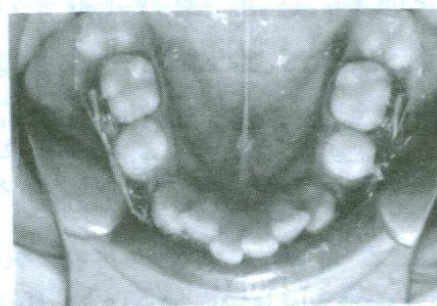


شکل ۱۳-۱۶: سیستم نیرو در ادامه بسته شدن فضا (از نظر تکنیک، گشتاورها به علت زاویه دار بودن برآکت کائین،

نامساوی هستند)

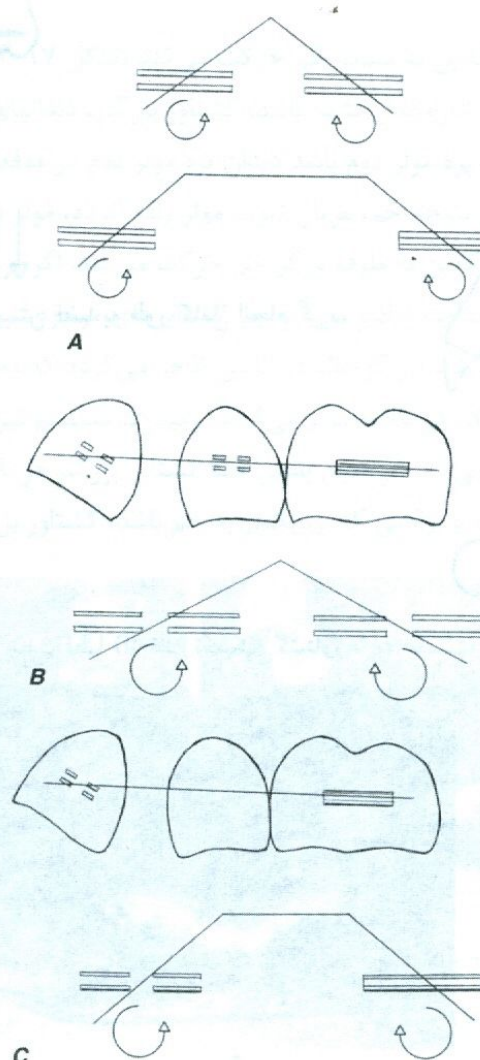


شکل ۱۳-۱۷: عقب بردن کائین در بیماری که پره مولرها، دارای برآکت است. به فضای کوچک بین برآکتها توجه شود.



شکل ۱۳-۱۸: عقب بردن کائین در بیماری که پره مولر دوم یک سمت بدون برآکت است. خم خارج از مرکز در ناحیه تیوب مولر، باعث افزایش تکیه گاه نسبت به خم خارج از مرکز در سمت دیگر که در مزیال پره مولر دوم داده شده است، می گردد.

در نهایت وقتی فضا بسته می شود و تکیه گاه مورد نیاز نمی باشد، خم در مرکز قرار می گیرد. این در حالی اتفاق می افتد که بیمار نیاز به موازی کردن ریشه ها دارد. اگر پره مولر دوم بدون برآکت باشد (شکل ۱۳-۱۸) با بستن کامل فضا، خم در مرکز ایجاد نمی شود. چون در شروع بستن فضا، خم اولیه به صورت خارج از مرکز می باشد و نزدیک مزیال تیوب مولر قرار دارد. فعال کردن واپر در داخل دهان با ایجاد یک خم در دیستال کائین معادل خم در مرکز است. چون خم خارج از مرکز در مزیال تیوب مولر و خم دیستال برآکت کائین، هر کدام زاویه مخالف دارند و گشتاور مخالف ایجاد می کنند. (شکل ۱۳-۱۹).



شکل ۱۳-۱۹: در تصویر A، خمی که در مرکز فاصله ۲ براکت داده شده یا ۲ خم که خارج از مرکز است، باعث ایجاد سیستم نیروی یکسانی می‌گردد. در تصویر B، یک خم در ادامه عقب بردن کائین با وجود براکت بر روی پره مولر دوم مشاهده می‌شود. خم در مزیال براکت پره مولر دوم داده شده است. در تصویر C، ۲ خم خارج از مرکز در ادامه عقب بردن کائین بدون وجود براکت بر روی پره مولر دوم مشاهده می‌شود. خم در دیستال براکت کائین بعد از اینکه بستن فضای مزیال کامل گردید، اضافه می‌شود.

استفاده از دو نوع خم خارج از مرکز برای موازی کردن ریشه‌ها فواید دیگری هم، دارد، اگر پره مولر اول خارج گردیده در حالیکه مولر دوم شیری موجود است (شکل ۱۳-۲۰). عقب بردن کائین می‌تواند با ایجاد خم خارج از مرکز در مزیال مولر انجام گیرد و سپس یک خم دیگر در دیستال کائین در ادامه بستن فضای قرار داده شود. این خم دوم برای ایجاد زاویه مساوی و مخالف بکار برده می‌شود (شکل ۱۳-۱۹). همانطور که گفته شد دو خم خارج از مرکز طوری می‌توانند قرار داده شوند که معدل سیستم نیرویی مانند یک خم در مرکز باشد. گشتاورها در این حالت به طور مساوی و در خلاف جهت هم بوجود می‌آید. در صورتی که براکت پره مولر دوم جدا شود (شکل ۱۳-۱۸) خم اولیه دور از مرکز در مزیال پره مولر دوم باید برداشته شود و یک خم خارج از مرکز در مزیال تیوب مولر قرار داده شود. سپس بلافارسله بعد از بستن فضای مزیال براکت کائین ایجاد شود. تا گشتاور مساوی و مخالف برای موازی کردن ریشه‌ها، ایجاد گردد. بعد از عقب بردن کائین، ردیف کردن دندانهای قدامی باید انجام گیرد، اگر نیاز به عقب بردن

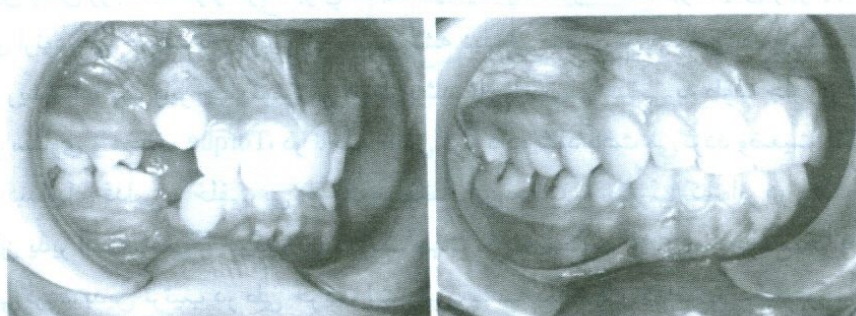
دندانهای قدامی وجود دارد، باید میزان حرکت چرخشی انتقالی در مقابل حرکت انتقالی دندانها تعیین گردد. اگر فقط نیاز به حرکت چرخشی انتقالی وجود دارد، یک وایر بدون لوب مانند (شکل ۲۱-۱۳) مورد استفاده قرار می‌گیرد. یک قوسی در دیستال وایر، برای ایجاد یک گشتاور مخالف چرخش در دندان مولر در طی بستن فضا تعییه می‌شود در حالیکه قوس spee وایر باعث کنترل حرکت چرخشی انتقالی با ایجاد مرکز چرخش نزدیک ریشه‌های دندانهای قدامی می‌گردد. حلقه لاستیکی نیروی لازم برای بستن فضا را، تامین می‌کند. در اینجا باید توجه کرد که مشکل تکیه‌گاه وجود ندارد. اگر عقب بردن دندانهای قدامی نیاز به تقویت تکیه‌گاه دارد، استفاده از وایر در تیوب مولر که از ناحیه ژنثیوال دندانهای خلفی می‌گذرد و به برآکتهای دندانهای قدامی بسته می‌شود امکان پذیر است درگیر نشدن دندانهای خلفی دارای برآکت مهم است. این درگیر نشدن ایجاد تعادل  $2\times 4$  می‌نماید و باعث تقویت تکیه‌گاه خلفی می‌شود، این حالت با استفاده از curve of spee در وایر باعث افزایش گشتاور در ناحیه مولر می‌شود. قوس spee، لغزش وایر در تیوب در طی عقب بردن دندانهای قدامی بالا را، ممکن می‌سازد، در حالیکه هم زمان مانع ایجاد هر گونه Torque در برآکتهای دندانهای قدامی می‌شود. چون هم tip back و هم قوس ساخته شده ایجاد Torque های افتراقی می‌نماید، در نتیجه هنگام عقب بردن دندانها، تکیه‌گاه تقویت می‌شود. این عمل باعث حرکت چرخشی انتقالی دندانهای قدامی می‌شود. در بیمارانی که نیاز به حرکت ریشه از نوع سوم در دندانهای قدامی دارند. بکار بردن چنین گشتاوری باید با دقت انجام گیرد چون باعث بیرون زدگی تاج دندانهای قدامی (flaring) و از بین رفتن تکیه‌گاه خلفی می‌شود و ممکن است باعث از بین رفتن روابط II مولر گردد. برای مقابله، باید یک گشتاور مخالف در انتهای وایر ایجاد کرد.

در درمانهای ارتودنسی حرکت تاج زودتر از حرکت ریشه دیده می‌شود. پس هنگامی که حرکت از نوع سوم برای لینگوالی کردن ریشه‌ها با یک وایر چهارگوش موردنظر باشد، تاج دندانهای قدامی به طرف جلو حرکت می‌کنند ولی اگر یک گشتاور مساوی و مخالف Torque، در ناحیه خلفی قرار داده شود باعث می‌گردد وضعیت CII مولرها باقی بماند و در نتیجه تاج دندانهای قدامی و خلفی، بی حرکت می‌مانند. این حالت در صورتی که وایر در پشت تیوب مولر بسته شده باشد، امکان پذیر است. وقتی با حرکت تاج در یک جهت مقابله می‌شود، گشتاور موجود منجر به حرکت ریشه‌ها در جهت مخالف می‌گردد. بدین ترتیب در طی حرکت لینگوالی ریشه دندانهای قدامی، یک حرکت مزیالی در ریشه دندانهای خلفی ایجاد می‌شود که رابطه CII حفظ می‌گردد. توصیه می‌شود که وایرها را به طور مقطعی در مراحل انتهایی درمان برداشته شوند. (شکل ۲۲-۱۳) تا باعث جا افتادن کاسپیها قبل از برداشتن دستگاه ارتودنسی گردد.

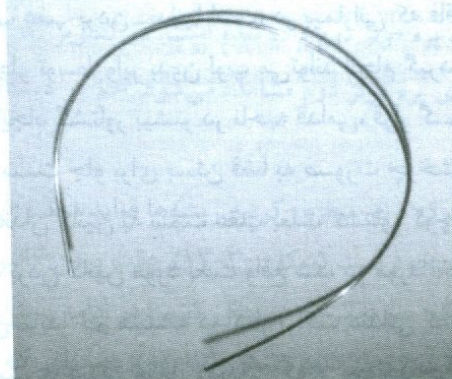
جلو بردن دندانها در حقیقت مخالف عقب بردن دندانها است، در بیمارانی که فاقد پره مولر دوم به طور مادرزادی هستند، حرکت دادن مولرها به طرف جلو توسط وایر بدون لوب می‌تواند انجام گیرد، ولی خم خارج از مرکز، باید در دیستال دندان پره مولر اول به منظور ایجاد گشتاور بیشتر در ناحیه قدامی، قرار گیرد. در این حالت دندانهای مولر دارای گشتاور کوچکتر می‌باشند و به سمت جلو برای بستن فضا به صورت چرخشی انتقالی حرکت می‌کنند. این حالت مشابه حرکت چرخشی انتقالی دندان کائین به سمت عقب بعلت گشتاور کوچکتر نسبت به دندانهای خلفی می‌باشد. تمام مواردی که در طی عقب بردن کائین مورد بحث واقع شد، در مورد اخیر نیز وجود دارد با تفاوت اینکه سیستم نیرو به صورت مخالف عمل می‌نماید. خم همیشه در کنار برآکت دندانی که نیاز به حرکت زیاد ندارد قرار می‌گیرد، بدین ترتیب باعث گشتاور کمتر در دندان مقابل (دندانی که می‌خواهد حرکت کند) می‌گردد. دندان با گشتاور چهار حرکت چرخشی انتقالی می‌شود. سیستم نیروی انتقالی (شکل ۱۳-۱۶ تا ۱۳-۱۶) وقتی که فضا با ریشه‌های موازی بسته می‌شود، باعث از دست دادن تدریجی تکیه‌گاه می‌گردد. در نهایت توجه به تکنیکهای عقب بردن و تکیه‌گاه منجر به درک اصول مکانیک حرکات جلو آوردن دندانها می‌شود.

### خلاصه

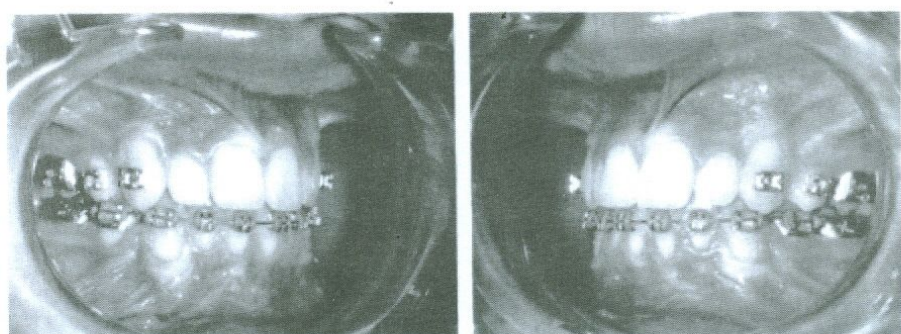
درمانهای موجود با خارج کردن دندانها، بسیار متنوع است. به علت اینکه بستن فضای می‌تواند شامل ۴ پره مولر، یا ۲ پره مولر اول فک بالا، یا یک پره مولر، یا یک انسیزور پایین و غیره باشد، سیستم نیرو در رابطه با زوایای مختلف وایر برآکت، باعث می‌گردد که متخصص ارتودنزی از محل قرار دادن خم در وایر مطلع و آگاه باشد. خم‌هایی که مورد بحث واقع شدند، قادر به ایجاد سیستم نیروهای متفاوتی در خلال بستن فضای می‌باشند، و باعث می‌شود متخصص ارتودنزی بر اساس نیازهای تکیه‌گاه طرح مناسب را، برگزیند. تلاش بیشتر، برای ایجاد یک رابطه زاویه‌ای، به جای رابطه دیگر لازم نیست، اما اگر چنین عملی انجام گیرد، در بسیاری موارد هم برای بیمار و هم برای متخصص ارتودنزی دارای مزیت است. استفاده از هدگیر، و کش‌ها ممکن است به حداقل برسند یا حذف گردد. استفاده از وایرهای بدون لوپ با خم‌های از قبل داده شده باعث می‌گردد که متخصص ارتودنزی، درک بهتری از نیروها و گشتاورهایی که در شروع عقب بردن یا جلو آوردن دندانها و تغییراتی که در اثر حرکت دندانی در حال اتفاق افتادن است، داشته باشد. حرکت دندانها باعث تغییر موقعیت خم روی وایر نمی‌شود. اما موقعیت خم نسبت به فاصله بین برآکتها در اثر حرکت دندانها، تغییر می‌نماید. با این طرز تفکر، می‌توان یک خم را در شروع بستن فضای می‌باشد در وایر تعییه نمود و سیستم نیرو را، همانگونه که دندانها به سمت خم حرکت می‌نمایند، مورد ملاحظه قرار داد. سیستم‌های نیرویی که ایجاد می‌گردند، در کل مراحل بستن فضای می‌توانند به طور مطلوب عمل نمایند.



شکل ۱۳-۲۰ : در این تصویر عقب بردن کائین قبل از رویش پره مولر مشاهده می‌شود.



شکل ۱۳-۲۱ : در این تصویر وایر بدون لوپ که دارای curve of spee و انحنای در ناحیه خلفی برای کنترل چرخش مولر است، مشاهده می‌شود.



شکل ۱۳-۲۲: بعد از اینکه کاسپها در محل خود واقع شدند، واپر فک بالا و برآکتهای دندانهای قدامی برداشته شدند.

## REFERENCES

1. Mulligan TF: Common Sense Mechanics. Phoenix, Az: CSM, 1982.
2. Isaacson RJ, Lindauer SJ, Rubenstein LK: Moments with the edgewise appliance: Incisor torque control. *Am J Orthod Dentofac Orthop* 103(5): 428-438, 1993.
3. Nikolai RJ: Bioengineering Analysis of Orthodontic Mechanics. Philadelphia: Lea & Febiger, 1985, pp. 56-69.
4. Burstone CJ, Koenig HA: Force systems from an ideal arch. *Amer J Orthod* 65:270-289, 1974.
5. Burstone CJ, Goldberg AJ: Beta titanium: A new orthodontic alloy. *Amer J Orthod* 7:2,121-132, 1980.
6. Burstone CJ, Bai Q, Morton JY: Chinese NiTi wire-A new orthodontic alloy. *Amer J Orthod* 87(6):445-453, 1985.
7. Nelson K, Burstone CJ, Goldberg AJ: Optimal welding of beta titanium orthodontic wires. *Amer J Orthod* 92:213-219, 1987.
8. Burstone CJ, Koenig HA: Creative wire bending-The force system from step and V bends. *Amer J Orthod Dentofac Orthop* 93:59-67, 1988.
9. Ronay F, Kleinert Melsen B, Burstone CJ: Force system developed by V bends in an elastic Orthodontic wire. *Amer J Orthod Dentofac Orthop* 96(4):295-301, 1989.
10. Burstone CJ: The rationale of the segmented arch. *Amer J Orthod* 48:(11) 805-812, 1962.
11. Marcotte MR: Preliminary bracket alignment. In Biomechanics in Orthodontics. TorontoL B.C. Decker, 1990, pp. 45-83.
12. Mulligan TF: Common Sense Mechanics (Office course).
13. Isaacson RJ, Lindauer SJ, Rubenstein LK: Activating a 2 × 4 appliance. *Angle Orthod* 63(1):17-24, 1993.